

ECOLE POLYTECHNIQUE de GHIES

PROJET

GC.0612

de

FIN D'ETUDES

Titre : RESERVOIRS en Ferrociment

Auteur : MAXHAN SYLLA

Directeur de Projet : M. Moustapha NDIAYE

Année : 1984 - 1985

Je dédie ce mémoire à :

- ma mère
- mon grand père qui a eu à m'assis-
tister jusqu'aux dernières heures
de sa vie
- ma famille
- NDIAYE . S. CISSOKO
- tous mes amis

REMERCIEMENTS

Je remercie Mr. MOUSTAPHA NDIAYE qui a su à m'encadrer pour ce projet.

Et, je profite de cette occasion, pour adresser les mêmes mots, à tous ceux qui, de près ou de loin, ont contribué à ma formation.

SOMMAIRE

En raison de la nature du projet, il a été avéré nécessaire d'opérer à la connaissance du Ferrrociment, sur lequel le choix du matériau a été posé, avant de procéder à l'étude de la base théorique du comportement des coques minces, qui, pour une meilleure compréhension, a nécessité une révision approfondie des cours d'Algèbre linéaire et d'Analyse vectorielle.

En outre, un apprentissage au FORTRAN 77, a été fait pour les besoins de l'analyse où les expressions furent assez complexes.

C'est, donc, dans cet esprit que l'essentiel du travail a été fait, dans ce rapport dont, le corps est divisé en quatre parties principales, comme indiqué sur la table des matières.

TABLE des MATIERES

Chapitre 1 : le Ferrociment et ses propriétés

1.1 Généralités	p.2
1.2 Propriétés Physiques et mécaniques	
1.2.1 Résistance à la traction	p.4
1.2.2 Résistance à la compression	p.4
1.2.3 Résistance à la flexion	p.5
1.2.4 Résistance à la fissuration	p.5
1.2.5 Fléchissement	p.6
1.2.6 FlUAGE	p.6
1.2.7 Fissabilité	p.6
1.2.8 Résistance au feu	p.7

Chapitre 2 : Analyse

• 2.1 rappel de quelques notions sur la base théorique du comportement des coques minces	
2.1.1 Système d'équations fondamentale	p.9
2.1.1.1 Convention de signes.	p.11
2.1.1.2 Équations fondamentales	p.12
2.1.2 Solution du système d'équations fondamentale	p.16

Table des Matières (suite)

2.1.2.1 . Solution Membrane	p.17
2.1.2.2 . Solution de bordure	p.21
2.2 Analyse du Réservoir en Ferrociment	
- ment	p.25
2.2.1 Principe de la Méthode	
d'analyse	p.25
2.2.2 Analyse du dome supérieur	p.27
2.2.3 Analyse de l'anneau	p.33
2.2.4 Analyse du cylindre	p.40
2.2.5 Analyse de la calotte	
sphérique inférieure	p.44
2.2.6 Analyse du dome inférieur	p.50
2.2.7 Calcul des forces d'interaction	p.55

<u>Chapitre 3</u> : Programme	p.60
(description)	

3.1 Fonctionnement du programme	p.61
3.2 Fonctions des sous routines	

<u>Chapitre 4</u> : Design	p.63
----------------------------	------

4.1 Détermination du Moment de rupture	p.64
4.2 Contraintes à la première fissuration	p.66

Chapitre 5 : Conclusion et recommandations p.67

5.1 Conclusion p. 68

5.2 Discussion et re.
commandations p. 68

Appendice I : Organigramme p. 70

Appendice II : Programme p. 83

DEFINITION des DIFFERENTS

paramètres

Désignation	Notation		Unités
	Exte	Programme	
• Modèle d'élasticité du matériau	E	e	kN/m ²
• Coefficient de Poisson	γ	Pois	
• Poids spécifique du liquide	γ ou γ _L	l	kN/m ³
• Poids spécifique du matériau	γ _m	zs	kN/m ³
• Variation de température	ΔT	t	°C
• Coefficient de dilatation thermique du matériau	α	te	
• Surcharge sur le dome et l'anneau	w _f	w _f	kN/m ²
• Charge sur le dome	w _d	w _d	"
• Charge sur l'anneau	w _a	w _a	"
• Charge sur l'anneau inférieur	w _{a1}	w _{a1}	"
• Charge sur le dome inférieur	w _{d1}	w _{d1}	"
• Charge sur le cylindre	w _c	w _c	"

	φ^1	f_{P0}	Degrés
• angle d'inclinaison minimal : - Anneau - calotte sph. inférieure - boule inférieure	φ^1	f_{P0}	"
	φ''	f_{so}	"
	φ'''	f_{t0}	"
• angle d'inclinaison maximal :			
- boule	φ_1	f_{is}	"
- Anneau	φ'_1	f_{Pi}	"
- calotte inférieure	φ''_1	f_{se}	"
- boule infér			
• rayon : - boule	r_d	r_d	m
- Anneau	r_a	r_a	"
- cylindree	r_c	r_c	"
- Calotte inférieure	r_{ai}	r_{ai}	"
- boule inférieur	r_{di}	r_{di}	"
• Epaisseurs :			
- boule	t_d	t_d	m
- Anneau	t_a	t_a	"
- Calotte inférieure	t_{ai}	t_{ai}	"
- boule inférieur	t_{di}	t_{di}	"
- cylindree	t_c	t_c	"

INTRODUCTION

Face à la crise économique mondiale actuelle qui, se traduit par un renchérissement du prix de certains produits, une baisse de l'aide internationale, une augmentation de la dette extérieure de la plupart des pays sous développés où, ces faits ont pour conséquence logique, la baisse du pouvoir d'achat des populations, des mesures s'imposent dans nos jeunes pays, encore, trop vulnérables. Et parmi celles-ci, devra figurer, l'adoption, dans les programmes de développement, de matériaux nouveaux qui, de par leurs caractéristiques, constitueront, une véritable révolution technique. C'est ainsi que je citerai, en exemple, le ferrament qui, bien qu'ayant les mêmes aspects que le béton conventionnel, diffère de celui-ci par sa légèreté, sa facilité de mise en œuvre, son coût et sa meilleure tenue en tension. Son utilisation est très variée et il convient à certaines formes architecturales complexes. Cependant, sa vulgarisation est freinée par l'application, au niveau de l'analyse, de théories élaborées telles que celle des Coques et Plaques qui, sont une idéalisation mathématiques de certains éléments structuraux, en Génie Civil.

En outre, lorsque ceux-ci sont pris des appuis appuyés, ils sont soumis à des contraintes membranaires, sauf, au voisinage, des variations brusques d'appuis, ou des ouvertures, et, aux zones adja-

centes aux courbures.

Ce qui explique, en partie, le choix porté à la nature du réservoir, dont l'étude se présente dans les pages suivantes.

CHAPITRE 1

le Ferrociment et ses Propriétés

1.1 Généralités

Le ferrociment est constitué de mortier et de plusieurs couches d'armature comprenant des barres de petits diamètres et des treillis métalliques, à mailles ou espacements réduits.

Il diffère du béton armé conventionnel et du béton précontraint par l'arrangement de ses éléments de renforcement qui, contribuent à la formation d'un matériau composite affichant une meilleure tenue, du point de vue de la résistance, de la déformation, voire, une plus grande compétitivité dans les applications potentielles.

La mise en œuvre du Ferrociment comprend quatre phases correspondant à :

- La mise en place de l'ossature
- L'application des fils et des treillis métalliques à l'ossature
- La mise en place du mortier ou du plâtre
- La cure.

Alors que la seconde étape est caractérisée par l'emploi d'une main d'œuvre intense, les première et troisième, ne requièrent pas de main d'œuvre qualifiée, ce qui est un avantage considérable pour les pays sous développés où, l'utilisation de ce matériau doit être encouragée pour les raisons que voici :

- Disponibilité des matériaux et existence des techniques courantes dans la plupart des pays
- Absence d'équipement et d'outillage lourd dans la construction

- Réparations pouvant être faites par les populations locales, sauf dans certains cas où, le besoin d'un personnel qualifié peut se faire sentir (construction Navale par exemple)

- Possibilité de la façonner dans différentes formes
- Plus grande durabilité que pour le bois.

- Coût moins cher, comparativement à l'acier importé

- Applications dans la confection de, réservoirs, silos, échoués à grains, dépôts pour l'entreposage de denrées alimentaires. Il trouve aussi son intérêt dans le bâtiment et la construction, pour ne citer que ceux-là.

Quant au mortier utilisé dans le ferrociment, il comporte du ciment Portland, auquel est souvent ajouté du Pouzzolane et, du sable passant tamis n° 8. Toute fois, dépendant des caractéristiques des éléments de renforcement (mailles du treillis métallique, répartition, etc...), un gravier fin doit être utilisé. Comme pour tous les ciments hydrauliques, les propriétés physiques et la microstructure du mortier résultent, dépendant de la composition chimique du ciment, de la nature du sable, du rapport eau-ciment et des conditions de cure du produit fini. Ainsi:

- le rapport sable-ciment sera compris entre 1,5 et 2,5

- le rapport Eau-ciment variera de 0,35 à 0,5

- Pour le sable, le passant tamis n° 16, a donné des résultats satisfaisants. Cependant le premier doit être caractérisé par une courbe granulométrique régulière où le pourcentage passant est 100 pour le tamis # 8 et 10 pour le # 100.

1.2 Propriétés Physiques et Mécaniques.

La plupart des caractéristiques propres au ferrociment, émanent de l'existence d'un renforcement bidirectionnel, constitué de fils de diamètre relativement réduit, offrant une plus grande surface de contact et une meilleure adhérence que dans le cas du béton conventionnel.

Ainsi, la surface et le volume spécifiques, sont quelques uns des paramètres, définissant la subdivision et la distribution des éléments de renforcement, dont la connaissance est fondamentale pour une meilleure compréhension des propriétés du ferrociment présentées dans les parties ci-après :

1.2.1 Résistance à la traction

En raison de la faible résistance, du matériau, en traction, celle du ferrociment est principalement gouvernée par les caractéristiques de l'armature, sa nature et son orientation par rapport à la direction d'application de la charge.

Dans le cas de la tension directe, elle est toutefois proportionnelle au degré de subdivision du renforcement et plus précisément à la surface spécifique.

Ainsi, pour une orientation normale, la résistance à la traction est essentiellement égale à celle de l'armature (type étiré, soudé ou tressé), alors que, dans le cas du grillage à mailles hexagonales, la plus grande résistance est obtenue, lorsque la direction d'application de la force est parallèle à celle des fils tressés.

1.2.2 Résistance en Compression

À la différence de la tension, la matrice contribue direct-

tement à la résistance en compression, laquelle est aussi influencée, par l'orientation et le mode d'arrangement du treillis métallique.

1.2.3 Résistance en Flexion

Elle reflète l'influence combinée des facteurs gouvernant aussi bien la tension que la compression : taux, type, orientation et géométrie intrinsèque du treillis.

les résultats obtenus, par les différents travaux menés dans ce sens, ont été très concluants et, les meilleures performances ont été obtenues avec l'utilisation de l'acier étiré et du treillis soudé.

1.2.4 Résistance à la fissuration

En tension comme en flexion, la résistance à la fissuration est fonction, du degré de subdivision du renforcement, c'est à dire, de la surface spécifique de la composante longitudinale de celui-ci.

Si le renforcement est constitué de treillis métalliques, l'espace moyen entre fissures est inversement proportionnel à la surface spécifique, bien que, d'autres facteurs tels que la géométrie, soient aussi influents.

Quant à la largeur des fissures, dont, la propagation peut être limitée par l'utilisation d'un treillis à mailles réduites, elle est plus accentuée dans le cas du béton conventionnel.

Notons que, pour des fils de même diamètre, l'utilisation du treillis soudé, entraîne des fissures moindres que dans le cas du treillis tréssé.

1.2.5 Retrait

Le retrait, dans la matrice de mortier, dépend essentiellement de sa teneur en eau, qui, au retour, est gouvernée par, la maniabilité pour la mise en place, la grosseur des grains de sable, la présence d'éléments additifs tels que le poudingue, les agents entraîneurs d'air ou réducteurs d'eau.

Un autre facteur de ce phénomène, est la résistance offerte par le renforcement qui, est fonction de la fraction volumétrique dans la direction considérée, la surface spécifique, du type de treillis, et des dimensions des mailles.

Toutefois, le choix de certaines techniques de mise en place, telles que le pompage, le quinçage et l'emploi d'une quantité minimale d'eau ou l'utilisation d'un sable grossier, seront le reflet d'un effort conscient pour limiter le retrait.

1.2.6 Le Fluage

Comme pour le retrait, le fluage dans le ferrament, est supposé être fonction de celui de la matrice et de la résistance offerte par le renforcement. Cependant, son effet peut être réduit avec un bas rapport volumétrique de la pâte sur l'aggregat et un taux de compression appliquée sur la résistance.

De plus, il peut être influencé, à long terme, par la fraction volumétrique du renforcement dans la direction de chargement.

1.2.7 Durabilité

Les mesures requises, pour assurer une meilleure durabilité du béton armé conventionnel, sont aussi applicables au ferrament.

Cependant, la faible enveloppe protectrice attribuée aux éléments de renforcement, la petitesse de leurs

sections et l'utilisation d'un endrage de zinc, sont des facteurs facilitant la corrosion.

Mais, les effets nuisibles peuvent être contrebalancés en :

- fixant le rapport eau/ciment à 0.5, pour une bonne étanchéisation. Celui-ci peut être réduit, dans le cas de l'eau salée, à 0.45 pour une meilleure résistance aux sulfates.
- utilisant de l'air entraîné, dans une proportion de 3/100 du volume du mortier, pour pallier à l'action du gel et du dégel.
- ajoutant 100 ppm de trioxide de chrome au mélange d'eau, pour empêcher la formation de zincate de calcium et d'Hydrogène - qui engendrera la réaction alcalis-zinc. Avec une telle mesure, les risques de corrosion galvanique (réaction perdue, lorsque le treillis métallique galvanisé et l'acier ordinaire, sont en contact avec les solutions électrolytiques présentes dans le mortier) peuvent être écartés aussi.

1.2.8 Résistance au feu.

En raison de la faible épaisseur des formes structurales et de l'enveloppe des éléments de renforcement, le ferrociment a une résistance au feu, très peu appréciable.

CHAPITRE 2

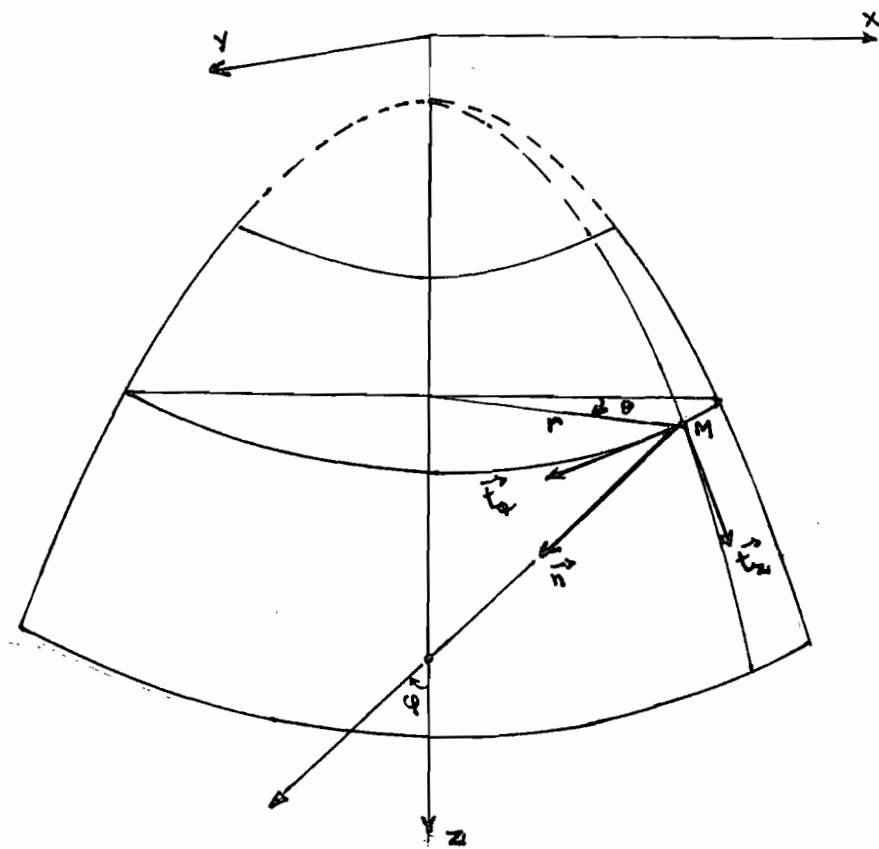
Analyse

2.1 Rappel de quelques notions sur la base théorique du comportement des coques minces

2.1.1 Système d'équations fondamental

Compte tenu de la configuration d'une coque de révolution, il est possible d'adopter comme lignes de coordonnées, les méridiens et les parallèles.

En rapportant alors la surface moyenne à un trièdre orthogonal direct tel que l'axe des z coïncide avec celui de la coque, la position d'un point sera définie par la côte z de son parallèle et l'angle θ du plan de son méridien avec le plan zz.



\vec{t}_z , \vec{t}_θ , \vec{n} étant les vecteurs unitaires du trièdre fondamental et M correspondant au point de rencontre des deux familles de courbes on a :

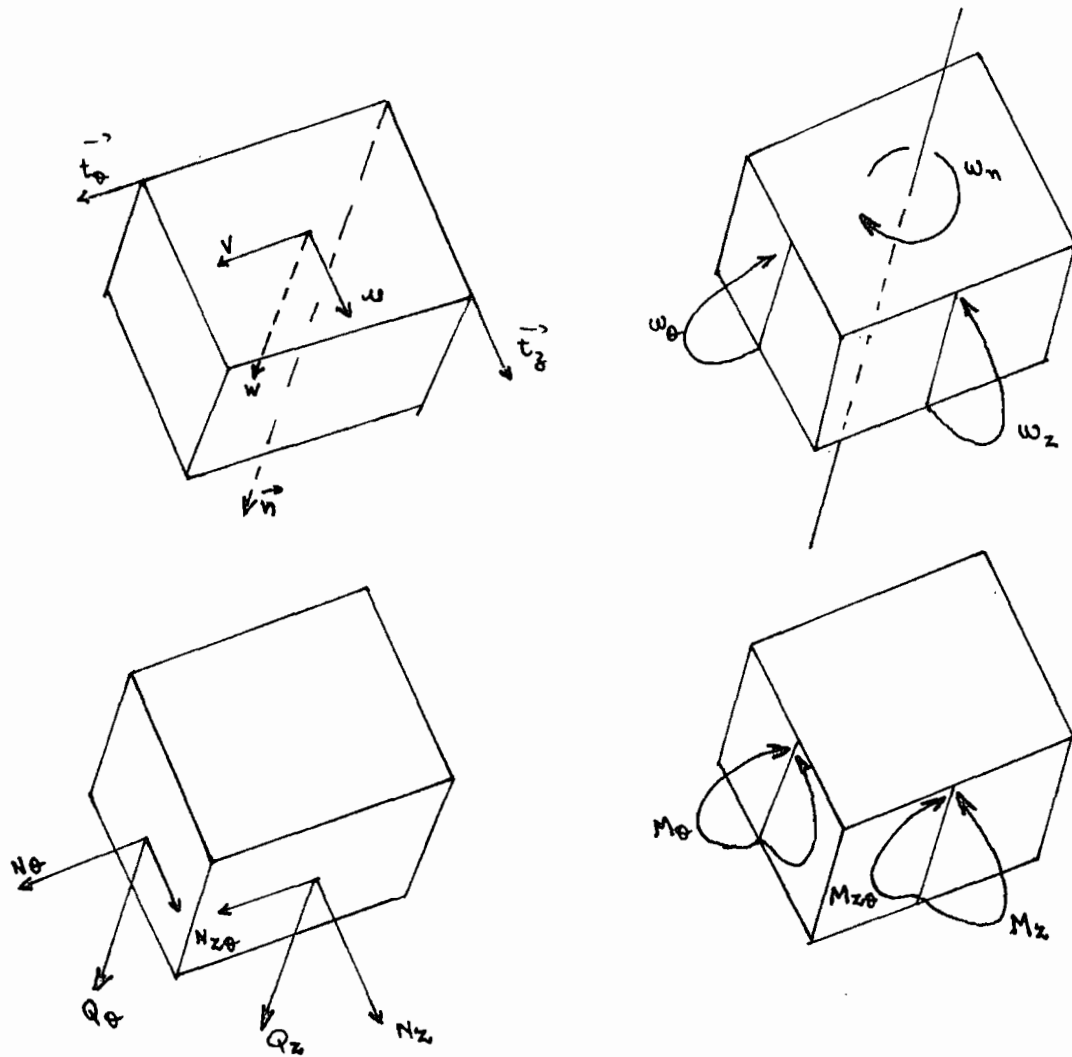
$$\begin{array}{c|c} \vec{t}_z & \begin{array}{l} r_z \cos \theta \sin \varphi \\ r_z \sin \theta \sin \varphi \\ \sin \varphi \end{array} \\ \hline \vec{t}_\theta & \begin{array}{l} -\sin \theta \\ \cos \theta \\ 0 \end{array} \\ \hline \vec{t}_n & \begin{array}{l} -\sin \varphi \cos \theta \\ -\sin \varphi \sin \theta \\ \cos \varphi \end{array} \\ \hline M & \begin{array}{l} x = r(z) \cos \theta \\ y = r(z) \sin \theta \\ z = z \end{array} \end{array}$$

Si nous convenons d'appeler par r_1 et r_2 , les rayons de courbure des sections normales \vec{t}_z et \vec{t}_θ , mesurés positivement dans la direction de \vec{n} , nous aurons pour les courbures :

$$K_z = r_{zz} \sin^2 \varphi = -\frac{1}{r_1}$$

$$K_\theta = -\frac{\sin \varphi}{r} = -\frac{1}{r_2}$$

2.1.1.2. Convention de signes.



avec :

- u, v, w : Déplacements dans les directions \vec{t}_3 .

\vec{t}_0, \vec{n}

- w_0, w_3, w_n : rotations de \vec{n} dans les plans (\vec{n}, \vec{t}_0) ,
 (\vec{n}, \vec{t}_3) et autour de \vec{n}

2.1.1.8 Équations fondamentales

Équations d'équilibre.

$$\begin{cases} (r N_z)_{,z} + \frac{1}{\sin \varphi} N_{z\theta,\theta} - \cot \varphi N_\theta - \frac{r_2}{r_1} Q_z + r_2 q_z = 0 \\ r N_{z\theta,z} + \frac{1}{\sin \varphi} N_{\theta,\theta} + 2 \cot \varphi N_{z\theta} - Q_\theta + r_2 q_\theta = 0 \\ (r Q_z)_{,z} + \frac{1}{\sin \varphi} Q_{\theta,\theta} + \frac{r_2}{r_1} N_z + N_\theta + r_2 q_n = 0 \end{cases} \quad (S1)$$

$$\begin{cases} (r M_z)_{,z} + \frac{1}{\sin \varphi} M_{z\theta,\theta} - \cot \varphi M_\theta - r_2 Q_z = 0 \\ r M_{z\theta,z} + \frac{1}{\sin \varphi} M_{\theta,\theta} + 2 \cot \varphi M_{z\theta} - r_2 Q_\theta = 0 \end{cases} \quad (S2)$$

Équations constitutives

$$\begin{cases} N_z = c_m (\varepsilon_z + \gamma \varepsilon_\theta) \\ N_\theta = c_m (\varepsilon_\theta + \gamma \varepsilon_z) \\ N_{z\theta} = c_m (\lambda - \gamma) \varepsilon_{z\theta} \end{cases} \quad (S3)$$

$$\begin{cases} M_z = c_f (K_z + \gamma K_\theta) \\ M_\theta = c_f (K_\theta + \gamma K_z) \\ M_{z\theta} = c_f (\lambda - \gamma) K_{z\theta} \end{cases} \quad (S4)$$

avec

$$c_m = \frac{E h}{1 - \gamma^2}$$

$$c_f = \frac{E h^3}{12(1 - \gamma^2)}$$

Relations cinématiques.

$$\left| \begin{array}{l} E_z = \sin \varphi u_{,z} - \frac{u}{r_1} \\ E_\theta = \frac{1}{r} (v_{,\theta} + \cos \varphi u - \sin \varphi w) \\ 2E_{z\theta} = \sin \varphi v_{,z} + \frac{1}{r} (u_{,\theta} - \cos \varphi v) \end{array} \right. \quad (55)$$

$$\left| \begin{array}{l} k_z = \sin \varphi w_{z,z} \\ k_\theta = \frac{1}{r} (w_{\theta,\theta} + \cos \varphi w_z) \\ 2k_{z\theta} = \sin \varphi w_{\theta,z} + \frac{1}{r} (w_{z,\theta} - \cos \varphi w_\theta) + \left(\frac{1}{r_1} - \frac{1}{r_2} \right) w_n \end{array} \right. \quad (56)$$

avec

$$\left| \begin{array}{l} w_z = - \sin \varphi w_{,z} - \frac{u}{r_1} \\ w_\theta = - \frac{1}{r} (u_{,\theta} + \sin \varphi v) \\ w_n = \frac{1}{2} [\sin \varphi v_{,z} - \frac{1}{r} (u_{,\theta} - \cos \varphi v)] \end{array} \right.$$

N.B.: - si \vec{P} est la force extérieure appliquée par unité d'aire de la surface moyenne,

$$\left| \begin{array}{l} q_z = \vec{E}_z \cdot \vec{P} \\ q_\theta = \vec{t}_\theta \cdot \vec{P} \\ q_n = \vec{n} \cdot \vec{P} \end{array} \right.$$

- $k_z, k_\theta, k_{z\theta}$ sont les variations de courbure de la surface moyenne

- $E_z, E_\theta, E_{z\theta}$ sont les extensions et la distorsion de la surface moyenne.

- Dans les expressions de c_m et c_f ,
- E est le module d'élasticité
- ν est le coefficient de poisson
- h est l'épaisseur de la coque.

Compte tenu de l'importance que revêtent w_z et δ_r (déplacement dans la direction du rayon du parallèle), il serait intéressant d'ajouter aux équations cinématiques fondamentales précédentes, l'expression de δ_r :

$$\left| \begin{array}{l} \delta_r = -\cos \varphi u + \sin \varphi w \end{array} \right.$$

Par substitution dans (ss-b) nous obtenons :

$$\left| \begin{array}{l} \delta_r = -r E_\theta + \nu, \varphi \end{array} \right.$$

Cependant, en tenant compte de l'effet de la température, les équations constitutives deviennent:

$$\left| \begin{array}{l} N_z = C_m [\epsilon_z + \gamma \epsilon_0 - (\lambda + \gamma) \beta_T] \\ N_\theta = C_m [\epsilon_0 + \gamma \epsilon_z - (\lambda + \gamma) \beta_T] \\ N_{z\theta} = C_m [(\lambda - \gamma) \epsilon_{z\theta}] \end{array} \right. \quad (S3)'$$

$$\left| \begin{array}{l} M_z = C_f [(K_z + \gamma K_\theta) - (\lambda + \gamma) M_T] \\ M_\theta = C_f [(K_\theta + \gamma K_z) - (\lambda + \gamma) M_T] \\ M_{z\theta} = C_f [(\lambda - \gamma) K_{z\theta}] \end{array} \right. \quad (S4)'$$

C_m : coefficient de rigidité à l'extension

C_f : coefficient de rigidité à la flexion

$$\left| \begin{array}{l} \beta_T = \frac{1}{h} \int_{-h/2}^{h/2} \alpha \Delta T \, dt \\ M_T = \frac{12}{h^3} \int_{-h/2}^{h/2} \alpha \Delta t \, dt \end{array} \right.$$

α : coefficient de dilatation thermique

ΔT : variation de température.

2.1.2 Solution du système d'Équations fondamental

Les systèmes (S_1) , (S_2) , $(S_3)'$, $(S_4)'$, (S_5) , (S_6) constituent un système de dix sept équations différentielles et linéaires à dix sept inconnues.

La solution générale de ce système sera alors la somme d'une solution particulière du système non homogène et de la solution générale du système homogène. Et, il se trouve que la solution particulière correspond à un état de contrainte engendré dans la coque par un chargement appliquée en surface, c'est la solution membrane.

Quant à la solution du système homogène, elle représente un état de contrainte engendré dans la coque par une action de bordure, d'où le nom de "solution de bordure".

2.1.2.4 Solution membrane

$$\begin{aligned} (r N_z)_{,z} + \frac{1}{\sin \varphi} N_{z\theta,\theta} - \cot \varphi N_\theta + r_2 q_z &= 0 \\ r N_{z\theta,z} + \frac{1}{\sin \varphi} N_{\theta,\theta} + 2 \cot \varphi N_{z\theta} + r_2 q_\theta &= 0 \\ \frac{r_2}{r_1} N_z + N_\theta + r_2 q_n &\approx 0 \end{aligned} \quad (57)$$

$$\begin{aligned} N_z &= C_m [\varepsilon_z + \gamma \varepsilon_\theta - (1+\gamma) \beta_T] \\ N_\theta &= C_m [\varepsilon_\theta + \gamma \varepsilon_z - (1+\gamma) \beta_T] \\ N_{z\theta} &= C_m [(1-\gamma) \varepsilon_{z\theta}] \end{aligned} \quad (58)$$

$$\begin{aligned} \varepsilon_z &= \sin \varphi u_{,z} - \frac{w}{r_1} \\ \varepsilon_\theta &= \frac{1}{r} (v_{,\theta} + \cos \varphi u - \sin \varphi w) \\ 2 \varepsilon_{z\theta} &= \sin \varphi v_{,z} + \frac{1}{r} (u_{,\theta} - \cos \varphi v) \end{aligned} \quad (59)$$

Remarque: Les équations ci-dessus ont été obtenues en négligeant les moments de flexion et de torsion $M_z, M_\theta, M_{z\theta}$ et les efforts tranchants transversaux Q_z, Q_θ dans le système d'équations fondamental.

$$r_0 \sin \varphi = - \int_{z_0}^z r_2 (\sin \varphi q_z + \cos \varphi q_\theta) dz + r_0 \sin \varphi_0 N_{z_0}$$

ce qui conduit à :

$$\left| \begin{array}{l} N_z = - \frac{V}{2\pi r \sin \varphi} + \frac{r_0 \sin \varphi_0}{r \sin \varphi} N_{z_0} \\ N_\theta = - r_2 \left(q_\theta + \frac{N_z}{r_2} \right) \end{array} \right. \quad (S.11)$$

système dans lequel,

- r_0, φ_0, N_{z_0} sont les valeurs de r, φ, N_z à $z=z_0$
- V est la résultante des forces parallèles à l'axe z et,
dont l'expression est :

$$V = 2\pi \int_{z_0}^z r_2 (\sin \varphi q_z + \cos \varphi q_\theta) dz$$

b) Déplacements en fonction des contraintes

D'après S(8) nous avons :

$$\left| \begin{array}{l} \frac{N_z}{C_m} + (1+\gamma) f_T = \varepsilon_z + \gamma \varepsilon_\theta \\ \frac{N_\theta}{C_m} + (1+\gamma) f_T = \gamma \varepsilon_z + \varepsilon_\theta \end{array} \right.$$

Ce qui entraîne :

$$\left| \begin{array}{l} \varepsilon_z = \frac{1}{Eh} [N_z - \gamma N_\theta] + f_T \\ \varepsilon_\theta = \frac{1}{Eh} [N_\theta - \gamma N_z] + f_T \end{array} \right.$$

avec les mêmes considérations que dans la section ④

$$\delta_r = -r \epsilon_\theta$$

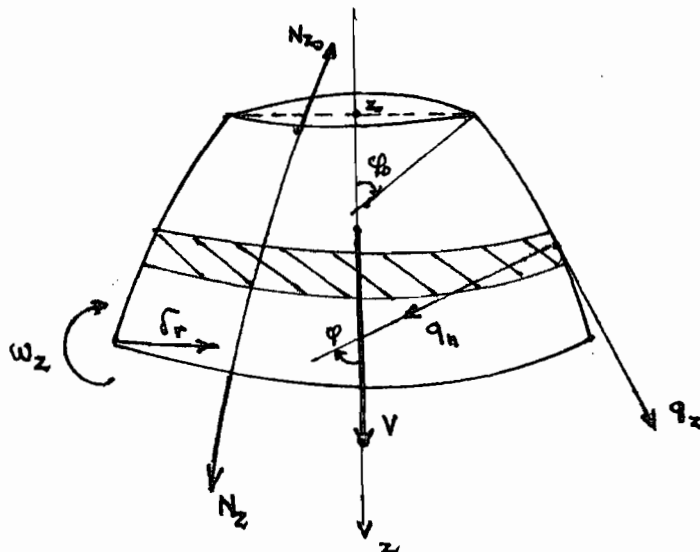
$$\text{D'autre part, } w_z = r \epsilon_{\theta,z} + \cot \varphi (\epsilon_\theta - \epsilon_z)$$

d'où :

$$(S.13) \quad \left| \begin{array}{l} \delta_r = -r \left[\frac{1}{Eh} (N_\theta - \gamma N_z) + g_T \right] \\ w_z = \frac{1}{Eh} \left[r (N_\theta - \gamma N_z)_{,z} + \cot \varphi (1 + \gamma) (N_\theta - N_z) \right] \end{array} \right.$$

Pour les besoins du présent projet, considérons alors le cas d'un chargement symétrique autour de l'axe.

a) Determination des Contraintes



de chargement

Compte tenu de la symétrie par rapport à z , toutes les dérivées par rapport à θ sont nulles.

Finis :

$$(S7) \Rightarrow \begin{cases} (rN_z)_{,z} - \text{est } q N_\theta + r_2 q_z = 0 \\ \frac{r_2}{r_1} N_z + N_\theta + r_2 q_n = 0 \end{cases} \quad (S10)$$

D'après (S.10.b) $N_\theta = -r_2 \left(q_n + \frac{N_z}{r_1} \right)$

Après substitution dans (S.10.a), on peut avoir l'expression de N_z à l'aide l'intégrale

suivante :

2.1.2.2 Solution de bordure

Il est un fait d'expérience que l'influence d'une action, force ou déplacement, imposée à une coque le long d'une bordure non asymptotique (c'est à dire de courbure non nulle), s'amortit très rapidement quand on s'éloigne de la bordure. Mathématiquement, la solution correspondant à un tel effet de bordure se caractérise par une variation très rapide. D'où l'intérêt de chercher une solution de forme exponentielle.

Pour ce faire, on obtient, par éliminations successives dans le système fondamental, l'équation suivante en w :

$$(E_1) \quad \left| w_{zzz\bar{z}\bar{z}} + \frac{12(1-\gamma^2)}{\sin^4 \varphi} \left(\frac{R}{r_2}\right)^2 \left(\frac{R}{h}\right)^2 w_{z\bar{z}} = 0 \right.$$

$$\text{En posant } \lambda = \left[\frac{3(1-\gamma^2)}{\sin^4 \varphi} \left(\frac{R}{r_2}\right)^2 \left(\frac{R}{h}\right)^2 \right]^{1/4}$$

Par substitution et intégration on obtient :

$$(E_2): w_{zzz\bar{z}\bar{z}} + 4\lambda^4 w = f(\theta)$$

dont une solution particulière évidente est :

$$w_p = \frac{1}{4\lambda^4} f(\theta) ,$$

or w_p doit s'amortir quand on s'éloigne de

la bordure, d'où la nécessité de prendre $f(\theta) = 0$
 l'équation différentielle fondamentale de l'effet
 de bordure se réduit donc à :

$$w_{zzzz} + 4\lambda^4 w = 0$$

Pour des raisons de commodité pour le calcul sté-
 tural, introduisons la variable z en posant :

$$\begin{cases} \phi = e^{\mu(z-z_0)} \cos(\mu(z-z_0)) \\ \psi = e^{\mu(z-z_0)} \sin(\mu(z-z_0)) \end{cases}$$

avec $\mu = \lambda/R = \left[\frac{3(1-\gamma^2)}{\sin^4 \varphi (r_{ch})^3} \right]^{1/4}$

Dès lors, les différentes expressions (déplacements,
 contraintes) pourront se résumer sous l'expression
 suivante :

$$F = c [a(\theta) \phi(z) + b(\theta) \psi(z)]$$

Et, pour les besoins du projet, contentons nous de
 mentionner les expressions ci-après :

$$N_z = -2 C_f \mu^3 \sin^2 \varphi \cos \varphi [(\alpha - \beta) \phi(z) + (\alpha + \beta) \psi(z)]$$

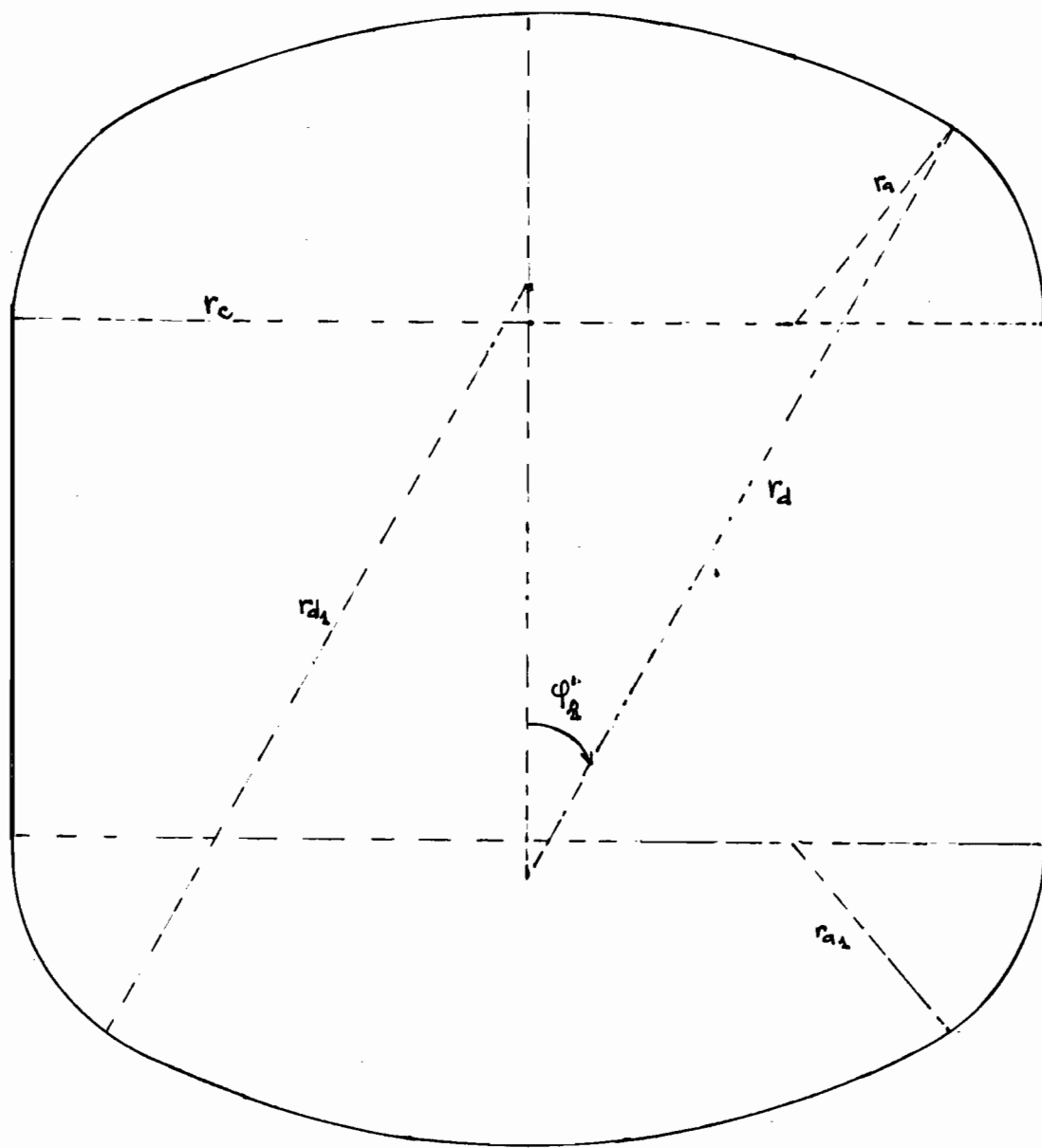
$$N_\theta = -\frac{E h}{r_e} [\alpha \phi(z) + \beta \psi(z)]$$

$$M_z = -2 C_f \mu^2 \sin^2 \varphi [\beta \phi(z) - \alpha \psi(z)]$$

$$Q_z = 2 C_f \mu^3 \sin^3 \varphi [(\alpha - \beta) \phi(z) + (\alpha + \beta) \psi(z)]$$

$$\delta_r = \sin \varphi [\alpha \phi(z) + \beta \psi(z)]$$

$$\omega_z = -\mu \sin \varphi [(\alpha + \beta) \phi(z) - (\alpha - \beta) \psi(z)]$$



$$r_d = r_{d_1} = 7,738 \text{ m}$$

$$\varphi_1 = 30^\circ$$

$$r_a = r_{a_1} = 8,90 \text{ m}$$

$$\varphi'_0 = 75^\circ$$

$$r_c = 4 \text{ m}$$

$$\varphi''_0 = 90^\circ$$

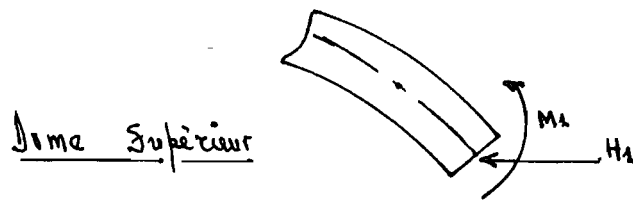
$$\varphi'''_0 = 150^\circ$$

2.2 analyse du réservoir en Ferrçiment

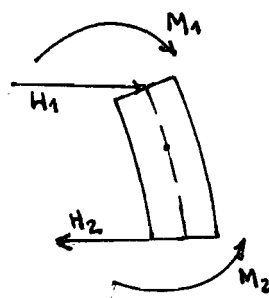
2.2.1 Principe de la Méthode d'analyse

La méthode d'analyse que nous nous proposons d'adopter, consistera à :

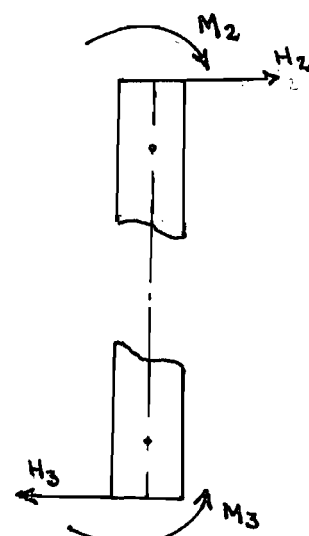
- 1° - Supprimer un nombre suffisant de liaisons entre les éléments distincts de la structure.
- 2° - Extérioriser les forces d'interaction internes, de part et d'autre de chaque coupe (cf fig. ci-après)
- 3° - Analyser chaque élément sous l'effet des forces d'interaction et des forces extérieures de volume et de surface qui, lui sont directement appliquées.
- 4° - Calculer les forces d'interaction, à partir des conditions de compatibilité des déplacements.
- 5° - Calculer les contraintes et les déplacements de la structure globale.



Anneau



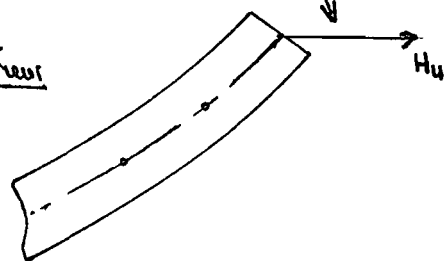
cylindre



Calotte sphérique inférieure



Jume Inférieur



2.2.2 analyse du dôme sphérique

Supérieur

Dans tout ce qui suivra, l'indice '1' désignera un paramètre quelconque se rapportant au dôme.

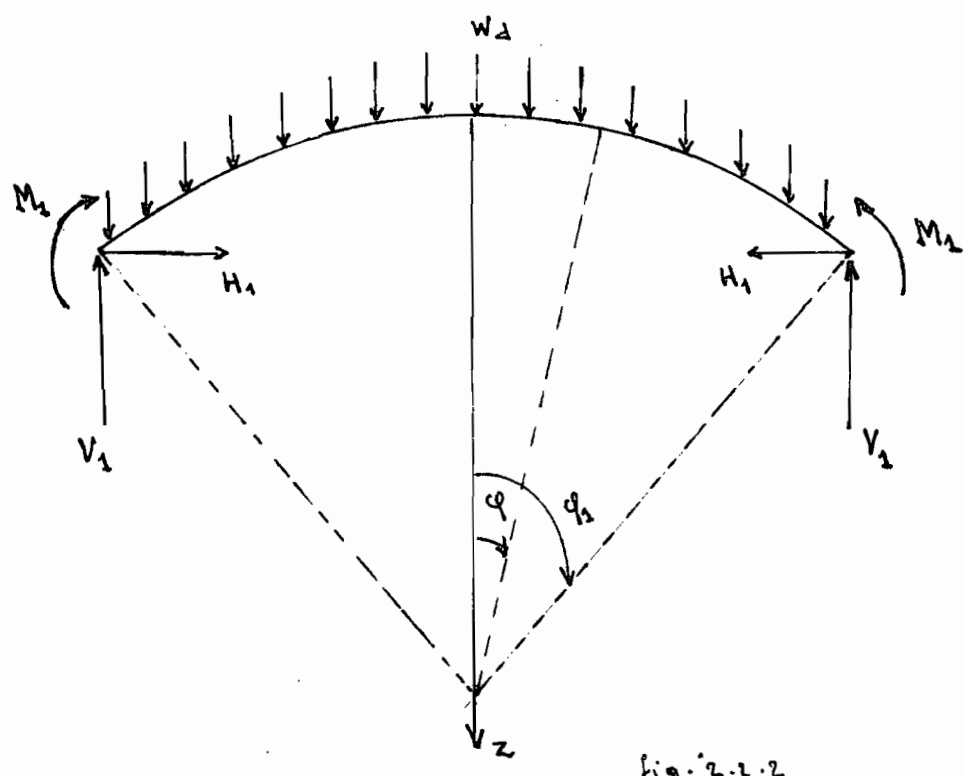


fig. 2.2.2

Avec le chargement ci-dessus,

- w_d est une charge uniformément répartie
- H_1, M_1 sont des forces d'interaction
- V_1 est une réaction d'appui.

Quant aux conditions de bordure, elles peuvent être suivantes :

1° - En raison de la symétrie de révolution le déplacement circénferentiel est nul soit :

$$V_d = 0$$

2° - la bordure devant subir un déplacement vertical égal au raccourcissement axial du cylindre qui devient un déplacement d'ensemble , n'affectant donc ni les déformations , ni les contraintes .

$$\text{Déplacement vertical} = U^d \sin \varphi_1 + W^d \cos \varphi_1 = 0$$

3° - l'application de H_A implique :

$$H_A = -N_{z_1}^d \cos \varphi_1 + Q_{z_1}^d \sin \varphi_1 = H_A$$

4° - l'application de M_A implique :

$$M_{z_1}^d = M_A$$

L'état de contrainte qui satisfait ces conditions , se détermine à partir de la solution générale du système d'équations différentielles d'une coque sphérique , celle-ci p'obtenant par addition de la solution membrane et de la solution de bordure établies dans les pages précédentes .

Ainsi . La solution générale contiendra donc trois constantes : c pour la solution membrane , α et β

pour la solution bordure. Mais, compte tenu de la configuration des différentes équations, seuls α et β ont un intérêt particulier et sont déterminés à partir des deux dernières conditions de bordure.

ainsi, la solution générale sera :

$$N_z^d = \left(-\frac{1}{1 + \cos \varphi} \right) r_d w_d - 2 c_{f_d} \mu_d^3 \sin^2 \varphi_1 \cos \varphi_1 [(\alpha_1 - \beta_1) \phi_1 + (\alpha_1 + \beta_1) \psi_1]$$

$$N_\theta^d = \left(-\cos \varphi + \frac{1}{1 + \cos \varphi} \right) r_d w_d - \frac{E t_d}{r_d} (\alpha_1 \phi_1 + \beta_1 \psi_1)$$

$$M_z^d = -2 c_{f_d} \mu_d^2 \sin^2 \varphi_1 (\beta_1 \phi_1 - \alpha_1 \psi_1)$$

$$Q_z^d = 2 c_{f_d} \mu_d^3 \sin^3 \varphi_1 [(\alpha_1 - \beta_1) \phi_1 + (\alpha_1 + \beta_1) \psi_1]$$

$$\delta_r^d = -r_d \sin \varphi \left\{ \frac{1}{E t_d} \left[-\cos \varphi + \frac{(1+\gamma)}{1 + \cos \varphi} \right] r_d w_d + p_T \right\} \\ + \sin \varphi_1 (\alpha_1 \phi_1 + \beta_1 \psi_1)$$

$$w_z^d = \frac{1}{E t_d} \left[(\varepsilon + \gamma) \sin \varphi r_d w_d \right] - \mu_d \sin \varphi_1 [(\alpha_1 + \beta_1) \phi_1 - (\alpha_1 - \beta_1) \psi_1]$$

avec

$$\begin{cases} c_{f_d} = \frac{E t_d^3}{12 (1 - \gamma^2)} \\ \mu_d = \left[\frac{3 (1 - \gamma^2)}{\sin^4 \varphi_1 (r_d t_d)^3} \right]^{1/4} \end{cases}$$

$$\begin{cases} \phi_1 = e^{\mu_d(z-z_1)} \cos [\psi_d(z-z_1)] \\ \psi_1 = e^{\mu_d(z-z_1)} \sin [\psi_d(z-z_1)] \end{cases}$$

$$\begin{cases} \alpha_1 = \frac{1}{2 c_{fd} \mu_d^3 \sin^2 \varphi_1} (H_1 - \mu_d M_1 - \frac{\cos \varphi_1}{1 + \cos \varphi_1} r_d w_d) \\ \beta_1 = - \frac{M_1}{2 c_{fd} \mu_d^2 \sin^2 \varphi_1} \end{cases}$$

L'état de contrainte correspondant aux conditions de la fig. 2.2.2 s'exprime par :

$$\begin{aligned} N_z^d &= N_{z_0}^d + N_{z_1}^d H_1 + N_{z_2}^d M_1 \\ N_\theta^d &= N_{\theta_0}^d + N_{\theta_1}^d H_1 + N_{\theta_2}^d M_1 \\ M_z^d &= M_{z_0}^d + M_{z_1}^d H_1 + M_{z_2}^d M_1 \\ Q_z^d &= Q_{z_0}^d + Q_{z_1}^d H_1 + Q_{z_2}^d M_1 \\ \delta_r^d &= \delta_{r_0}^d + \delta_{r_1}^d H_1 + \delta_{r_2}^d M_1 \\ w_z^d &= w_{z_0}^d + w_{z_1}^d H_1 + w_{z_2}^d M_1 \end{aligned}$$

Or :

$$N_{z_0}^d = \left[- \frac{1}{1 + \cos \varphi} + \frac{\cos^2 \varphi_1}{1 + \cos \varphi_1} (\phi_1 + \psi_1) \right] r_d w_d$$

$$N_{z_1}^d = - \cos \varphi_1 (\phi_1 + \psi_1)$$

$$N_{z_2}^d = 2 \mu_d \cos \varphi_1 \psi_1$$

$$N_{\theta_0}^d = \left[-\cos\varphi + \frac{1}{1+\cos\varphi} + 2\mu_d r_d \sin^2\varphi_1 - \frac{\cos\varphi_1}{1+\cos\varphi_1} \phi_1 \right] r_d w_d$$

$$N_{\theta_1}^d = -2\mu_d r_d \sin^2\varphi_1 \phi_1$$

$$N_{\theta_2}^d = 2\mu_d^2 r_d \sin^2\varphi_1 (\phi_1 + \psi_1)$$

$$M_{z_0}^d = \left(-\frac{1}{\mu_d} \times \frac{\cos\varphi_1}{1+\cos\varphi_1} \psi_1 \right) r_d w_d$$

$$M_{z_1}^d = \frac{1}{\mu_d} \psi_1$$

$$M_{z_2}^d = \phi_1 - \psi_1$$

$$Q_{z_0}^d = \left[-\sin\varphi_1 \times \frac{\cos\varphi_1}{1+\cos\varphi_1} (\phi_1 + \psi_1) \right] r_d w_d$$

$$Q_{z_1}^d = \sin\varphi_1 (\phi_1 + \psi_1)$$

$$Q_{z_2}^d = -2 \times \mu_d \sin\varphi_1 \psi_1$$

$$\delta r_0^d = \left\{ \frac{1}{E t_d} \left[\cos\varphi - \frac{(1+\gamma)}{1+\cos\varphi} \right] \sin\varphi - 2 \frac{\mu_d r_d}{E t_d} \times \right.$$

$$\left. \frac{\cos\varphi_1 \sin^2\varphi_1}{1+\cos\varphi_1} \phi_1 \right\} r_d^2 w_d + r_d \sin\varphi \}_{T}$$

$$\delta r_1^d = \frac{2 \mu_d r_d^2 \sin^3\varphi_1}{E t_d} \phi_1$$

$$\delta r_2^d = - \frac{2 \mu_d^2 r_d^2 \sin^3\varphi_1}{E t_d} (\phi_1 + \psi_1)$$

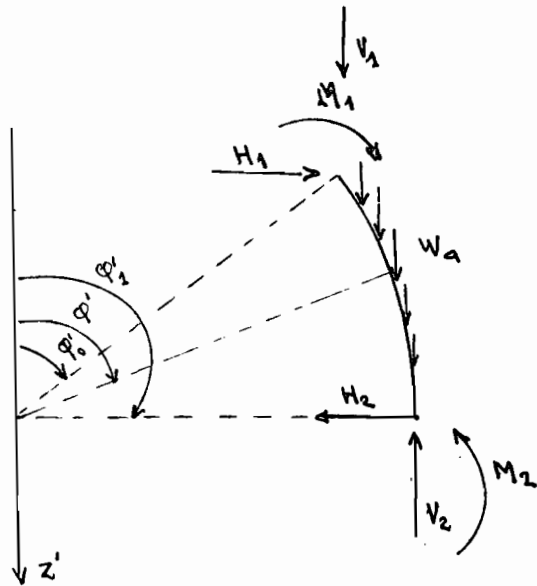
$$\omega_{z_0}^d = \left[\frac{1}{E t_d} (2 + \gamma) \sin \varphi + 2 \frac{\mu_d^2 r_d^2}{E t_d} \times \frac{\cos \varphi_1 \sin^3 \varphi_1}{1 + \cos \varphi_1} (\phi_1 - \psi_1) \right]$$

$$r_d w_d + r_d \sin \varphi \beta_T$$

$$\omega_{z_1}^d = -2 \times \frac{\mu_d^2 r_d^2 \sin^3 \varphi_1}{E t_d} (\phi_1 - \psi_1)$$

$$\omega_{z_2}^d = 4 \times \frac{\mu_d^3 r_d^2 \sin^3 \varphi_1}{E t_d} \phi_1$$

analyse de l'anneau



V₁: Poids du dôme supérieur

w_a: Charge uniforme sur l'anneau

H₁, M₁, H₂, M₂: forces d'interaction

V₂: Réaction du cylindre.

Avec le chargement ci-dessus, la solution générale de l'anneau, résultera de la combinaison de la solution membrane avec les solutions d'effet de bretture, correspondant aux rebords supérieur et inférieur.

Finis , définissons quelques paramètres, utiles à cet effet et, que sont :

$$A_1 = - \left[\frac{\sin \varphi'}{(1 + \cos \varphi')} e^{r_a w_a} - 2 \frac{\sin^2 \varphi'_0}{1 + \cos \varphi_1} r_d w_d \times \frac{\cos \varphi'}{\sin^3 \varphi'} \right]$$

$$A_2 = - \frac{r_a w_a}{1 + \cos \varphi'} - \left(\frac{\sin \varphi'_0}{\sin^2 \varphi'} \right) \times \left(\frac{r_d w_d}{1 + \cos \varphi_1} \right) r_d w_d$$

$$B_2 = - \left(W_a r_a \cos \varphi' + A_2 / \sin^2 \varphi' \right)$$

$$D_2 = - r_a \sin \varphi' \left\{ \frac{1}{E t_a} \left[- W_a r_a \cos \varphi' - A_2 \left(\gamma + \frac{1}{\sin^2 \varphi'} \right) \right] + g_T \right\}$$

$$F_2 = \frac{1}{E t_a} \left\{ W_a r_a \sin \varphi' - \left(\gamma + \frac{1}{\sin^2 \varphi'} \right) A_2 + 2 \frac{\cos \varphi'}{\sin^3 \varphi'} A_2 - \cot \varphi' (1+\gamma) \left[W_a r_a \cos \varphi' + A_2 \left(1 + \frac{1}{\sin^2 \varphi'} \right) \right] \right\}$$

$$A_{b_1} = - \cos \varphi'_0 \left[\frac{r_a W_a}{1 + \cos \varphi'_0} + \frac{r_d W_d}{1 + \cos \varphi_1} \right]$$

$$A_{b_2} = - \cos \varphi'_1 \left[\frac{r_a W_a}{1 + \cos \varphi'_1} + \left(\frac{\sin \varphi'_0}{\sin \varphi'_1} \right)^2 \times \frac{r_d W_d}{1 + \cos \varphi_1} \right]$$

Dès lors, la solution générale sera comme suit :

$$N_z^a = A_2 - 2 C_{f_a} \mu_a^3 \sin^2 \varphi' \cos \varphi' \left[(\alpha_2 - \beta_2) \Phi_2 - (\alpha_2 + \beta_2) \Psi_2 + (\alpha_3 - \beta_3) \Phi_3 + (\alpha_3 + \beta_3) \Psi_3 \right]$$

$$N_\theta^a = B_2 - \frac{E t_a}{r_a} \left[\alpha_2 \Phi_2 - \beta_2 \Psi_2 + \alpha_3 \Phi_3 + \beta_3 \Psi_3 \right]$$

$$M_z^a = - 2 C_{f_a} \mu_a^2 \sin^2 \varphi' \left[\beta_2 \Phi_2 + \alpha_2 \Psi_2 + \beta_3 \Phi_3 - \alpha_3 \Psi_3 \right]$$

$$Q_z^a = 2 C_{f_a} \mu_a^3 \sin^3 \varphi' \left[-(\alpha_2 - \beta_2) \Phi_2 + (\alpha_2 + \beta_2) \Psi_2 + (\alpha_3 - \beta_3) \Phi_3 + (\alpha_3 + \beta_3) \Psi_3 \right]$$

$$\delta_r^a = D_2 + \sin \varphi' \left[\alpha_2 \Phi_2 - \beta_2 \Psi_2 + \alpha_3 \Phi_3 + \beta_3 \Psi_3 \right]$$

$$w_z^a = F_2 + \mu_a \rho \omega \varphi' \left[(\alpha_2 + \beta_2) \Phi_2 + (\alpha_2 - \beta_2) \Psi_2 - (\alpha_3 + \beta_3) \Phi_3 + (\alpha_3 - \beta_3) \Psi_3 \right]$$

ju :

$$\left| \begin{array}{l} C_{f_a} = \frac{E t_a^3}{12(1-\gamma^2)} \\ \mu_a = \left[\frac{3(1-\gamma^2)}{\sin^4 \varphi'_1 (r_a t_a)^3} \right]^{1/4} \end{array} \right.$$

$$\left| \begin{array}{l} \phi_2 = e^{-\mu_a z'} \cos(\mu_a z') \\ \psi_2 = e^{-\mu_a z'} \sin(\mu_a z') \end{array} \right. \quad \left| \begin{array}{l} \phi_3 = e^{\mu_a (z' - z'_1)} \cos[\mu_a (z' - z'_1)] \\ \psi_3 = e^{\mu_a (z' - z'_1)} \sin[\mu_a (z' - z'_1)] \end{array} \right.$$

Mais les conditions de bordure étant, pour

- | | |
|-------------------------|---|
| $\underline{z' = z'_0}$ | <ul style="list-style-type: none"> - déplacement circonférentiel $v_a^c = 0$ - déplacement vertical $\mu_a \sin \varphi'_0 + w_a \cos \varphi'_0 = 0$ - la résultante horizontale des contraintes est telle que:
 $H_1 = -N_z^a \cos \varphi'_0 + Q_z^a \sin \varphi'_0$ - le moment fléchissant $M_z^a = M_1$. |
|-------------------------|---|

- | | |
|---------------------------|---|
| $\underline{z'_1 = z'_1}$ | <ul style="list-style-type: none"> • $v_a^c = 0$ • $\mu_a \sin \varphi'_{z_1} + w_a \cos \varphi'_{z_1} = 0$ • $H_2 = -N_z^a \cos \varphi'_{z_1} + Q_z^a \sin \varphi'_{z_1}$ • $M_z^a = M_2$ |
|---------------------------|---|

, on obtient, en utilisant les deux dernières relations de chacun des cas considérés, les expressions ci-après pour les coefficients d'interaction :

$$\beta_2 = - \frac{M_1}{2 c_{fa} \mu_a^2 \sin^2 \phi'_1}$$

$$\alpha_2 = \frac{1}{2 c_{fa} \mu_a^3 \sin^2 \phi'_1 \cos 2\phi'_1} (H_1 - \mu_a \cos 2\phi'_1 M_1 - A b_1)$$

$$\beta_3 = - \frac{M_2}{2 c_{fa} \mu_a^2 \sin^2 \phi'_2}$$

$$\alpha_3 = \frac{1}{2 c_{fa} \mu_a^3 \sin^2 \phi'_2} (H_2 - \mu_a M_2 - A b_2)$$

Ce qui nous conduit au système suivant pour l'état des contraintes :

$$N_z^a = N_{z0}^a + N_{z1}^a H_1 + N_{z2}^a M_1 + N_{z3}^a H_2 + N_{z4}^a M_2$$

$$N_\theta^a = N_{\theta0}^a + N_{\theta1}^a H_1 + N_{\theta2}^a M_1 + N_{\theta3}^a H_2 + N_{\theta4}^a M_2$$

$$M_z^a = M_{z0}^a + M_{z1}^a H_1 + M_{z2}^a M_1 + M_{z3}^a H_2 + M_{z4}^a M_2$$

$$Q_z^a = Q_{z0}^a + Q_{z1}^a H_1 + Q_{z2}^a M_1 + Q_{z3}^a H_2 + Q_{z4}^a M_2$$

$$\delta_r^a = \delta_{r0}^a + \delta_{r1}^a H_1 + \delta_{r2}^a M_1 + \delta_{r3}^a H_2 + \delta_{r4}^a M_2$$

$$w_z^a = w_{z0}^a + w_{z1}^a H_1 + w_{z2}^a M_1 + w_{z3}^a H_2 + w_{z4}^a M_2$$

avec :

$$N_{z_0}^a = A_2 + \sin^2 \varphi' \cos \varphi' \left[A_{b_1} \frac{(\phi_2 - \Psi_2)}{\cos 2\varphi'_0 \sin^2 \varphi'_0} + A_{b_2} \frac{(\phi_3 + \Psi_3)}{\sin^2 \varphi'_1} \right]$$

$$N_{z_1}^a = - \frac{\sin^2 \varphi' \cos \varphi'}{\cos 2\varphi'_0 \sin^2 \varphi'_0} (\phi_2 - \Psi_2)$$

$$N_{z_2}^a = - 2 \times \frac{\sin^2 \varphi' \cos \varphi'}{\sin^2 \varphi'_1} \mu_a \Psi_2$$

$$N_{z_3}^a = - \frac{\sin^2 \varphi' \cos \varphi'}{\sin^2 \varphi'_1} (\phi_3 + \Psi_3)$$

$$N_{z_4}^a = 2 \times \frac{\sin^2 \varphi' \cos \varphi'}{\sin^2 \varphi'_1} \mu_a \Psi_3$$

$$N_{\theta_0}^a = B_2 + \frac{E t_a}{2 c_{f_a} \mu_a^3 r_a} \left[A_{b_1} \times \frac{\phi_2}{\cos 2\varphi'_0 \sin^2 \varphi'_0} + A_{b_2} \times \frac{\phi_3}{\sin^2 \varphi'_1} \right]$$

$$N_{\theta_1}^a = - \frac{E t_a}{2 c_{f_a} r_a \mu_a^3 \sin^2 \varphi'_0 \cos 2\varphi'_0} \phi_2$$

$$N_{\theta_2}^a = \frac{E t_a}{2 c_{f_a} r_a \mu_a^3 \sin^2 \varphi'_0} (\phi_2 - \Psi_2)$$

$$N_{\theta_3}^a = - \frac{E t_a}{2 c_{f_a} r_a \mu_a^3 \sin^2 \varphi'_1} \phi_3$$

$$N_{\theta_4}^a = \frac{E t_a}{2 c_{f_a} r_a \mu_a^3 \sin^2 \varphi'_1} (\phi_3 + \Psi_3)$$

$$M_{z_0}^a = \frac{\sin^2 \varphi'}{\mu_a} \left[\frac{A_{b_1}}{\cos 2\varphi'_0 \sin^2 \varphi'_0} \Psi_2 - \frac{1}{\sin^2 \varphi'_1} (A_{b_2}) \Psi_3 \right]$$

$$M_{z_1}^a = - \frac{\sin^2 \varphi'}{\mu_a \sin^2 \varphi'_0 \cos 2\varphi'_0} \Psi_2$$

$$M_{z_2}^a = \frac{\sin^2 \varphi'}{\sin^2 \varphi'_0} (\phi_2 + \Psi_2)$$

$$M_{z_3}^a = \frac{\sin^2 \varphi'}{\mu_a \sin^2 \varphi'_1} \Psi_3$$

$$M_{z_4}^a = \frac{\sin^2 \varphi'}{\sin^2 \varphi'_1} (\phi_3 - \Psi_3)$$

$$Q_{z_0}^a = - \sin^3 \varphi' \left[\frac{1}{\cos 2\varphi'_0 \sin^2 \varphi'_0} A_{b_1} (\Psi_2 - \phi_2) - \frac{A_{b_2}}{\sin^2 \varphi'_1} (\phi_3 + \Psi_3) \right]$$

$$Q_{z_1}^a = \frac{\sin^3 \varphi'}{\cos 2\varphi'_0 \sin^2 \varphi'_0} (\Psi_2 - \phi_2)$$

$$Q_{z_3}^a = - 2 \frac{\sin^3 \varphi'}{\sin^2 \varphi'_1} (\phi_3 + \Psi_3)$$

$$Q_{z_2}^a = - 2 \frac{\sin^3 \varphi'}{\sin^2 \varphi'_0} \mu_a \Psi_2$$

$$Q_{z_4}^a = - 2 \frac{\sin^3 \varphi'}{\sin^2 \varphi'_1} \mu_a \Psi_3$$

$$\delta r_0^a = D_2 - \frac{\sin \varphi'}{2 c_{f_a} \mu_a^3} \left[\frac{A_{b_1}}{\sin^2 \varphi'_0 \cos 2\varphi'_0} \phi_2 + \frac{A_{b_2}}{\sin^2 \varphi'_1} \phi_3 \right]$$

$$\delta r_1^a = \frac{\sin \varphi'}{2 c_{f_a} \mu_a^3 \sin^2 \varphi'_0 \cos 2\varphi'_0} \phi_2$$

$$\delta r_2^a = - \frac{\sin \varphi'}{2 c_{f_a} \mu_a^2 \sin^2 \varphi'_0} (\phi_2 - \Psi_2)$$

$$\delta r_3^a = \frac{\sin \varphi'}{2 c_{f_a} \mu_a^3 \sin^2 \varphi'_1} \phi_3$$

$$\delta r_4^a = - \frac{\sin \varphi'}{2 c_{f_a} \mu_a^2 \sin^2 \varphi'_1} (\phi_3 + \Psi_3)$$

$$\omega_{z_0}^a = F_2 + \frac{\sin \varphi'}{2 c_{fa} \mu_a^2} \left[- (A b_1) \frac{(\phi_2 + \psi_2)}{\cos 2\varphi' \sin^2 \varphi'} + A b_2 \times \frac{(\phi_3 - \psi_3)}{\sin^2 \varphi'} \right]$$

$$\omega_{z_1}^a = \frac{\sin \varphi'}{2 c_{fa} \mu_a^2 \sin^2 \varphi' \cos 2\varphi'} (\phi_2 + \psi_2)$$

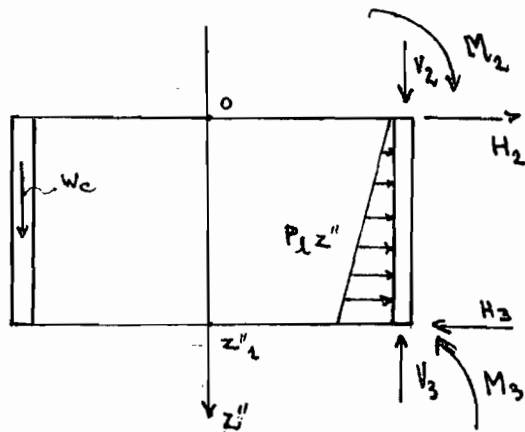
$$\omega_{z_2}^a = - \frac{\sin \varphi'}{c_{fa} \mu_a^2 \sin^2 \varphi'} \phi_2$$

$$\omega_{z_3}^a = - \frac{\sin \varphi'}{2 c_{fa} \mu_a^2 \sin^2 \varphi'} (\phi_3 - \psi_3)$$

$$\omega_{z_4}^a = \frac{\sin \varphi'}{c_{fa} \mu_a \sin^2 \varphi'} \phi_3$$

2.2.4 Analyse du Cylindre

Le cylindre est soumis au système de forces suivant :



où w_c est le poids du cylindre

$p_L z$: pression exercée par le liquide

V_2 : poids du dôme supérieur et de l'anneau

H_2, M_2, H_3, M_3 : forces et moments d'interaction

V_3 : Action sur la calotte sphérique inférieure

Les conditions de bordure se posent ainsi :

$$\left. \begin{array}{l} V_c = 0 \\ N_{z'}^c = V_2 \\ Q_z^c = H_2 \\ M_z^c = M_2 \end{array} \right\} \text{et pour } z'' = z''_1 \quad \left. \begin{array}{l} V_c = 0 \\ N_z^c = V_3 \\ Q_z^c = H_3 \\ M_z^c = M_3 \end{array} \right\}$$

Comme précédemment, en combinant la solution membrane, avec les 2 solutions à effets de bordure distinctes correspondant à $z'' = 0$ et à $z' = z'_1$, la solution générale sera :

$$N_z^c = -w_c z'' - r_a w_a - \sin^2 \phi_0 \left(\frac{r_d w_d}{1 + \cos \phi_1} \right)$$

$$N_\theta^c = P_d r_c z'' - \frac{E t_c}{r_c} (\alpha_u \phi_u - \beta_u \Psi_u + \alpha_s \phi_s + \beta_s \Psi_s)$$

$$M_z^c = P - 2 c_{f_c} \mu_c^2 (\beta_u \phi_u + \alpha_u \Psi_u + \beta_s \phi_s - \alpha_s \Psi_s)$$

$$Q_z^c = 2 c_{f_c} \mu_c^3 [-(\alpha_u - \beta_u) \phi_u + (\alpha_u + \beta_u) \Psi_u + (\alpha_s - \beta_s) \phi_s \\ + (\alpha_s + \beta_s) \Psi_s]$$

$$\delta_r^c = -r_c \left\{ \frac{1}{E t_c} \left[(P_d r_c + \gamma w_c) z'' + \gamma (w_a r_a + \sin^2 \phi_0 \times \frac{r_d w_d}{1 + \cos \phi_1}) \right] \right. \\ \left. + \beta_T \right\} + [\alpha_u \phi_u - \beta_u \Psi_u + \alpha_s \phi_s + \beta_s \Psi_s]$$

$$w_z^c = \frac{1}{E t_c} \left[r_c (P_d r_c + \gamma w_c) \right] + \mu_c \left[(\alpha_u + \beta_u) \phi_u + (\alpha_u - \beta_u) \Psi_u \right. \\ \left. - (\alpha_s + \beta_s) \phi_s + (\alpha_s - \beta_s) \Psi_s \right]$$

avec

$$c_{f_c} = \frac{E t_c^3}{12(1-\gamma^2)}$$

$$\mu_c = \left[\frac{3(1-\gamma^2)}{(r_c t_c)^3} \right]^{1/4}$$

$$\begin{aligned} \phi_u &= e^{-\mu_c z''} \cos(\mu_c z'') \\ \Psi_u &= e^{-\mu_c z''} \sin(\mu_c z'') \end{aligned}$$

$$\begin{aligned} \phi_s &= e^{\mu_c (z'' - z''_1)} \cos[\mu_c (z'' - z''_1)] \\ \Psi_s &= e^{\mu_c (z'' - z''_1)} \sin[\mu_c (z'' - z''_1)] \end{aligned}$$

$$\alpha_u = - \frac{H_2 + \mu_c M_2}{2 c_{f_c} \mu_c^3}$$

$$\alpha_s = \frac{H_3 - \mu_c M_3}{2 c_{f_c} \mu_c^3}$$

$$\beta_u = - \frac{M_2}{2 c_{f_c} \mu_c^2}$$

$$\beta_s = - \frac{M_3}{2 c_{f_c} \mu_c^2}$$

L'Etat du contraintes pura:

$$\begin{aligned}
 N_2^c &= N_{20}^c + N_{23}^c H_2 + N_{2u}^c M_2 + N_{25}^c H_3 + N_{26}^c M_3 \\
 N_8^c &= N_{80}^c + N_{83}^c H_2 + N_{8u}^c M_2 + N_{85}^c H_3 + N_{86}^c M_3 \\
 M_2^c &= M_{20}^c + M_{23}^c H_2 + M_{2u}^c M_2 + M_{25}^c H_3 + M_{26}^c M_3 \\
 Q_2^c &= Q_{20}^c + Q_{23}^c H_2 + Q_{2u}^c M_2 + Q_{25}^c H_3 + Q_{26}^c M_3 \\
 S_r^c &= S_{r0}^c + S_{r3}^c H_2 + S_{ru}^c M_2 + S_{rs}^c H_3 + S_{re}^c M_3 \\
 w_0^c &= w_{20}^c + w_{23}^c H_2 + w_{2u}^c M_2 + w_{25}^c H_3 + w_{26}^c M_3
 \end{aligned}$$

$$\text{sin } \varphi_0 = -w_{22}^{'''} - r_{\text{awa}} - \frac{\sin \varphi_0}{r_{\text{dw}}} \times \left(\frac{r_{\text{dw}}}{r + \cos \varphi_0} \right)$$

$$N_{23}^c = N_{2u}^c = N_{25}^c = N_{26}^c = 0$$

$$\begin{aligned}
 N_{80}^c &= \rho_{\text{d}} r_{\text{dz}}^{''''} \\
 N_{83}^c &= 2\rho_{\text{d}} r_{\text{e}} \psi_4 \\
 N_{8u}^c &= 2\rho_{\text{d}} r_{\text{e}} (\psi_u - \psi_u) \\
 N_{85}^c &= -2\rho_{\text{d}} r_{\text{e}} \psi_5 \\
 N_{86}^c &= \kappa \rho_{\text{d}} r_{\text{e}} (\psi_5 + \psi_5)
 \end{aligned}$$

$$\begin{aligned}
 M_{20}^c &= 0 \\
 M_{23}^c &= \frac{1}{\mu_c} \psi_u \\
 M_{2u}^c &= \psi_u + \psi_u \\
 M_{25}^c &= \frac{1}{\mu_c} \psi_5 \\
 M_{26}^c &= \psi_5 - \psi_5
 \end{aligned}$$

$$\delta r_0^c = -r_c \left\{ \frac{1}{E t_c} \left[(P_2 r_c + \gamma w_c) z'' + \gamma (w_a r_a + \sin^2 \varphi_a \times \left(\frac{r_d w_d}{1 + \cos \varphi_d} \right)) \right] + \beta_T \right\}$$

$$\delta r_3^c = -2 \frac{\mu_c^2 r_c^2}{E t_c} \phi_4$$

$$\delta r_u^c = -2 \frac{\mu_c^2 r_c^2}{E t_c} (\phi_u - \psi_u)$$

$$\delta r_s^c = 2 \frac{\mu_c^2 r_c^2}{E t_c} \phi_s$$

$$\delta r_6^c = -2 \frac{\mu_c^2 r_c^2}{E t_c} (\phi_s + \psi_s)$$

$$w_{z_0}^c = \frac{1}{E t_c} [r_c \times (P_2 r_c + \gamma w_c)]$$

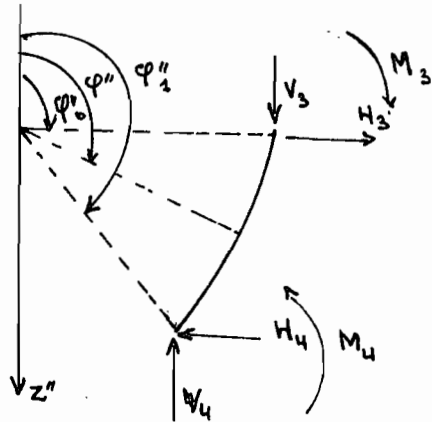
$$w_{z_3}^c = -2 \frac{\mu_c^2 r_c^2}{E t_c} (\phi_u + \psi_u)$$

$$w_{z_u}^c = -4 \frac{\mu_c^3 r_c^2}{E t_c} \phi_u$$

$$w_{z_s}^c = -2 \frac{\mu_c^2 r_c^2}{E t_c} (\phi_s - \psi_s)$$

$$w_{z_6}^c = 4 \frac{\mu_c^3 r_c^2}{E t_c} \phi_s$$

2.2.5 Analyse de la Calotte Sphérique Inférieure



H_3, M_3, H_4, M_4 : Forces et Moments d'interaction

V_3 : Poids de la partie supérieure

V_u : Action sur le dôme.

En négligeant le poids de la calotte sphérique par rapport à la pression exercée par le liquide, et en posant :

$$C_{a_1} = \sin \varphi_0'' \left[\frac{\sin \varphi_0}{1 + \cos \varphi_0} r_d w_d + \left(\frac{\sin \varphi_0'}{1 + \cos \varphi_0} - \frac{\sin \varphi_1'}{1 + \cos \varphi_1} \right) W_a r_a + W_{che} \right]$$

$$\begin{aligned} C_{a_2} = & (\cos \varphi'' + \sin \varphi'') \gamma r_{a_1} (h_c + z) \times \frac{1}{r_{a_1} \sin \varphi''} + \\ & \gamma r_{a_1} (\sin \varphi'' - \cos \varphi'') \end{aligned}$$

$$\begin{aligned} C_{a_3} = & (\lambda + \gamma) \left\{ \frac{1}{r_{a_1} \sin \varphi''} \left[(\sin \varphi'' - \cos \varphi'') (h_c + z'') \gamma r_{a_1} + \right. \right. \\ & \left. \left. \frac{2 \cos \varphi''}{\sin^3 \varphi''} C_{a_1} \right] - (\cos \varphi'' + \sin \varphi'') \gamma r_{a_1} \right\} \end{aligned}$$

$$A_u = -(\cos \varphi'' + \sin \varphi'') (h_c + z'') \gamma r_{a_1} - \frac{C_{a_1}}{\sin^2 \varphi''}$$

$$B_4 = -\cos \varphi''_1 \left\{ -(\cos \varphi''_1 + \sin \varphi''_1) \left[(\cos \varphi''_0 - \cos \varphi''_1) r_{a_1} + h_c \right] \delta r_{a_1} - \frac{c_{a_1}}{\sin^2 \varphi''_1} \right\}$$

$$C_4 = r_{a_1} [\gamma(h_c + z)(\sin \varphi'' - \cos \varphi'')] - A_4$$

$$D_4 = -r_{a_1} \sin \varphi'' \left\{ \frac{1}{E t_{a_1}} [(\sin \varphi'' - \cos \varphi'') (h_c + z) \delta r_{a_1} - (1+\gamma) A_4] + g_T \right\}$$

$$F_4 = \frac{1}{E t_{a_1}} \left\{ r_{a_1} \sin \varphi'' (c_{a_2} - c_{a_3}) + \cot \varphi'' (1+\gamma) \times [(\sin \varphi'' - \cos \varphi'') \delta r_{a_1} (h_c + z) - 2 A_4] \right\}$$

La solution générale sera :

$$N_z^{a_1} = A_4 - 2 C_{f_{a_1}} \mu_{a_1}^3 \sin^2 \varphi'' \cos \varphi'' [(\alpha_c - \beta_c) \phi_c - (\alpha_c + \beta_c) \psi_c + (\alpha_z - \beta_z) \phi_z + (\alpha_z + \beta_z) \psi_z]$$

$$N_\theta^{a_1} = C_4 - \frac{E t_{a_1}}{r_{a_1}} [\alpha_c \phi_c - \beta_c \psi_c + \alpha_z \phi_z + \beta_z \psi_z]$$

$$M_z^{a_1} = -2 C_{f_{a_1}} \mu_{a_1}^2 \sin^2 \varphi'' [\beta_c \phi_c + \alpha_c \psi_c + \beta_z \phi_z - \alpha_z \psi_z]$$

$$Q_z^{a_1} = 2 C_{f_{a_1}} \mu_{a_1}^3 \sin^2 \varphi'' [-(\alpha_c + \beta_c) \phi_c + (\alpha_c + \beta_c) \psi_c + (\alpha_z - \beta_z) \phi_z + (\alpha_z + \beta_z) \psi_z]$$

$$\delta r^{a_1} = D_4 + \sin \varphi'' [\alpha_c \phi_c - \beta_c \psi_c + \alpha_z \phi_z + \beta_z \psi_z]$$

$$w_z^{a_1} = F_4 + \mu_{a_1} \sin \varphi'' [(\alpha_c + \beta_c) \phi_c + (\alpha_c - \beta_c) \psi_c - (\alpha_z + \beta_z) \phi_z + (\alpha_z - \beta_z) \psi_z]$$

Sachant que :

$$\left| \begin{array}{l} C_{f_{\alpha_1}} = \frac{E t_{\alpha_1}^3}{12(1-\gamma^2)} \\ \mu_{\alpha_1} = \left[\frac{3(1-\gamma^2)}{\sin^4 \varphi''_1 (r_{\alpha_1} t_{\alpha_1})^3} \right]^{1/4} \end{array} \right.$$

$$\left| \begin{array}{l} \phi_6 = e^{-\mu_{\alpha_1} (z''' - z''_0)} \cos [\mu_{\alpha_1} (z''_0 - z''')] \\ \psi_6 = e^{-\mu_{\alpha_1} (z''' - z''_0)} \sin [\mu_{\alpha_1} (z''' - z'')] \end{array} \right.$$

$$\left| \begin{array}{l} \phi_7 = e^{+\mu_{\alpha_1} z'''} \cos [\mu_{\alpha_1} (-z''')] \\ \psi_7 = e^{\mu_{\alpha_1} z'''} \sin [-\mu_{\alpha_1} z''] \end{array} \right.$$

d'autre part, les conditions de bretture étant :

$$\left| \begin{array}{l} \text{Pour } z'''=0 \\ V_c^{q_1} = 0 \\ M_z^{q_1} = V_3 \quad \text{et}, \\ Q_z^{q_1} = H_3 \\ M_z^{q_1} = M_3 \end{array} \right.$$

$$\left| \begin{array}{l} V_c^{q_1} = 0 \\ N_z^{q_1} \cos \varphi''_1 + Q_z^{q_1} \sin \varphi''_1 = H_4 \\ N_z^{q_1} \sin \varphi''_1 - Q_z^{q_1} \cos \varphi''_1 = V_4 \\ M_z^{q_1} = M_4 \end{array} \right.$$

Et après les deux dernières relations du premier cas
on a :

$$\alpha_6 = - \frac{(H_3 + M_{\alpha_1} M_3)}{2 C_{f_{\alpha_1}} \mu_{\alpha_1}^3}$$

$$\beta_6 = - \frac{M_3}{2 C_{f_{\alpha_1}} \mu_{\alpha_1}^2}$$

De même, en nous inscrivant de la deuxième et de la

dernière relation du second cas, les expressions de α_7 et β_7 , se établissent ainsi :

$$\left| \begin{array}{l} \alpha_7 = \frac{1}{2 c_{f\alpha_1} \mu_{\alpha_1}^3 \sin^2 \varphi''_1} (-H_4 - \mu_{\alpha_1} \cos 2\varphi''_0 M_4 + B_4) \\ \beta_7 = -\frac{M_4}{2 c_{f\alpha_1} \mu_{\alpha_1}^2 \sin^2 \varphi''_1} \end{array} \right.$$

De là, l'état des contraintes pourra se résumer de la façon suivante :

$$\left| \begin{array}{l} N_z^{q_1} = N_{z_0}^{q_1} + N_{z_5}^{q_1} H_3 + N_{z_6}^{q_1} M_3 + N_{z_7}^{q_1} H_4 + N_{z_8}^{q_1} M_4 \\ N_\theta^{q_1} = N_{\theta_0}^{q_1} + N_{\theta_5}^{q_1} H_3 + N_{\theta_6}^{q_1} M_3 + N_{\theta_7}^{q_1} H_4 + N_{\theta_8}^{q_1} M_4 \\ M_z^{q_1} = M_{z_0}^{q_1} + M_{z_5}^{q_1} H_3 + M_{z_6}^{q_1} M_3 + M_{z_7}^{q_1} H_4 + M_{z_8}^{q_1} M_4 \\ Q_z^{q_1} = Q_{z_0}^{q_1} + Q_{z_5}^{q_1} H_3 + Q_{z_6}^{q_1} M_3 + Q_{z_7}^{q_1} H_4 + Q_{z_8}^{q_1} M_4 \\ \delta_r^{q_1} = \delta_{r_0}^{q_1} + \delta_{r_5}^{q_1} H_3 + \delta_{r_6}^{q_1} M_3 + \delta_{r_7}^{q_1} H_4 + \delta_{r_8}^{q_1} M_4 \\ w_z^{q_1} = w_{z_0}^{q_1} + w_{z_5}^{q_1} H_3 + w_{z_6}^{q_1} M_3 + w_{z_7}^{q_1} H_4 + w_{z_8}^{q_1} M_4 \end{array} \right.$$

Dans ce système,

$$\left| \begin{array}{l} N_{z_0}^{q_1} = A_4 - \frac{B_4 \sin^2 \varphi'' \cos \varphi''}{\sin^2 \varphi''_1 \cos 2\varphi''_0} (\phi_7 + \psi_7) \\ N_{z_5}^{q_1} = \sin^2 \varphi'' \cos \varphi'' (\phi_6 - \psi_6) \\ N_{z_6}^{q_1} = -2 \sin^2 \varphi'' \cos \varphi'' \mu_{\alpha_1} \psi_6 \\ N_{z_7}^{q_1} = -\frac{\sin^2 \varphi'' \cos \varphi''}{\cos 2\varphi''_0 \sin^2 \varphi''_1} (\phi_7 + \psi_7) \\ N_{z_8}^{q_1} = 2 \times \frac{\sin^2 \varphi'' \cos \varphi''}{\sin^2 \varphi''_1} \mu_{\alpha_1} \psi_7 \end{array} \right.$$

$$N_{\theta_0}^{a_1} = c_4 + \frac{E t_{a1}}{r_{a1}} \left(\frac{b_4}{2 c_{f_{a1}} \mu_{a1}^3 \sin^2 \varphi''_1} \right) \phi_7 \times \left(-\frac{1}{\cos 2\varphi''_0} \right)$$

$$N_{\theta_6}^{a_1} = \frac{E t_{a1}}{r_{a1}} \left(\frac{1}{2 c_{f_{a1}} \mu_{a1}^2} \right) (\phi_6 - \psi_6)$$

$$N_{\theta_5}^{a_1} = \frac{E t_{a1}}{r_{a1}} \left(\frac{1}{2 c_{f_{a1}} \mu_{a1}^3} \right) \phi_6$$

$$N_{\theta_7}^{a_1} = + \frac{E t_{a1}}{r_{a1}} \left(\frac{1}{2 c_{f_{a1}} \mu_{a1}^3 \sin^2 \varphi''_1} \right) \phi_7 \times \left(\frac{1}{\cos 2\varphi''_0} \right)$$

$$N_{\theta_8}^{a_1} = \frac{E t_{a1}}{r_{a1}} \left(\frac{1}{2 c_{f_{a1}} \mu_{a1}^2 \sin^2 \varphi''_1} \right) (\phi_7 + \psi_7)$$

$$M_{z_0}^{a_1} = + \sin^2 \varphi'' \left(\frac{b_4}{\mu_{a1} \sin^2 \varphi''_1} \right) \psi_7 \times \left(\frac{1}{\cos 2\varphi''_0} \right)$$

$$M_{z_5}^{a_1} = \sin^2 \varphi'' \left(\frac{1}{\mu_{a1}} \right) \psi_6$$

$$M_{z_6}^{a_1} = \sin^2 \varphi'' (\phi_6 + \psi_6)$$

$$M_{z_7}^{a_1} = - \sin^2 \varphi'' \left(\frac{1}{\mu_{a1} \sin^2 \varphi''_1} \right) \psi_7 \times \left(\frac{1}{\cos 2\varphi''_0} \right)$$

$$M_{z_8}^{a_1} = \sin^2 \varphi'' \left(\frac{1}{\sin^2 \varphi''_1} \right) (\phi_7 - \psi_7)$$

$$Q_{z_0}^{a_1} = + \sin^2 \varphi'' \left(\frac{b_4}{\sin^2 \varphi''_1} \right) (\phi_7 + \psi_7) \times \left(\frac{1}{\cos 2\varphi''_0} \right)$$

$$Q_{z_5}^{a_1} = \sin^2 \varphi'' [\phi_6 - \psi_6]$$

$$Q_{z_6}^{a_1} = - 2 \mu_{a1} \sin^3 \varphi'' \psi_6$$

$$Q_{z_7}^{a_1} = - \frac{\sin^3 \varphi''}{\sin^2 \varphi''_1} (\phi_7 + \psi_7) \times \left(\frac{1}{\cos 2\varphi''_0} \right)$$

$$Q_{z_8}^{a_1} = -2\mu_{a_1} \times \frac{\sin^3 \phi''}{\sin^2 \phi''_1} \psi_7$$

$$\delta_{r_0}^{a_1} = I_4 + \sin \phi'' \left(\frac{B_4}{2c_{f_{a_1}} \mu_{a_1}^2 \sin^2 \phi''_1} \right) \phi_7 \times \left(\frac{1}{\cos 2\phi''_0} \right)$$

$$\delta_{r_5}^{a_1} = -\sin \phi'' \times \left(\frac{1}{2c_{f_{a_1}} \mu_{a_1}^3} \right) \phi_6$$

$$\delta_{r_6}^{a_1} = -\sin \phi'' \times \left(\frac{1}{2c_{f_{a_1}} \mu_{a_1}^2} \right) (\phi_6 - \psi_6)$$

$$\delta_{r_7}^{a_1} = -\sin \phi'' \left(\frac{1}{2c_{f_{a_1}} \mu_{a_1}^3 \sin^2 \phi''_1} \right) \phi_7 \times \left(\frac{1}{\cos 2\phi''_0} \right)$$

$$\delta_{r_8}^{a_1} = -\sin \phi'' \left(\frac{1}{2c_{f_{a_1}} \mu_{a_1}^2 \sin^2 \phi''_1} \right) (\phi_7 + \psi_7)$$

$$w_{z_0}^{a_1} = F_4 + \frac{\sin \phi''}{\cos 2\phi''_0} \left(\frac{B_4}{2c_{f_{a_1}} \mu_{a_1}^2 \sin^2 \phi''_1} \right) (\phi_7 - \psi_7)$$

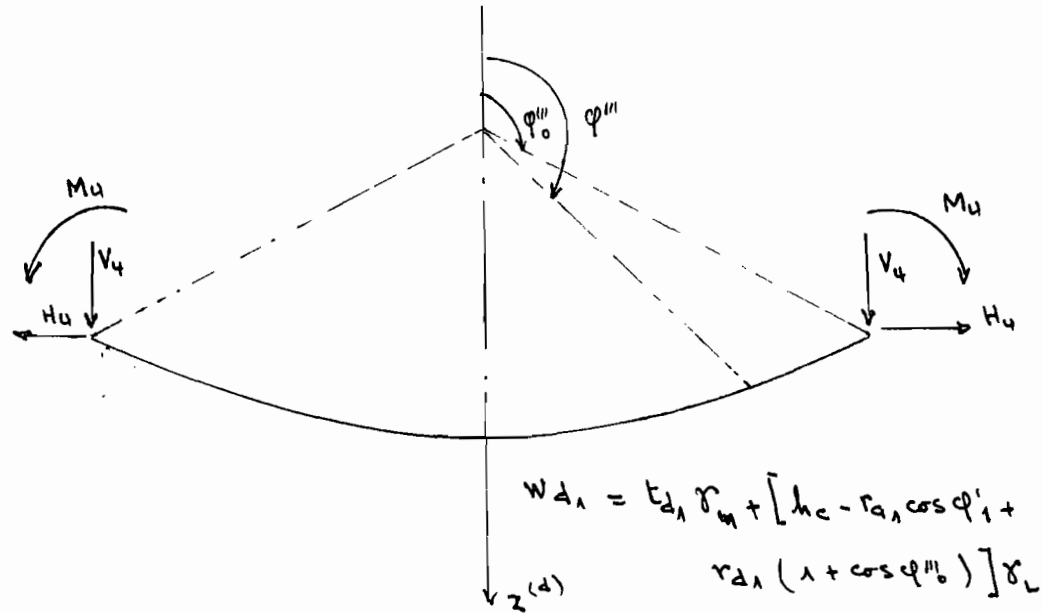
$$w_{z_5}^{a_1} = -\sin \phi'' \left(\frac{1}{2c_{f_{a_1}} \mu_{a_1}^2} \right) (\phi_6 + \psi_6)$$

$$w_{z_6}^{a_1} = -\sin \phi'' \left(\frac{1}{c_{f_{a_1}} \mu_{a_1}} \right) \phi_6$$

$$w_{z_7}^{a_1} = +\frac{\sin \phi''}{\cos 2\phi''_0} \left(\frac{1}{2c_{f_{a_1}} \mu_{a_1}^2 \sin^2 \phi''_1} \right) (\phi_7 - \psi_7)$$

$$w_{z_8}^{a_1} = 2\sin \phi'' \left(\frac{1}{2c_{f_{a_1}} \mu_{a_1} \sin^2 \phi''_1} \right) \phi_7$$

2.2.6 Analyse du Dome Sphérique inférieur



V_4 : Poids de l'ensemble 'dome supérieur - anneau cylindre - calotte sphérique inférieure'

H_u , M_u : Force et moment d'interaction

W_{d1} : Réaction du sol.

La charge W_{d1} étant engendrée par l'action du poids propre du dome inférieur et de la pression exercée par l'eau, elle jouerait le même rôle que celui de W_d dans l'étude du dome supérieur. Et, pour s'en apercevoir, il suffit de renverser la structure qui, pour les besoins de l'analyse, sera soulevée \Rightarrow sera soumise aux forces d'interaction et à W_{d1} .

Seront, pour ce faire, les relations suivantes :

$$\dot{\alpha}_1 = \sin^2 \varphi_0''' \left[\frac{r_{d1} w_{d1}}{(1 + \cos \varphi_1'')} + \frac{c_{d1}}{\sin^2 \varphi_1'''} \right]$$

$$\dot{\alpha}_2 = -\frac{\sin \varphi_0'''}{(1 + \cos \varphi_1'')^2} r_{d1} w_{d1} + 2 \frac{\cos \varphi_0'''}{\sin^3 \varphi_1'''} \dot{\alpha}_1$$

$$A_S = -\frac{r_{d1} w_{d1}}{1 + \cos \varphi_1''} - \frac{\sin^2 \varphi_0'''}{\sin^2 \varphi_1'''} \left[\frac{r_{d1} w_{d1}}{(1 + \cos \varphi_1'')} + \frac{c_{d1}}{\sin^2 \varphi_1'''} \right]$$

$$B_S = w_{d1} r_{d1} \cos \varphi_1'' - \frac{A_S}{\sin^2 \varphi_1''}$$

$$\dot{\alpha}_3 = -w_{d1} r_{d1} \sin \varphi_1''' - \left(\gamma + \frac{1}{\sin^2 \varphi_1'''} \right) \dot{\alpha}_2 + 2 \frac{\cos \varphi_0'''}{\sin^3 \varphi_1'''} A_S$$

$$J_S = -r_{d1} \sin \varphi_1''' \left\{ \frac{1}{E t_{d1}} \left[w_{d1} r_{d1} \cos \varphi_1'' - \left(\gamma + \frac{1}{\sin^2 \varphi_1'''} \right) A_S \right] + F_T \right\}$$

$$F_S = \frac{1}{E t_{d1}} \left\{ \dot{\alpha}_3 + \cot \varphi_1''' (1 + \gamma) \left[w_{d1} r_{d1} \cos \varphi_1'' - \left(1 + \frac{1}{\sin^2 \varphi_1'''} \right) A_S \right] \right\}$$

La solution générale équivaut au système ci-dessous :

$$N_2^{d1} = A_S - 2 C_{fd1} \mu_{d1}^3 \sin^2 \varphi_0''' \cos \varphi_0''' \left[(\alpha_8 - \beta_8) \phi_8 + (\alpha_8 + \beta_8) \psi_8 \right]$$

$$N_8^{d1} = B_S - \frac{E t_{d1}}{r_{d1}} (\alpha_8 \phi_8 + \beta_8 \psi_8)$$

$$M_z^{d1} = -2 C_{fd1} \mu_{d1}^2 \sin^2 \varphi_0''' (\beta_8 \phi_8 - \alpha_8 \psi_8)$$

$$Q_z^{d1} = 2 C_{fd1} \mu_{d1}^3 \sin^3 \varphi_0''' \left[(\alpha_8 - \beta_8) \phi_8 + (\alpha_8 + \beta_8) \psi_8 \right]$$

$$F_r^{d1} = J_S + E t_{d1} \sin \varphi_0''' (\alpha_8 \phi_8 + \beta_8 \psi_8)$$

$$\omega_z^{d1} = F_S - E t_{d1} \mu_{d1} \sin \varphi_0''' \left[(\alpha_8 + \beta_8) \phi_8 - (\alpha_8 - \beta_8) \psi_8 \right]$$

$$\text{On :} \quad \begin{aligned}\phi_8 &= e^{\mu_{d_1}(z_d - z_{d_0})} \cos [\mu_{d_1}(z_d - z_{d_0})] \\ \psi_8 &= e^{\mu_{d_1}(z_d - z_{d_0})} \sin [\mu_{d_1}(z_d - z_{d_0})]\end{aligned}$$

$$c_{fd_1} = \frac{\bar{k} t_{d_1}^3}{12(1-\gamma^4)}$$

$$\mu_{d_1} = \left[\frac{3(1-\gamma^2)}{\sin^4 \varphi'' (r_d t_d)^3} \right]^{1/4}$$

Les conditions de bordure étant :

$$\begin{array}{l|l} N_c^{d_1} = 0 & \\ \text{Pour } z_d = 0 & N_z^{d_1} \cos \varphi''' + Q_z^{d_1} \sin \varphi''' = H_4 \\ & V_4 = N_z^{d_1} \sin \varphi''' - Q_z^{d_1} \cos \varphi''' \\ & M_4 = M_z^{d_1} \end{array}$$

, les coefficients α_8 et β_8 s'obtiennent à l'aide des 2^e et 3^e relations . Ce qui donne :

$$\beta_8 = - \frac{M_4}{2 c_{fd_1} \mu_{d_1}^2 \sin^2 \varphi'''}$$

$$\alpha_8 = \frac{(-H_4 + A \cos \varphi''' - \cos 2\varphi'' \mu_{d_1} M_4)}{2 c_{fd_1} \mu_{d_1}^3 \cos 2\varphi''' \sin^2 \varphi'''}$$

ce qui nous permettra de résumer l'état des contraintes comme suit :

$$\begin{aligned}
 N_z^{d_1} &= N_{z_0}^{d_1} + N_{z_7}^{d_1} H_u + N_{z_8}^{d_1} M_u \\
 N_\theta^{d_1} &= N_{\theta_0}^{d_1} + N_{\theta_7}^{d_1} H_u + N_{\theta_8}^{d_1} M_u \\
 M_z^{d_1} &= M_{z_0}^{d_1} + M_{z_7}^{d_1} H_u + M_{z_8}^{d_1} M_u \\
 Q_z^{d_1} &= Q_{z_0}^{d_1} + Q_{z_7}^{d_1} H_u + Q_{z_8}^{d_1} M_u \\
 \delta_r^{d_1} &= \delta_{r_0}^{d_1} + \delta_{r_7}^{d_1} H_u + \delta_{r_8}^{d_1} M_u \\
 w_z^{d_1} &= w_{z_0}^{d_1} + w_{z_7}^{d_1} H_u + w_{z_8}^{d_1} M_u
 \end{aligned}$$

Avec :

$$N_{z_0}^{d_1} = A_s \left[1 - \frac{\cos^2 \varphi''_0}{\cos 2\varphi''_0} (\phi_8 + \psi_8) \right]$$

$$N_{z_7}^{d_1} = \frac{\cos \varphi''_0}{\cos 2\varphi''_0} (\phi_8 + \psi_8)$$

$$M_{z_8}^{d_1} = 2 \cos \varphi''_0 \mu_{d_1} \psi_8$$

$$N_{\theta_0}^{d_1} = B_s - \frac{E t_{d_1}}{r_{d_1}} \left[\frac{A_s \cos \varphi''_0}{2 c_{f_{d_1}} \mu_{d_1}^3 \sin^2 \varphi''_0 \cos 2\varphi''_0} \phi_8 \right]$$

$$N_{\theta_7}^{d_1} = \frac{E t_{d_1}}{r_{d_1}} \left[\frac{1}{2 c_{f_{d_1}} \mu_{d_1}^3 \sin^2 \varphi''_0 \cos 2\varphi''_0} \right] \phi_8$$

$$N_{\theta_8}^{d_1} = \frac{E t_{d_1}}{r_{d_1}} \left[\frac{1}{2 c_{f_{d_1}} \mu_{d_1}^2 \sin^2 \varphi''_0} \right] (\phi_8 + \psi_8)$$

$$M_{z_0}^{d_1} = \frac{A_s \cos \varphi''_0}{\mu_{d_1} \cos 2\varphi''_0} \psi_8$$

$$M_{z_7}^{d_1} = - \frac{1}{\mu_{d_1} \cos 2\varphi''_0} \psi_8$$

$$M_{z_8}^{d_1} = \phi_8 - \psi_8$$

$$Q_{z_0}^{d_1} = A_5 \frac{\sin \varphi'''_0 \cos \varphi'''_0}{\cos 2\varphi'''_0} (\phi_8 + \psi_8)$$

$$Q_{z_7}^{d_1} = -\sin \varphi'''_0 (\phi_8 + \psi_8) \times \frac{1}{\cos 2\varphi'''_0}$$

$$Q_{z_8}^{d_1} = -2 \mu_{d_1} \sin \varphi'''_0 \psi_8$$

$$\delta_{r_0}^{d_1} = B_5 + \frac{E t_{d_1}}{2 c_{f_{d_1}} \mu_{d_1}^3 \sin \varphi'''_0} \left(\frac{A_5 \cos \varphi'''_0}{\cos 2\varphi'''_0} \right) \phi_8$$

$$\delta_{r_7}^{d_1} = -\frac{E t_{d_1}}{2 c_{f_{d_1}} \mu_{d_1}^3 \sin \varphi'''_0 \cos 2\varphi'''_0} \phi_8$$

$$\delta_{r_8}^{d_1} = -\frac{E t_{d_1}}{2 c_{f_{d_1}} \mu_{d_1}^2 \sin \varphi'''_0} (\phi_8 + \psi_8)$$

$$\omega_{z_0}^{d_1} = F_5 - \frac{E t_{d_1}}{2 c_{f_{d_1}} \mu_{d_1}^2 \sin \varphi'''_0} \left(\frac{A_5 \cos \varphi'''_0}{\cos 2\varphi'''_0} \right) (\phi_8 - \psi_8)$$

$$\omega_{z_7}^{d_1} = \frac{E t_{d_1}}{2 c_{f_{d_1}} \mu_{d_1}^2 \sin \varphi'''_0 \cos 2\varphi'''_0} (\phi_8 - \psi_8)$$

$$\omega_{z_8}^{d_1} = \frac{E t_{d_1}}{c_{f_{d_1}} \mu_{d_1} \sin \varphi'''_0} \phi_8$$

2.2.7 Calcul des Forces d'Interaction

Compte tenu de la compatibilité des déformations aux liaisons supprimées, avec celles de la structure réelle, nous devons avoir une égalité des déplacements radiaux et des rotations dans le plan méridien, aux points A_1, A_2, A_3, A_4 . Et, pour que cela soit possible, il faudra que, les forces d'interactions, desquelles émanent ces déformations, vérifient les relations suivantes:

$$\left| \begin{array}{l} \delta_r^d(z_2) = \delta_r^a(z'=0) \\ \omega_z^d(z_2) = \omega_z^a(z'=0) \\ \delta_r^a(z_2) = \delta_r^c(z''=0) \\ \omega_z^a(z'_2) = \omega_z^c(z''=0) \\ \delta_r^c(z''_2) = \delta_r^{a_1}(z'''=0) \\ \omega_z^c(z''_2) = \omega_z^{a_1}(z'''=0) \\ \delta_r^{a_1}(z'''=z'''_1) = 0 \\ \omega_z^{a_1}(z'''=z'''_1) = 0 \\ \delta_r^{d_1}(z^{(iv)}=0) = 0 \\ \omega_z^{d_1}(z^{(iv)}=0) = 0 \end{array} \right.$$

Mais, avec l'avertissement rapide des solutions d'effet de brefure, (H_3, M_3) et (H_2, M_2) n'influent pratiquement pas sur (respectivement) les rebords supérieur et inférieur du cylindre.

Thus, le système ci-dessus, se traduira par :

$$\left[\delta_{r_1}^d(z=z_1) - \delta_{r_1}^q(z'=0) \right] H_1 + \left[\delta_{r_2}^d(z=z_1) - \delta_{r_2}^q(z'=0) \right] M_1 - \\ \delta_{r_3}^q(z'=0) H_2 - \delta_{r_4}^q(z'=0) M_2 = \delta_{r_0}^q(z'=0) - \delta_{r_0}^d(z=z_1)$$

$$\left[w_{z_1}^d(z=z_1) - w_{z_1}^q(z'=0) \right] H_1 + \left[w_{z_2}^d(z=z_1) - w_{z_2}^q(z'=0) \right] M_1 - \\ w_{z_3}^q(z'=0) H_2 - w_{z_4}^q(z'=0) M_2 = w_{z_0}^q(z'=0) - w_{z_0}^d(z=z_1)$$

$$-\delta_{r_1}^q(z'=z'_1) H_1 - \delta_{r_2}^q(z'=z'_1) M_1 + \left[\delta_{r_3}^c(z''=0) - \delta_{r_3}^q(z'=z'_1) \right] H_2 \\ + \left[\delta_{r_4}^c(z''=0) - \delta_{r_4}^q(z'=z'_1) \right] M_2 = \delta_{r_0}^q(z'=z'_1) - \delta_{r_0}^c(z''=0)$$

$$-w_{z_1}^q(z'=z'_1) H_1 - w_{z_2}^q(z'=z'_1) M_1 + \left[w_{z_3}^c(z''=0) - w_{z_3}^q(z'=z'_1) \right] H_2 \\ + \left[w_{z_4}^c(z''=0) - w_{z_4}^q(z'=z'_1) \right] M_2 = w_{z_0}^q(z'=z'_1) - w_{z_0}^c(z''=0)$$

$$\left[\delta_{r_5}^{q_1}(z'''=0) - \delta_{r_5}^c(z''=\hbar c) \right] H_3 + \left[\delta_{r_6}^{q_1}(z'''=0) - \delta_{r_6}^c(z''=\hbar c) \right] M_3 \\ + \delta_{r_7}^{q_1}(z'''=0) H'_4 + \delta_{r_8}^{q_1}(z'''=0) M'_4 = \delta_{r_0}^c(z''=\hbar c) - \delta_{r_0}^{q_1}(z'''=0)$$

$$\left[w_{z_5}^{q_1}(z'''=0) - w_{z_5}^c(z''=\hbar c) \right] H_3 + \left[\delta_{r_6}^{q_1}(z'''=0) - \delta_{r_6}^c(z''=\hbar c) \right] M_3 \\ + w_{z_7}^{q_1}(z'''=0) H'_4 + w_{z_8}^{q_1}(z'''=0) M'_4 = w_{z_0}^c(z''=\hbar c) - w_{z_0}^{q_1}(z'''=0)$$

$$\delta_{r_5}^{q_1} H_3 + \delta_{r_6}^{q_1} M_3 + \delta_{r_7}^{q_1} H'_4 + \delta_{r_8}^{q_1} M'_4 = -\delta_{r_0}^{q_1}$$

$$w_{z_5}^{q_1} H_3 + w_{z_6}^{q_1} M_3 + w_{z_7}^{q_1} H'_4 + w_{z_8}^{q_1} M'_4 = -w_{z_0}^{q_1}$$

$$\delta_{r_7}^{d_1}(z^{(iv)}=0) H''_4 + \delta_{r_8}^{d_1} M''_4 = -\delta_{r_0}^{d_1}$$

$$w_{z_7}^{d_1}(z^{(iv)}=0) H''_4 + w_{z_8}^{d_1}(z^{(iv)}=0) M''_4 = -w_{z_0}^{d_1}$$

Ce qui pourrait se résumer sous la forme suivante :

$$[FL] \times [B_1] = [FO]$$

$$[AMR] \times [B_2] = [RO]$$

$$[MI] \times [B_3] = [RO_1]$$

- $[FL]$, $[AMR]$, $[MI]$ sont des matrices de flexibilité telles que :

$$FL(1,1) = \delta_{r_1}^d(z_1) - \delta_{r_1}^a(z'_1 = 0)$$

$$FL(1,2) = \delta_{r_2}^d(z_2) - \delta_{r_2}^a(z'_2 = 0)$$

$$FL(1,3) = -\delta_{r_3}^a(z'_3 = 0)$$

$$FL(1,4) = -\delta_{r_4}^a(z'_4 = 0)$$

$$FL(2,1) = w_{z_1}^d(z_1) - w_{z_1}^a(z'_1 = 0)$$

$$FL(2,2) = w_{z_2}^d(z_2) - w_{z_2}^a(z'_2 = 0)$$

$$FL(2,3) = -w_{z_3}^d(z'_3 = 0)$$

$$FL(2,4) = -w_{z_4}^a(z'_4 = 0)$$

$$FL(3,1) = -\delta_{r_1}^a(z'_1 = 0)$$

$$FL(3,2) = -\delta_{r_2}^a(z'_2 = 0)$$

$$FL(3,3) = \delta_{r_3}^c(z'' = 0) - \delta_{r_3}^a(z'_2 = 0)$$

$$FL(3,4) = \delta_{r_4}^c(z'' = 0) - \delta_{r_4}^a(z'_4 = 0)$$

$$FL(4,1) = -w_{z_1}^a(z'_1 = 0)$$

$$FL(4,2) = -w_{z_2}^a(z'_2 = 0)$$

$$FL(4,3) = w_{z_3}^c(z'' = 0) - w_{z_3}^a(z'_2 = 0)$$

$$FL(4,4) = w_{z_4}^c(z'' = 0) - w_{z_4}^a(z'_4 = 0)$$

$$AMR(1,1) = \delta_{r_5}^{a_1}(z''' = 0) - \delta_{r_5}^{a_1}(z'' = z''_1)$$

$$AMR(1,2) = \delta_{r_6}^{a_1}(z''' = 0) - \delta_{r_6}^{a_1}(z''_1)$$

$$AMR(1,3) = \delta_{r_7}^{a_1}(z''' = 0)$$

$$\begin{aligned}
 \text{AMR}(1,1) &= \delta_{r_8}^{q_1} (z''' = 0) \\
 \text{AMR}(2,1) &= w_{z_5}^{q_1} (z''' = 0) - w_{z_5}^c (z''_1) \\
 \text{AMR}(2,2) &= w_{z_6}^{q_1} (z''' = 0) - w_{z_6}^c (z''_1) \\
 \text{AMR}(2,3) &= w_{z_7}^{q_1} (z''' = 0) \\
 \text{AMR}(2,4) &= w_{z_8}^{q_1} (z''' = 0) \\
 \text{AMR}(3,1) &= \delta_{r_5}^{q_1} (z''_1) \\
 \text{AMR}(3,2) &= \delta_{r_6}^{q_1} (z''_1) \\
 \text{AMR}(3,4) &= \delta_{r_7}^{q_1} (z''_1) \\
 \text{AMR}(4,1) &= w_{z_5}^{q_1} (z''_1) \\
 \text{AMR}(4,2) &= w_{z_6}^{q_1} (z''_1) \\
 \text{AMR}(4,3) &= w_{z_7}^{q_1} (z''_1) \\
 \text{AMR}(4,4) &= w_{z_8}^{q_1} (z''_1)
 \end{aligned}$$

$$\begin{aligned}
 \text{MI}(1,1) &= \delta_{r_7}^{d_1} (z^{(iv)} = 0) \\
 \text{MI}(1,2) &= \delta_{r_8}^{d_1} (z^{(iv)} = 0) \\
 \text{MI}(2,1) &= w_{z_7}^{d_1} (z^{(iv)} = 0) \\
 \text{MI}(2,2) &= w_{z_8}^{d_1} (z^{(iv)} = 0)
 \end{aligned}$$

• Les matrices $[B_i]$ représentent les incônes

$$\begin{aligned}
 B_1(1) &= H_1 \\
 B_1(2) &= M_1 \\
 B_1(3) &= H_2 \\
 B_1(4) &= M_2
 \end{aligned}$$

$$\begin{aligned}
 B_2(1) &= H_3 \\
 B_2(2) &= M_3 \\
 B_2(3) &= H'_4 \\
 B_2(4) &= M'_4
 \end{aligned}$$

$$\begin{aligned}
 B_3(1) &= H''_4 \\
 B_3(2) &= M''_4
 \end{aligned}
 \quad ; \quad \underline{\text{avec}} \quad
 \begin{aligned}
 H'_4 + H''_4 &= H_4 \\
 M'_4 + M''_4 &= M_4
 \end{aligned}$$

- Quant aux matrices $[F_0]$, $[R_0]$, $[RD_1]$, elles correspondent aux vecteurs-charges dont les éléments sont :

$$\begin{cases} F_0(1) = -\delta_{r_0}^d(z_1) + \delta_{r_0}^a(z'_1=0) \\ F_0(2) = w_{z_0}^a(z'_1=0) - w_{z_0}^d(z_1) \\ F_0(3) = \delta_{r_0}^a(z'_1=z''_1) - \delta_{r_0}^c(z''_1=0) \\ F_0(4) = \frac{1}{2} w_{z_0}^a(z'_1=z''_1) - w(z''_1=0) \end{cases}$$

$$\begin{cases} RD(1) = \delta_{r_0}^a(z''_1=hc) - \delta_{r_0}^{a_1}(z'''_1=0) \\ RD(2) = w_{z_0}^c(z''_1=hc) - w_{z_0}^{a_1}(z'''_1=0) \\ RD(3) = -\delta_{r_0}^{a_1}(z'''_1=z'''_2) \\ RD(4) = -w_{z_0}^{a_1}(z'''_1=z'''_2) \end{cases}$$

CHAPITRE 3

Programme
(description)

3.1 Fonctionnement du Programme

Le programme, procède, à partir des données générales, au calcul des forces d'interaction, à partir desquelles, la détermination des contraintes et déplacements, pour chacune des parties, est rendue possible.

Cependant, le principe de fonctionnement est illustré, d'une manière plus détaillée, dans l'organigramme présent en Annexe I.

3.2 Fonctions des sous routines

Vu les différents systèmes établis pour symboliser l'état des contraintes, nous nous apercevons qu'il est possible de résumer celui-ci, pour les différents éléments de la structure.

Finsi, si nous appelons par :

- $[F]$, $[F_A]$, $[F_C]$, $[F_{AI}]$, $[F_{AT}]$, les contraintes, les moments ou les déplacements
- $[V]$, $[V_A]$, $[V_C]$, $[V_{AI}]$, $[V_{AT}]$, les vecteurs charges
- $[JM]$, $[AM]$, $[CM]$, $[AMI]$, $[JMI]$, les vecteurs renfermant les coefficients correspondant aux éléments d'interaction, nous aurons pour :

le doux supérieur

$$F(I) = V(I) + JM(I, 1) H_1 + JM(I, 2) M_1$$

L'anneau

$$FA(I) = VA(I) + AM(I,1) H_1 + AM(I,2) M_2 + AM(I,3) H_2 \\ + AM(I,4) M_3$$

le cylindre

$$FC(I) = VC(I) + CM(I,1) H_2 + CM(I,2) M_2 + CM(I,3) H_3 \\ + CM(I,4) M_3$$

La Calotte sphérique Inferieure

$$FAI(I) = VAI(I) + AMI(I,1) H_3 + AMI(I,2) M_3 + \\ AMI(I,3) H_4 + AMI(I,4) M_4$$

la Dôme sphérique inférieur

$$FDI(I) = VDI(I) + DMI(I,1) H_4 + DM(I,2) M_4$$

à partie de ces différentes considérations :

- les vecteurs charges seront obtenus à l'aide des sous routines Vchad, Vchaa, Vchac, Vchaai, Vchadi.
- $[DM]$, $[AM]$, $[CM]$, $[AMI]$, $[DMI]$, sont déterminés à partir de Matd, Mata, Matc, Matai, Matdi.
- Quant aux autres, nous avons :
 - Flex et bac qui servent à l'établissement de $[FL]$ et $[AMR]$, nécessaires à la confection de la matrice de rigidité générale.
 - Cfd, CRD calculent $[F_0]$ et $[RD]$ qui entrent en ligne de compte pour $[Vfg]$
 - Resol, est un outil pour la résolution des systèmes d'équations - et est basé sur la théorie de GAUSS.

CHAPITRE 4

Design

4.1 Détermination du Moment de rupture

En nous référant à la thèse de Maîtrise de M^e. MOUSTAPHA NDIAYE, le moment de rupture nous est donné par la relation suivante :

$$M = \frac{b d_s^3}{33} f'_m + \sum_{i=1}^n n_i A_s y_i f_i$$

Cylindre

Supposons un endouage de 2 mm et assimilons la section à celle d'une poutre rectangulaire de largeur unitaire b. En adoptant des fils de 1 mm de diamètre pour les 3 couches de renforcement, nous avons :

$$c = b - d_s = 25 - 2 - 0,5 = 22,5 \text{ mm}$$

$$d_1 = 22,5 - 2 \cdot 0,5 = 21 \text{ mm}$$

$$d_2 = 12,5 - 0,5 = 12 \text{ mm}$$

$$d_3 = 2,5 \text{ mm}$$

$$\text{D'autre part, } \frac{E_{s1}}{(d_1 - c)} = \frac{0,006}{21} \Rightarrow E_{s1} = 0,002$$

$$\frac{E_{s2}}{y_2} = \frac{0,006}{c} = \frac{E_{s3}}{y_3}$$

$$\text{or } y_i = d_i - c, \text{ on a } y_3 = -2,5 \text{ mm}$$

$$y_2 = 12 \text{ mm}, y_3 = 14,62 \text{ mm}$$

$$\Rightarrow E_{s2} = 0,003, E_{s3} = 0,011$$

$$E_{si} > 0,0016, f_{si} = 240 + 15660 E_{si}$$

$$f_{s1} = -271 \text{ MPa}$$

$$f_{s2} = 287 \text{ MPa}$$

$$f_{s3} = 412 \text{ MPa}$$

d'où

$$M = 2 \cdot 1 \cdot 10^2 \text{ kN.m} > 0,1 \times 0,028 = 2,5 \cdot 10^3 \text{ kN.m}$$

le moment est donc vérifié pour le cylindre ($f'_c = 35 \text{ MPa}$)

• Anneau

avec les mêmes considérations que précédemment,

$$c = 0,35(15 - 2 - 0,5) = 4,38 \text{ mm}$$

En prenant 2 couches de renforcement, on a :

$$d_1 = 4,38 - 2 - 0,5 = 1,88 \text{ mm}$$

$$d_2 = 15 - 2 - 0,5 = 12,5 \text{ mm}.$$

$$y_i = d_i - c \Rightarrow \underline{y_1 = -2,5 \text{ mm}} \quad \underline{y_2 = 8,12 \text{ mm}}$$

$$\frac{E_{s1}}{y_1} = \frac{E_{s2}}{y_2} = \frac{\epsilon_{s2}}{y_2} = \frac{0,506}{4,38} \quad \text{d'où}$$

$$\epsilon_{s1} = 0,003$$

$$\epsilon_{s2} = 0,011$$

$$\underline{f_{s1} = -287 \text{ MPa}}$$

$$\underline{f_{s2} = 412 \text{ MPa}}$$

$$f'_w = 35 \text{ MPa}, \quad M = 5 \cdot 10^3 \text{ kNm} > 0,38 \cdot 10^{-2} \times 0,015 = 1,4 \cdot 10^{-3}$$

• Dome supérieur

Comme pour l'anneau, $c = 0,35(10 - 2 - 0,5) = 2,62$

$$d_1 = 2,62 - 2,5 = 0,12 \text{ mm}$$

$$d_2 = 10 - 2 - 0,5 = 7,5 \text{ mm}$$

$$y_1 = -2,5 \text{ mm}$$

$$y_2 = 4,88 \text{ mm}$$

$$\epsilon_{s1} = 0,006$$

$$\epsilon_{s2} = 0,011$$

$$\underline{f_{s1} = 334 \text{ MPa}}$$

$$\underline{f_{s2} = 412 \text{ MPa}}$$

$$\text{d'où } M = 3 \cdot 10^3 \text{ kNm} > 0,87 \cdot 10^{-2} \times 0,92 = 9 \cdot 10^{-4}$$

4.2 Contraintes à la première fixation

d'après la publication de LOGAN et SHAH, datant de décembre 1973, la contrainte à la première fixation nous est donnée par :

$$f_{1st} = 11,032 S_{LT} + f_w$$

S_{LT} := surface spécifique = surface de contact de l'armature longitudinale sur le volume du mortier.

$$f_w = 0,5 \sqrt{f_c} \quad f'_c = 36 \text{ MPa}$$

- Boîte supérieure

$$S_{LT} = 0,3 \text{ mm/mm}^2, \quad f_{1st} = 6268 \text{ kN/m}^2 \times 0,03 = 62,8 \text{ kN/mm}$$

ce qui est supérieur à 27 kN/mm

- Auneau

$$S_{LT} = 0,2, \quad f_{1st} = 5160 \text{ kN/m}^2$$

$$5160 \times 0,015 = 77,5 \text{ kN/mm} > 46 \text{ kN/mm}$$

- Cylindre

$$S_{LT} = 0,12, \quad f_{1st} = 4280 \text{ kN/m}^2$$

$$4280 \times 0,025 = 107 \text{ kN/mm}$$

mais, le nombre de couches étant de 3, on a :

$$321 = 3 \times 107 \text{ kN/mm} > 164 \text{ kN/mm}$$

Il ressort de ces résultats que nous sommes loin de la contrainte de fixation.

CHAPITRE 5

Conclusion et Recommandations

5.1 CONCLUSION

au regard des faibles épaisseurs trouvées pour les parties supérieures du réservoir, et en raison des propriétés mécaniques du Ferrociment, il est possible d'avancer, bien que le projet soit inchangé, que ce matériau peut trouver toute la place qui lui est requise, dans un pays comme le nôtre.

Cela est d'autant plus justifié qu'il s'adapte à de multiples types de constructions, demeure très compétitif par rapport à l'acier importé, et reste plus durable que le bois.

5.2 DISCUSSION et RECOMMANDATIONS

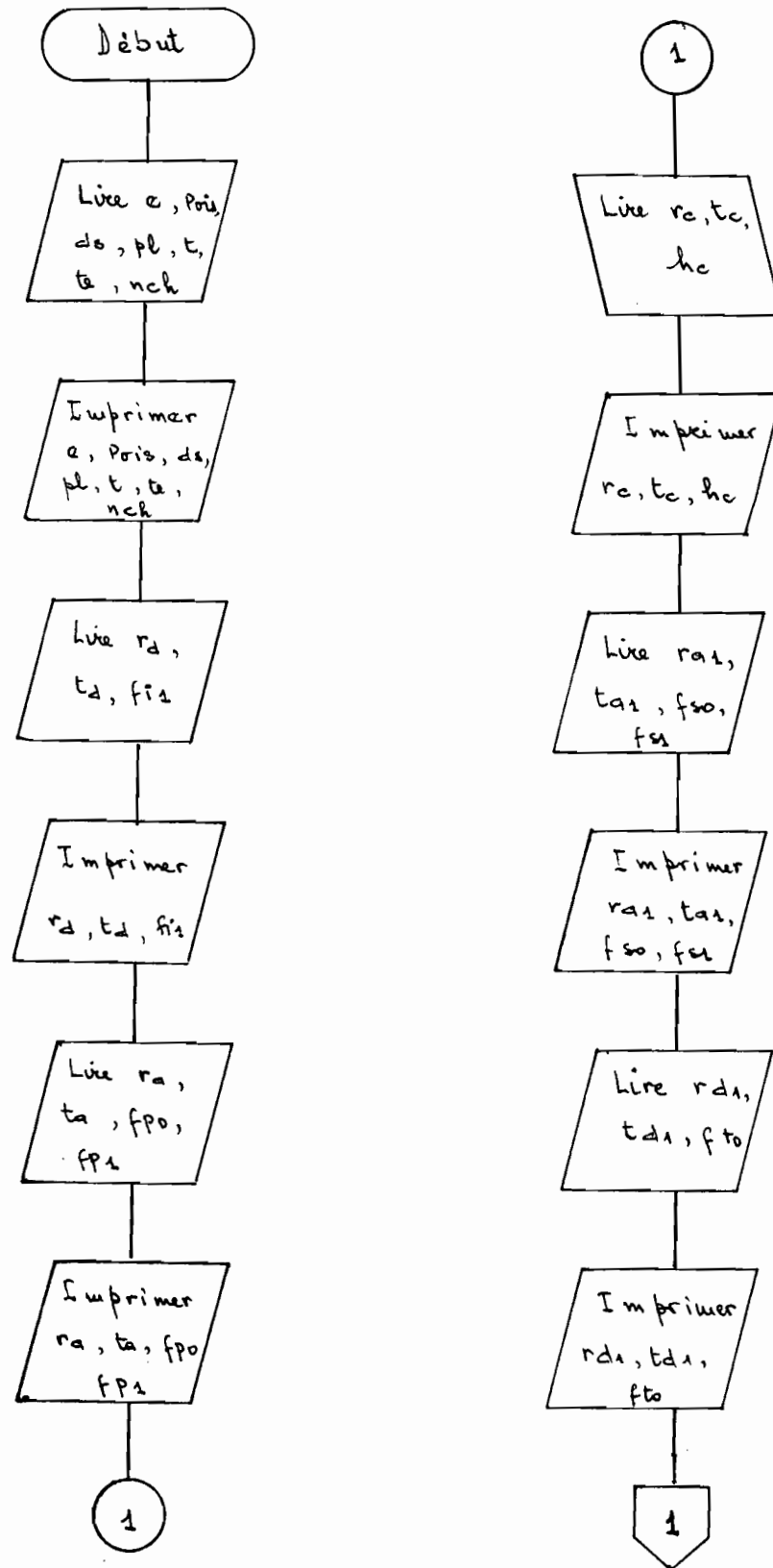
Par rapport aux résultats, les valeurs peu communes, trouvées pour les parties inférieures, émaneraient des considérations faites au niveau de l'analyse où, nous avons supposé que le chargement des deux inférieurs, était assuré par la réaction du sol.

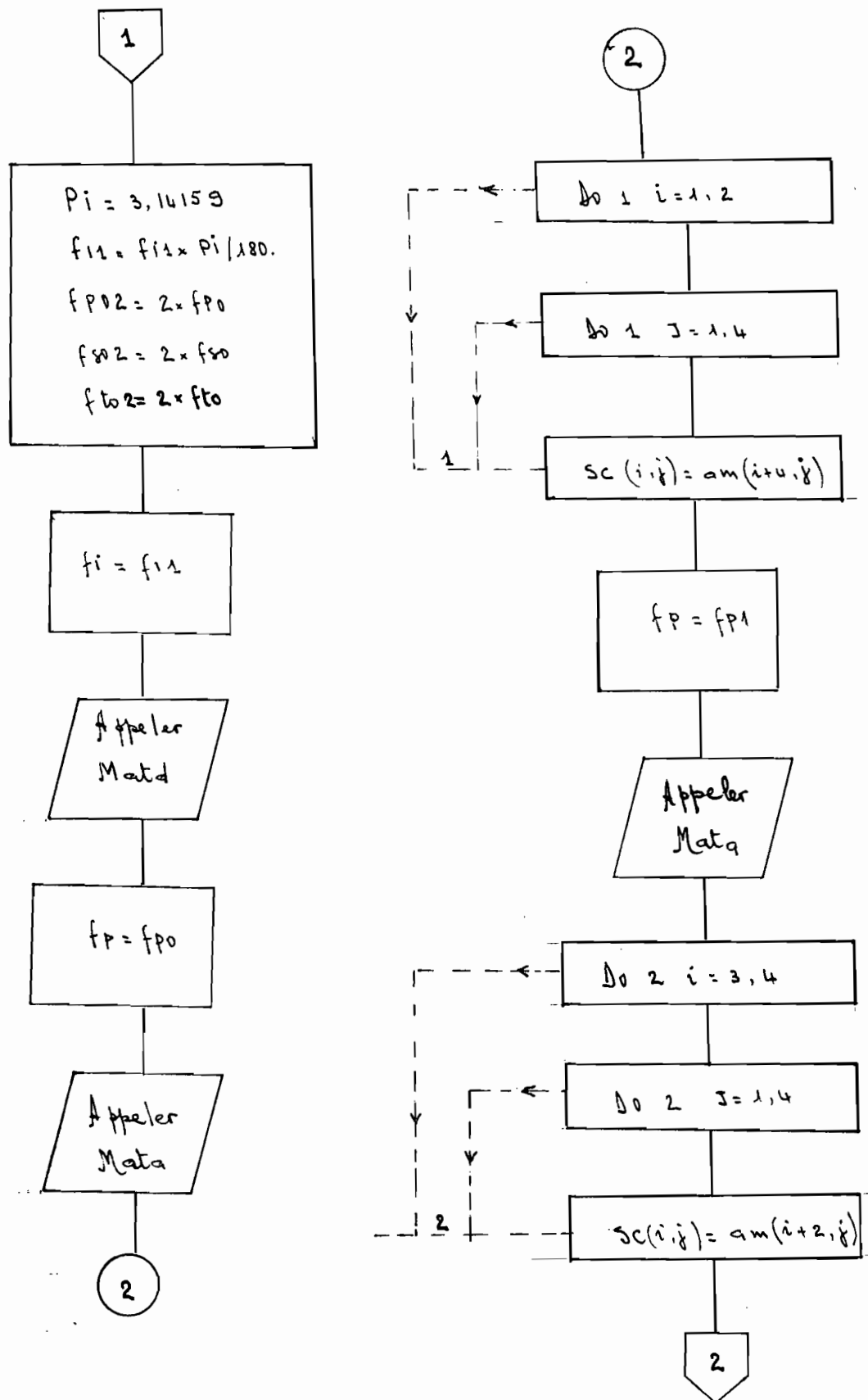
Et compte tenu des contraintes de temps qui n'ont pas nous permis de percevoir les problèmes posés, il serait souhaitable de relancer le présent projet, en mettant l'accent sur les principaux points suivants:

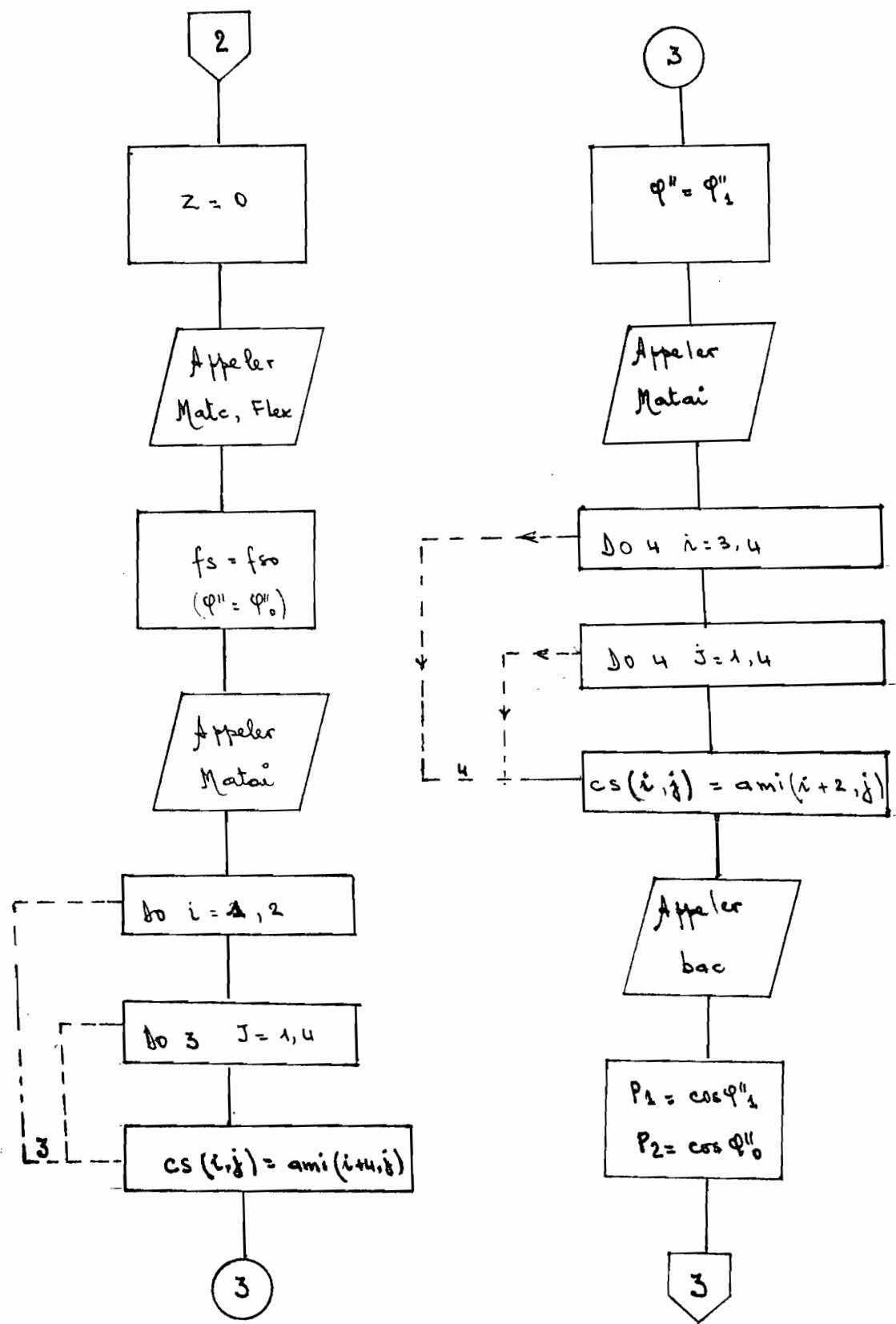
- Etude du réservoir, en tenant compte de toutes les conditions d'exploitation.
- Reconsidération de l'analyse de la calotte et du deux inférieurs

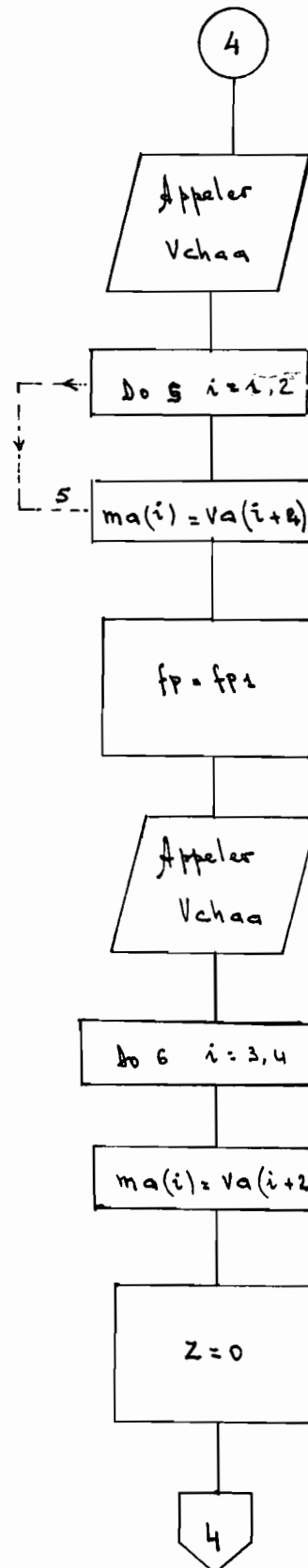
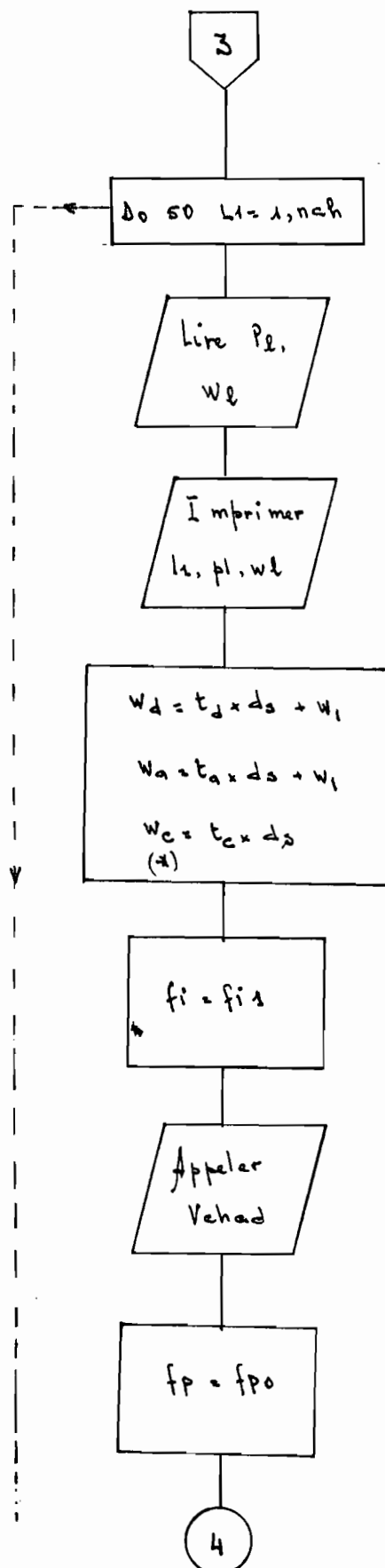
- Évaluation comparative, pour situer de façon plus précise, le Ferrociment par rapport au béton et à l'acier.
Toutefois, il serait important de définir, dans cette partie, la capacité maximale au-delà de laquelle, notre matériau cesserait d'être rentable pour les réservoirs.

APPENDICE I : Organigramme

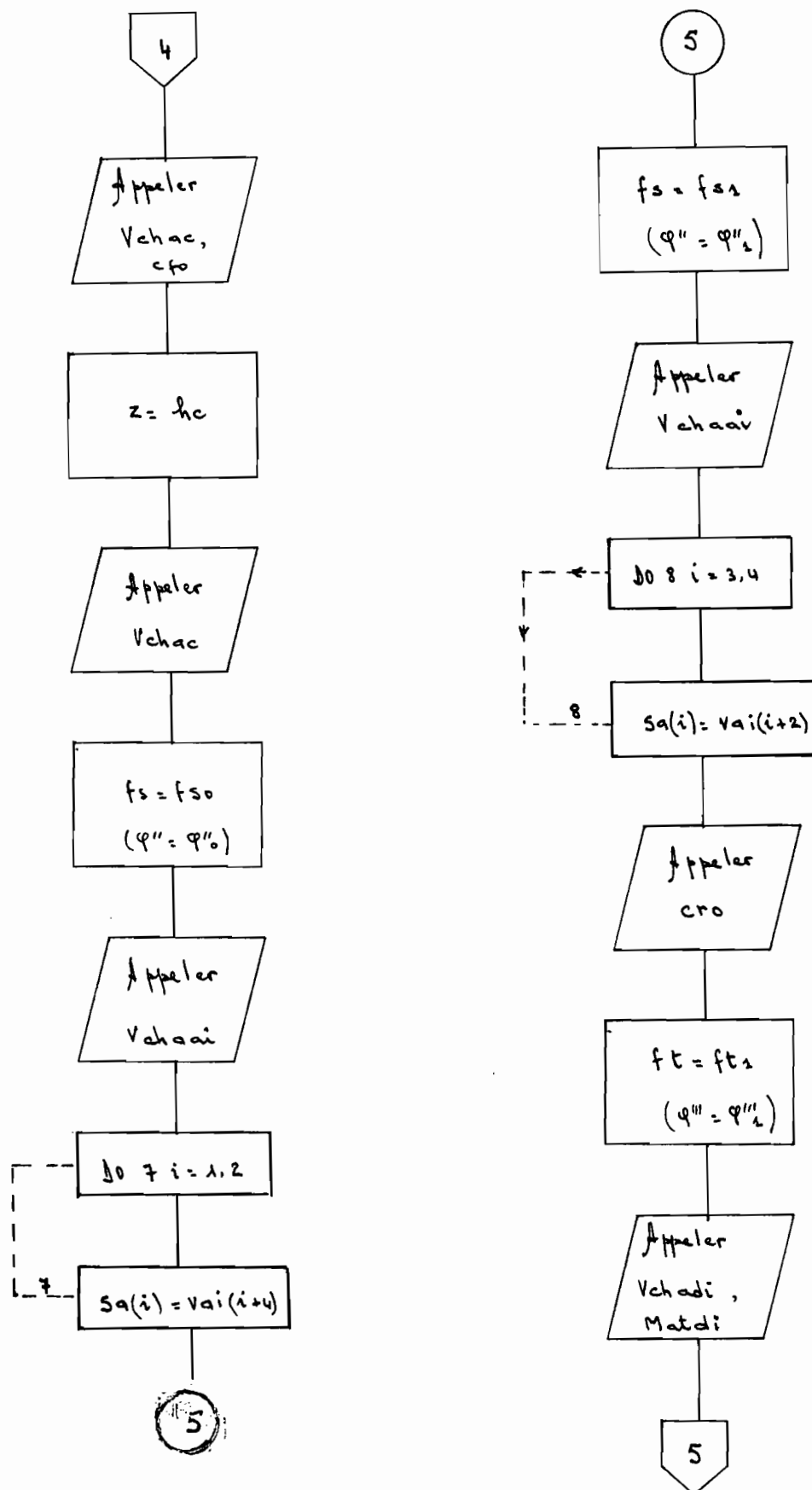


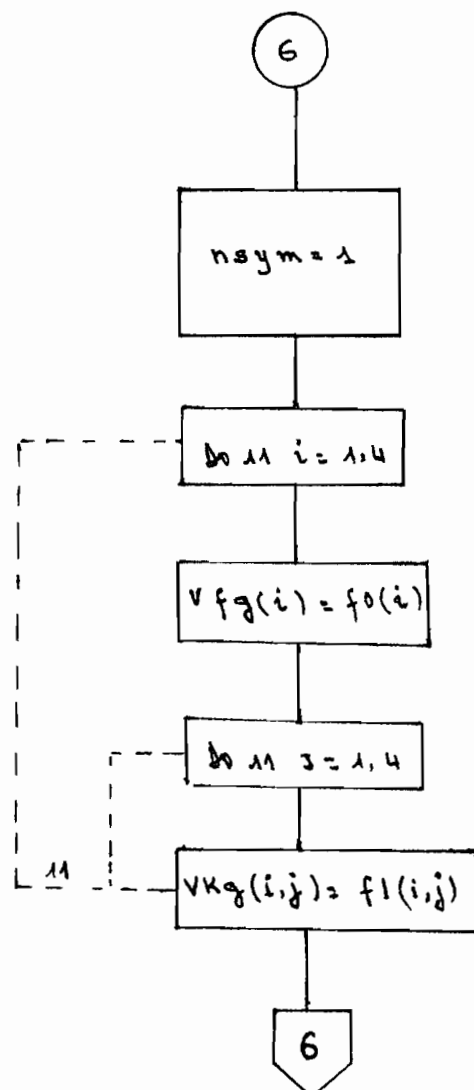
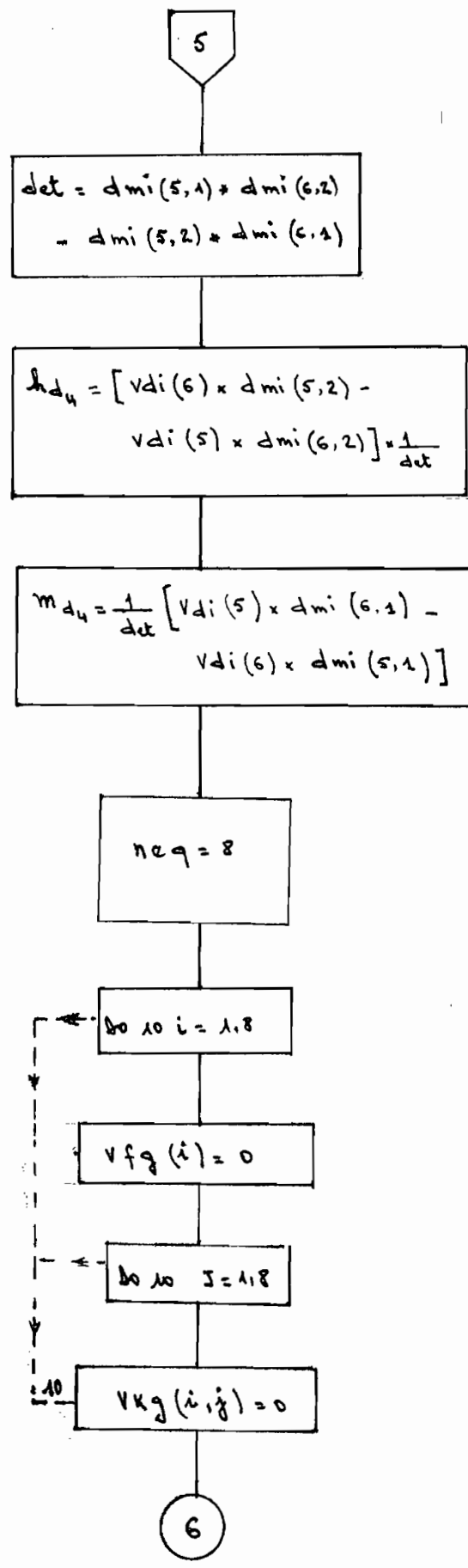


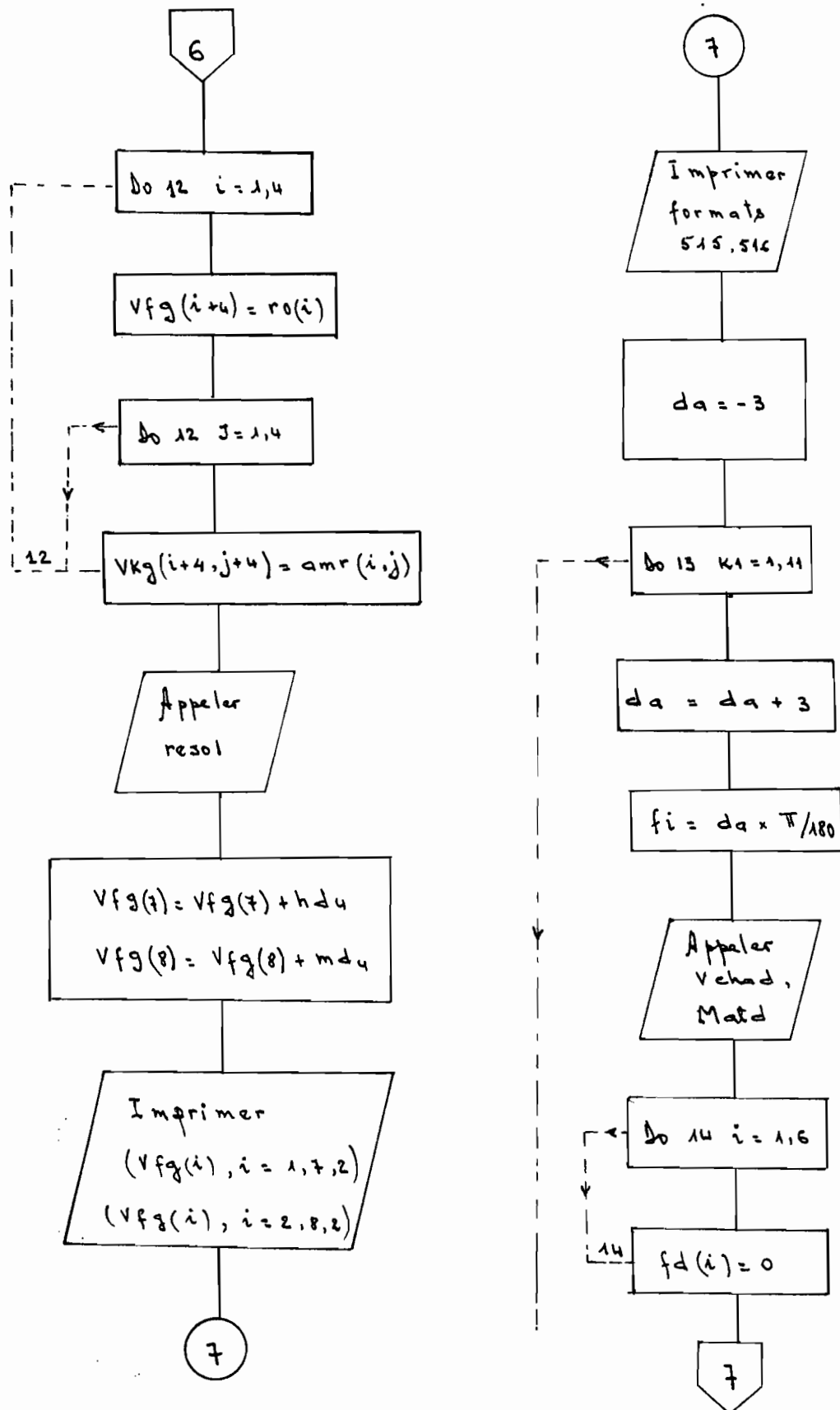


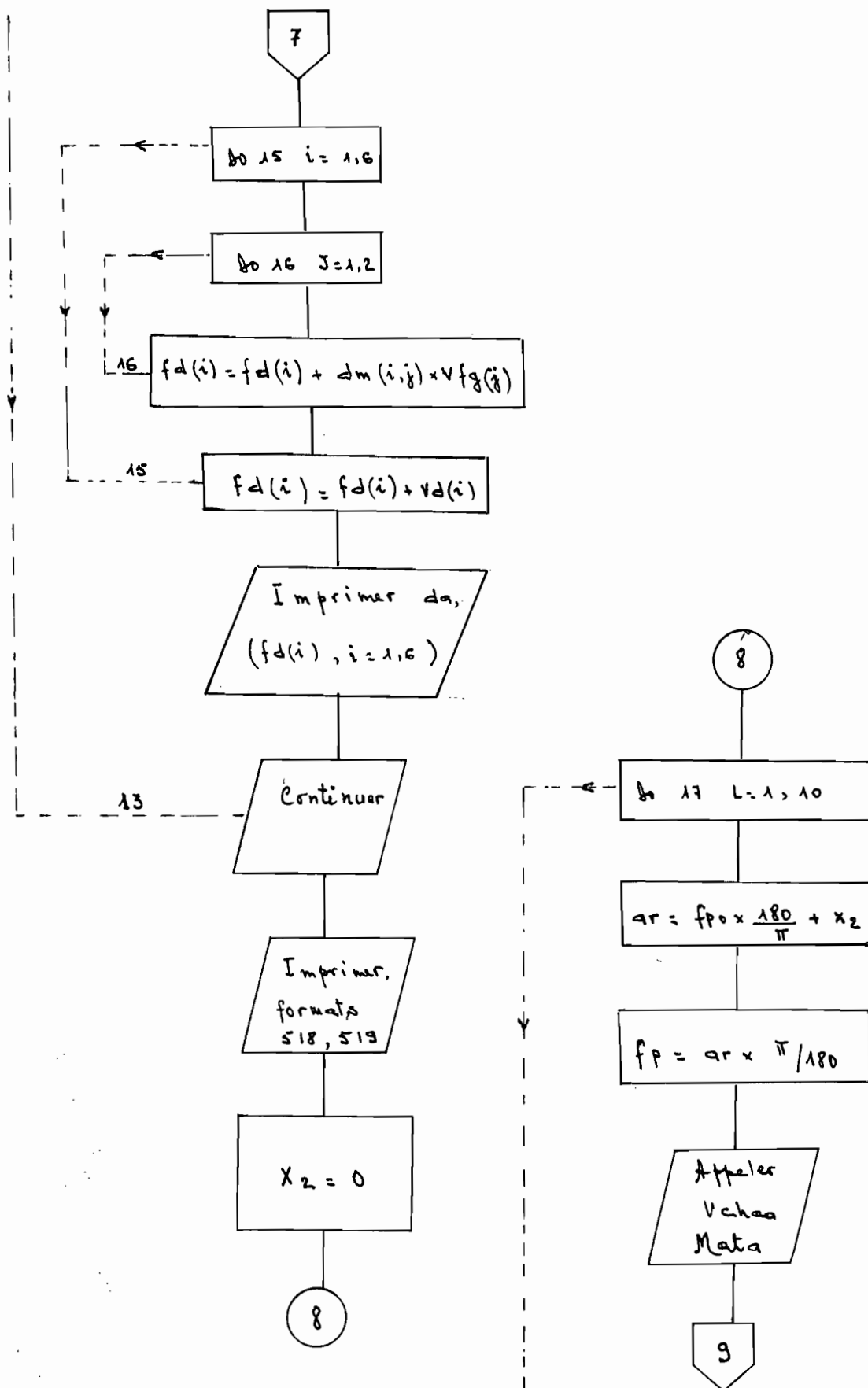


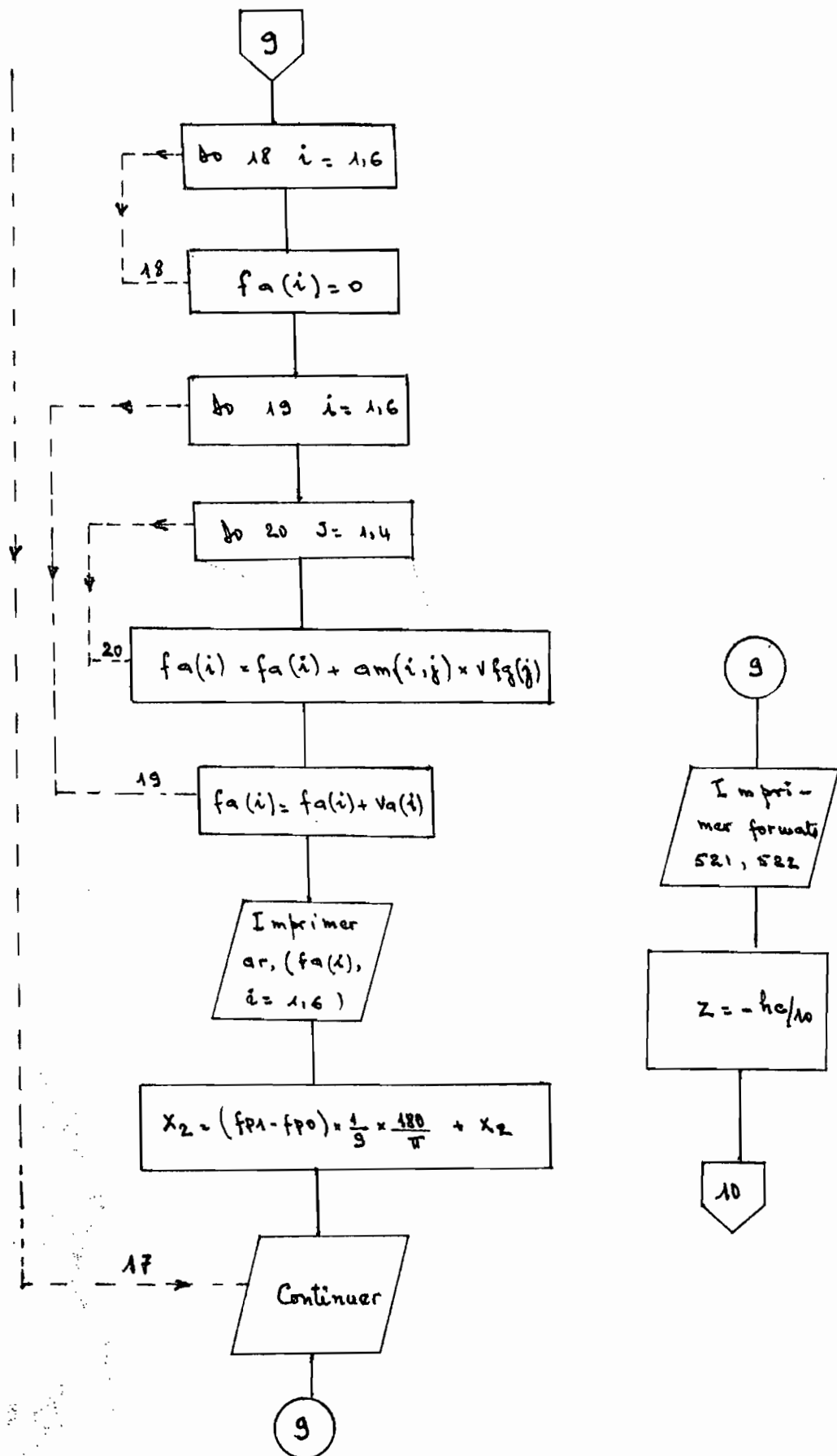
$$(4) \quad w_{d1} = t_{d1} T_m + [h_c - r_{d1} \cos \varphi'_1 \\ + r_{d1} (1 + \cos \varphi''_1)]$$

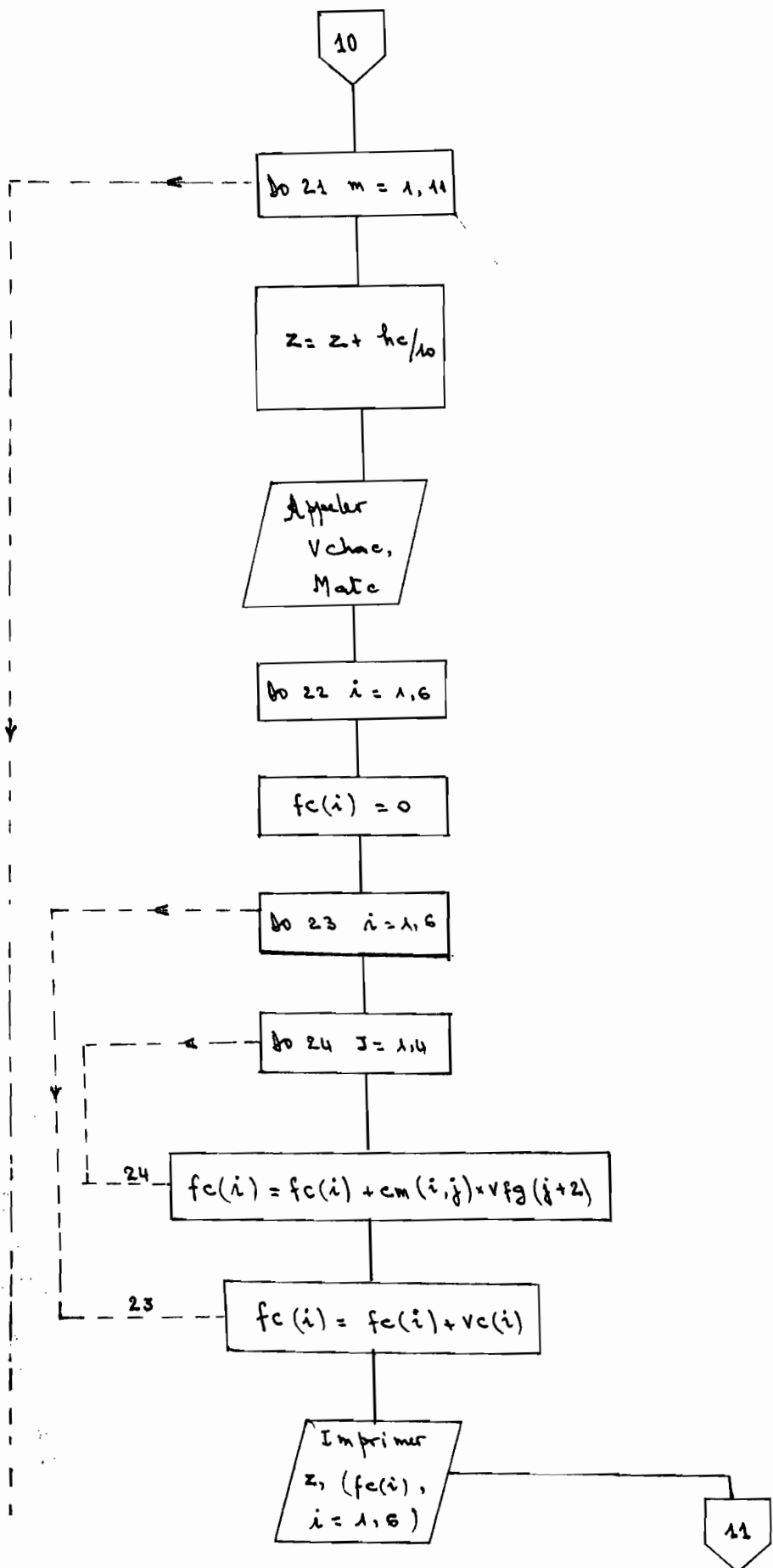


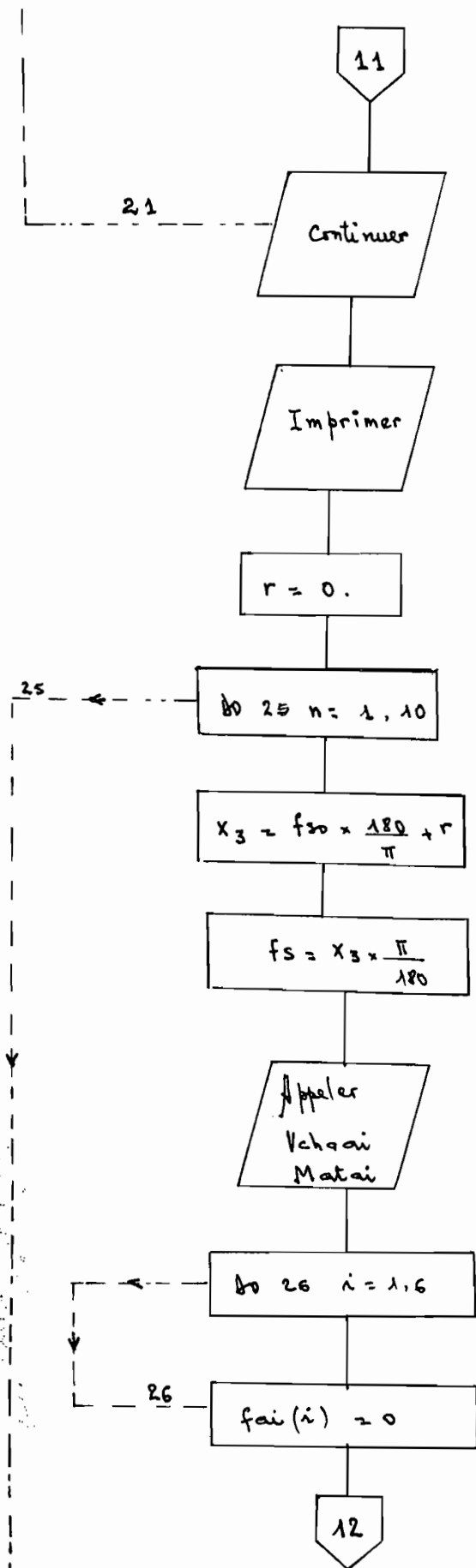


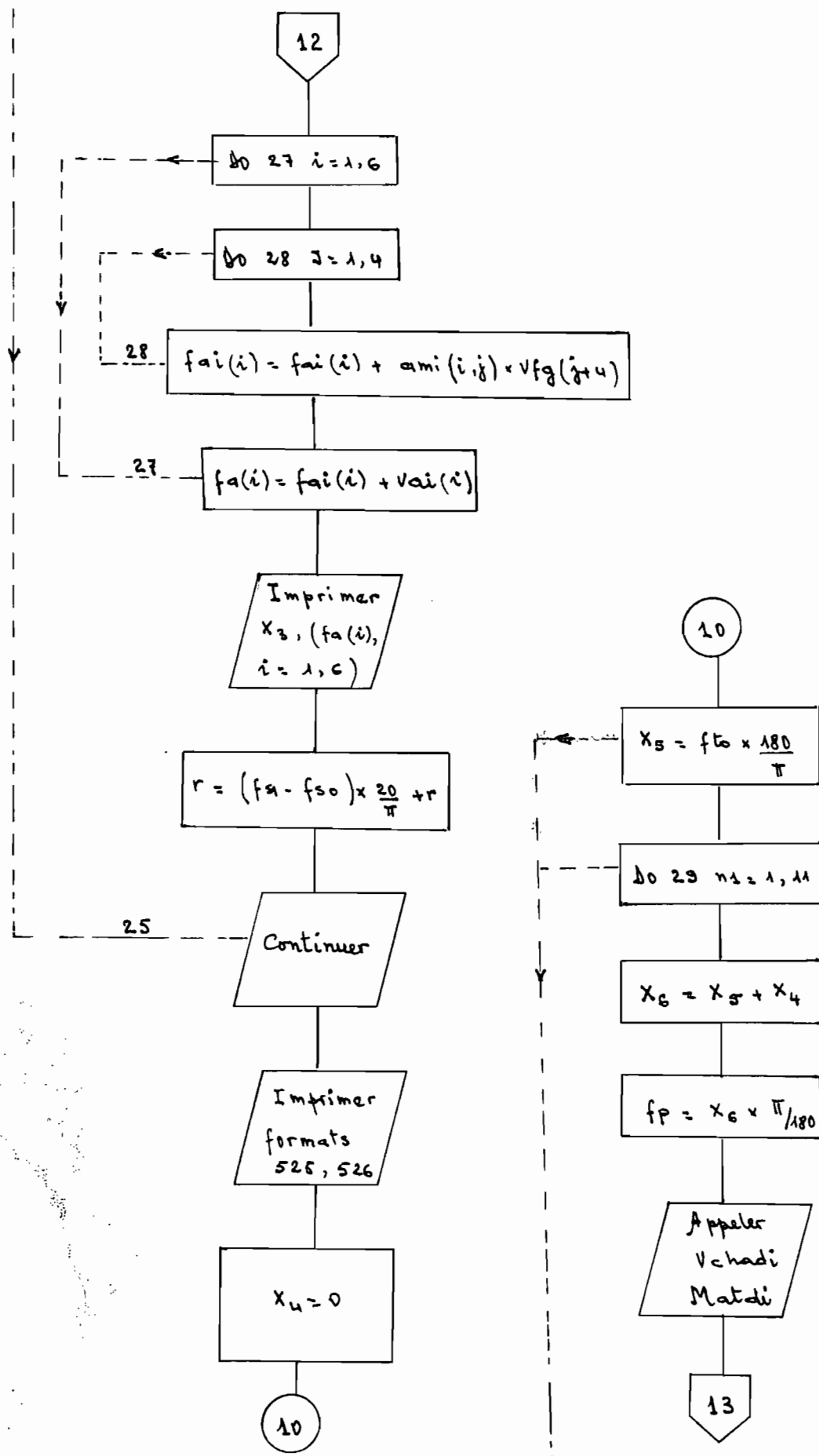


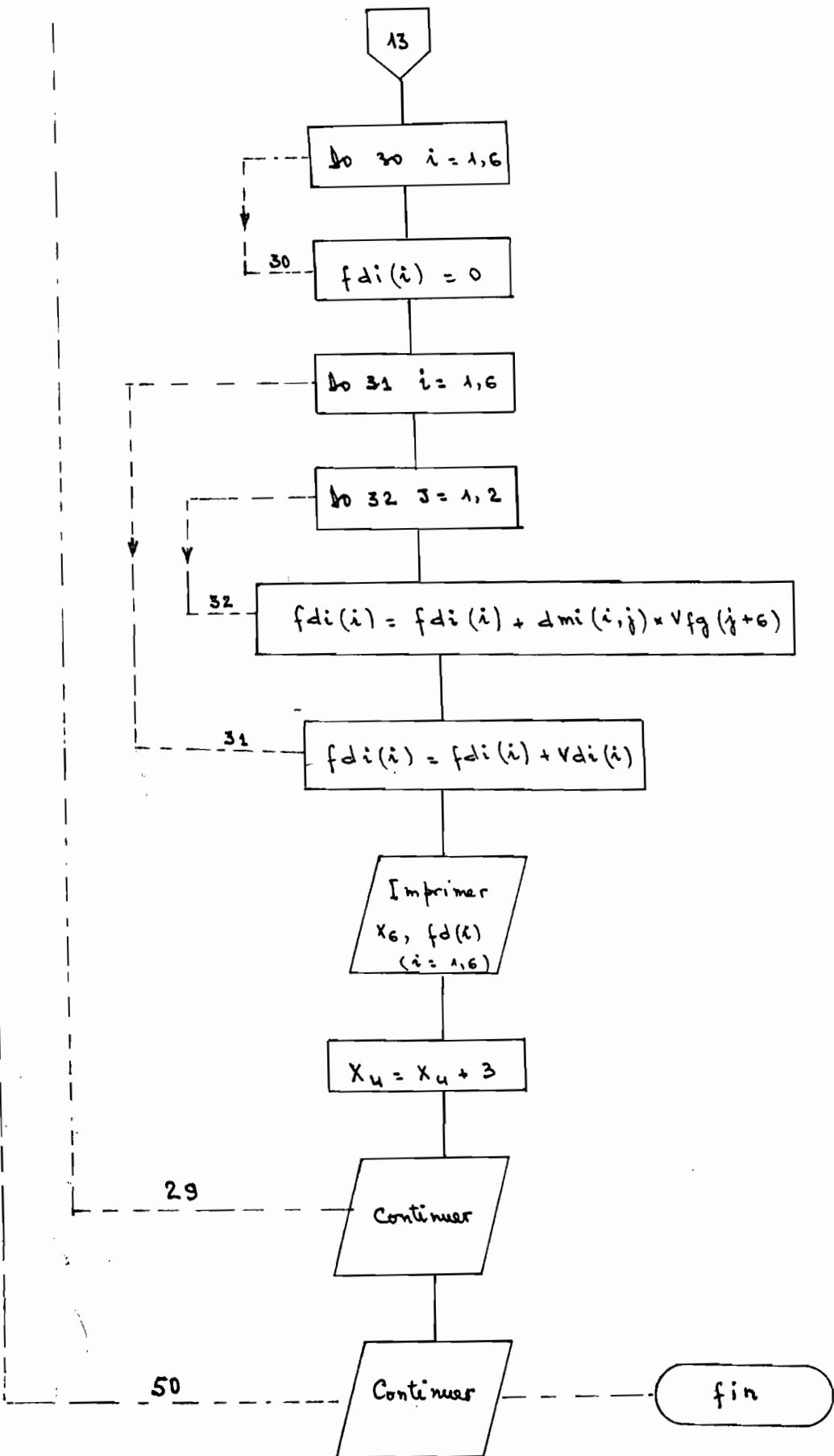












30 Mai 10:23 1985 mam.f Page 1

c ---APPENDICE 2---

c -----PROGRAMME MAMK-----

c ce programme effectue le calcul structural d'un reservoir
c par la theorie des coques et plaques, l'edit reservoir etant
c compose : -d'un dome spherique superieur
c -d'un anneau spherique
c -d'un cylindre
c -d'une calotte spherique inferieure
c -d'un dome spherique inferieur

c -----DEFINITION DES PARAMETRES-----

c E : module d'elasticite
c Pois : coefficient de Poisson
c DS : poids specifique du mortier
c PL : poids specifique du liquide
c T : variation de la temperature
c TE : coefficient de dilatation thermique
c NCH : nombre de cas de chargement
c RD : rayon du dome
c TD : epaisseur du dome
c FI1 : angle d'inclinaison max. du dome
c RA : rayon de l'anneau
c TA : epaisseur de l'anneau
c FPO : angle d'inclinaison min. de l'anneau
c FP1 : angle d'inclinaison max de l'anneau
c RC : rayon du cylindre
c TC : epaisseur du cylindre
c HC : hauteur du cylindre
c RA1 : rayon de la calotte spherique inferieure
c TA1 : epaisseur de la cal. sph. inf.
c FSO : angle d'inclinaison min. de la cal. sph.
c FS1 : angle d'inclinaison max. de la cal. sph.
c RD1 : rayon du dome inferieur
c TD1 : epaisseur du dome inferieur
c FTO : angle d'inclinaison min.

c -----PROCEDURE UTILISEE DANS LE PROGRAMME-----

c apres la lecture et la determination des differents parametres
c geometriques , on procede comme suit:
c -calcul des matrices de flexibilite FL et AMR
c -calcul de hd4 et de md4
c -determination des forces d'interaction H1,M1,H2,M2,H3,M3,H4,M4
c -pour chaque element de structure, on calcule les coefficients
c d'influence suivant differents niveaux pour connaitre les ef-
c forts internes et les deplacements correspondants
c -ces dernieres valeurs vont nous permettre de verifier le choix
c de la variante du materiau

```
c
c-----RESERVE D'ESPACE ET PRECISION-----
c
implicit real*8(a-h,o-z)
dimension vd(6),va(6),vc(6),vai(6),vdi(6),dm(6,2),am(6,4),
1cm(6,4),ami(6,4),dmi(6,2),f1(4,4),sc(4,4),amr(4,4),cs(4,4),
2fo(4),ma(4),ro(4),sa(4),vkg(8,8),vfg(8),fd(6),fa(6),fc(6),
3fai(6),fdi(6)

c
c-----LECTURE DE DONNEES GENERALES-----
c
open(unit=5,file='donnees')
open(unit=6,file='resultats')
rewind(5)
rewind(6)
read *, e,pois,ds,pl,t,te,nch
print 502,e,pois,ds,pl,t,te,nch
c
c..... donnees sur le dome superieur.
c
read *, rd,td,fii
print 250
print 504,rd,td,fii
c
c..... donnees sur l'anneau.
c
read *, ra,ta,fpo,fpi
print 300
print 505,ra,ta,fpo,fpi
c
c..... donnees sur le cylindre.
c
read *, rc,tc,hc
print 350
print 506,rc,tc,hc
c
c..... donnees sur la calotte spherique inferieure.
c
read *, rai,tai,fso,fsi
print 400
print 505,rai,tai,fso,fsi
c
c..... donnees sur le dome inferieur.
c
read *, rdi,tdi,ftc
print 450
print 508,rdi,tdi,fto
c
```

30 Mai 10:23 1985 mam.f Page 3

```
c.....calculs necessaires.....
c
pi=3.14159
fi1=fi1*pi/180.
fpo2=2.*fpo
fso2=2.*fso
fto2=2.*fto
c
c-----CALCUL DES MATRICES DE FLEXIBILITE-----
c
fi=fi1
call matd(e,pois,rd,td,fi1,fi,dm)
fp=fpo
call mata(e,pois,ra,ta,fpo,fp1,fpo2,fp,am)
do 1 i=1,2
do 1 j=1,4
1 sc(i,j)=am(i+4,j)
fp=fp1
call mata(e,pois,ra,ta,fpo,fp1,fpo2,fp,am)
do 2 i=3,4
do 2 j=1,4
2 sc(i,j)=am(i+2,j)
z=0.
call matc(e,pois,rc,tc,hc,z,cm)
call flex(dm,sc,cm,f1)
z=hc
call matc(e,pois,rc,tc,hc,z,cm)
fs=fso
call matai(e,pois,rai,tai,fso,fs1,fso2,fs,ami)
do 3 i=1,2
do 3 j=1,4
3 cs(i,j)=ami(i+4,j)
fs=fs1
call matai(e,pois,rai,tai,fso,fs1,fso2,fs,ami)
do 4 i=3,4
do 4 j=1,4
4 cs(i,j)=ami(i+2,j)
call bac(cm,cs,amr)
```

30 Mai 10:23 1985 mam.f Page 4

```

c
c -----INTRODUCTION DES CAS DE CHARGEMENT-----
p1=dcos(fs1)
p2=dcos(fto)
do 50 i1=1,nch
read *, p1,w1
print 509,i1,p1,w1
wd=td*ds+w1
wa=ta*ds+w1
wc=tc*ds
wai=ta*ds
wd1=td1*ds+(hc-ra1*p1+rd1*(1.+p2))*p1
c
c .....calcul des vecteurs de charge .....
c
fi=fil
call vchad(e,pois,t,te,rd,td,fil,wd,fi,vd)
fp=fpo
call vchaa(e,pois,t,te,rd,fil,ra,ta,fpo,fp1,fpo2,wd,wa,fp,va)
do 5 i=1,2
5 ma(i)=va(i+4)
fp=fp1
call vchaa(e,pois,t,te,rd,fil,ra,ta,fpo,fp1,fpo2,wd,wa,fp,va)
do 6 i=3,4
6 ma(i)=va(i+2)
z=0.
call vchac(e,pois,pl,t,te,rd,fil,ra,fpo,rc,tc,wd,wa,wc,z,vc)
call cfo(vd,ma,vc,fo)
z=hc
call vchac(e,pois,pl,t,te,rd,fil,ra,fpo,rc,tc,wd,wa,wc,z,vc)
fs=fso
call vchaaik(e,pois,pl,t,te,rd,fil,ra,fpo,fp1,hc,rai,tai,
1 fso,fs1,fso2,wd,wa,wc,fs,vai)
do 7 i=1,2
7 sa(i)=vai(i+4)
fs=fs1
call vchaaik(e,pois,pl,t,te,rd,fil,ra,fpo,fp1,hc,rai,tai,
1 fso,fs1,fso2,wd,wa,wc,fs,vai)
do 8 i=3,4
8 sa(i)=vai(i+2)
call cro(vc,sa,ro)
c

```

30 Mai 10:23 1985 mam.f Page 5

```

c.....determination de hd4 et md4.....
c
ft=ft1
call vchadi(e,pois,t,te,rd,fi1,ra,fpo,he,ra1,fso,fs1,
1      rd1,td1,fto,fto2,wd,wa,wc,wa1,wd1,ft,vdi)
call matdi(e,pois,rd1,td1,fto,fto2,ft,dmi)
det=dmi(5,1)*dmi(6,2)-dmi(5,2)*dmi(6,1)
hd4=(vdi(6)*dmi(5,2)-vdi(5)*dmi(6,2))/det
md4=(vdi(5)*dmi(6,1)-vdi(6)*dmi(5,1))/det
c
c.....resolution des equations 'FL*B=FO' et 'AMR*B=RO'
neq=8
do 10 i=1,8
vfg(i)=0.
do 10 j=1,8
10 vkg(i,j)=0.
nsym=1
do 11 i=1,4
vfg(i)=fo(i)
do 11 j=1,4
11 vkg(i,j)=fl(i,j)
do 12 i=1,4
vfg(i+4)=ro(i)
do 12 j=1,4
12 vkg(i+4,j+4)=amr(i,j)
call resol(nsym,neq,vkg,vfg)
hd4=0.
md4=0.
vfg(7)=vfg(7)+hd4
vfg(8)=vfg(8)+md4
print 511
print 512,(vfg(i),i=1,7,2)
print 513,(vfg(i),i=2,8,2)
c
c.....calcul des contraintes.....
c
c.....contraintes dans le dome.....
c
print 515
print 516
da=-3.
do 13 k=1,11
da=da+3.
fi=da*pi/180.
call vchad(e,pois,t,te,rd,td,fi1,wd,fi,vd)
call matd(e,pois,rd,td,fi1,fi,dm)
do 14 i=1,6
14 fd(i)=0.
do 15 i=1,6
do 16 j=1,2
16 fd(i)=fd(i)+dm(i,j)*vfg(j)
15 fd(i)=fd(i)+vd(i)
print 517,da,(fd(i),i=1,6)
13 continue

```

```
c
c.....contraintes dans l'anneau.....
c
print 518
print 519
x2=0.
do 17 i=1,10
ar=fpo*180./pi+x2
fp=ar*pi/180.
call vchaa(e,pois,t,te,rd,fil,ra,ta,fpo,fpi,fpo2,wd,wa,fp,va)
call mata(e,pois,ra,ta,fpo,fpi,fpo2,fp,am)
do 18 i=1,6
18 fa(i)=0.
do 19 i=1,6
do 20 j=1,4
20 fa(i)=fa(i)+am(i,j)*vfg(j)
19 fa(i)=fa(i)+va(i)
print 517,ar,(fa(i),i=1,6)
x2=(fpi-fpo)*20./pi+x2
17 continue
c
c.....contraintes dans le cylindre.....
c
print 521
print 522
z=-hc/10.
do 21 m=1,11
z=z+hc/10.
call vchac(e,pois,pl,t,te,rd,fil,ra,fpo,rc,tc,wd,wa,wc,z,vc)
call matc(e,pois,rc,tc,hc,z,cm)
do 22 i=1,6
22 fc(i)=0.
do 23 i=1,6
do 24 j=1,4
24 fc(i)=fc(i)+cm(i,j)*vfg(j+2)
23 fc(i)=fc(i)+vc(i)
print 517,z,(fc(i),i=1,6)
21 continue
```

30 Mai 10:23 1985 mam.f Page 7

```
c
c.....contraintes dans la calotte spherique inferieure.....
c
print 523
print 524
r=0.
do 25 n=1,10
x3=fso*180./pi+r
fs=x3*pi/180.
call vchaai(e,pois,pl,t,te,rd,f1,ra,fpo,fpi,hc,ra1,ta1,fso
1
,fs1,fso2,wd,wa,wc,fs,vai)
call matai(e,pois,ra1,ta1,fso,fs1,fso2,fs,ami)
do 26 i=1,6
26 fai(i)=0.
do 27 i=1,6
do 28 j=1,4
28 fai(i)=fai(i)+ami(i,j)*vfg(j+4)
27 fai(i)=fai(i)+vai(i)
print 517,x3,(fai(i),i=1,6)
r=(fs1-fso)*20./pi+r
25 continue
c
c.....contraintes dans le dome inferieur.....
c
print 525
print 526
x4=0.
x5=fto*180./pi
do 29 n1=1,11
x6=x5+x4
ft=x6*pi/180.
call vchadi(e,pois,t,te,rd,f1,ra,fso,hc,ra1,fso,fs1,rd1,td1,
1
ft,fto2,wd,wa,wc,wa1,wd1,ft,vdi)
call matdi(e,pois,rd1,td1,fto,fto2,ft,dmi)
do 30 i=1,6
30 fdi(i)=0.
do 31 i=1,6
do 32 j=1,2
32 fdi(i)=fdi(i)+dmi(i,j)*vfg(j+6)
31 fdi(i)=fdi(i)+vdi(i)
print 517,x6,(fdi(i),i=1,6)
x4=x4+3.
29 continue
50 continue
close (unit=5)
close(unit=6)
stop
```

c

c-----FORMATS DE SORTIE DES DONNEES ET DES VALEURS-----
c-----DE CONTRAINTES-----
c

```
250 format(' ',t20,'valeurs retenues pour le dome superieur',/,t17,
1           45('-'))
300 format(' ',t20,'valeurs retenues pour l''anneau',/,t17,36('-'))
350 format(' ',t20,'valeurs retenues pour le cylindre',/,t17,
1           39('-'))
400 format(' ',t20,'valeurs retenues pour la calotte sph. inf.',/,t17,
1           48('-'))
450 format(' ',t20,'valeurs retenues pour le dome inferieur',/,t17,
1           45('-'))
502 format(' ',t10,'module d''elasticite-----',f12.3,/,t10,
1           'coefficient de poisson-----',f10.3,/,t10,
2           'poids specifique du mortier-----',f10.3,/,t10,
3           'poids specifique de l''eau-----',f10.3,/,t10,
4           'variation de la temperature-----',f10.3,/,t10,
5           'coefficient de dilation thermique--',d10.3,/,t10,
6           'nombre de cas de chargement-----',i5,///)
504 format(///',t10,'rayon-----',t50,f10.3/
1           t10,'epaisseur-----',t50,f10.3/
2           ,t10,'angle d''inclinaison maximal---',t50,f10.2/
3           ,///)
505 format(///',t10,'rayon-----',t50,f10.3,
1           /,t10,'epaisseur-----',t50,f10.3,
2           /,t10,'angle d''inclinaison minimal-----',t50,f10.2
3           ,/,t10,'angle d''inclinaicon maximal-----',t50,f10.2
4           ,///)
506 format(///',t10,'rayon-----',t50,f10.3,
1           /,t10,'epaisseur-----',t50,f10.3,
2           /,t10,'hauteur-----',t50,f10.3,
3           //)
508 format(///',t10,'rayon-----',t50,f10.3,
1           /,t10,'epaisseur-----',t50,f10.3,
2           /,t10,'angle d''inclinaison minimal-----',t50,f10.2
3           ,///)
```

```
509 format('1',t10,'cas de chargement no.',i2,5x,'p1=',f7.3,
1           5x,'wl=',f6.3,/,t8,26(''),//)
511 format(' ',t10,'efforts exteriorises',/,t8,24(''),/)
512 format(' ',t10,'H1=',d14.4,5x,'H2=',d14.4,5x,'H3=',d14.4
1           ,5x,'H4=',d14.4)
513 format(' ',t10,'M1=',d14.4,5x,'M2=',d14.4,5x,'M3=',d14.4
1           ,5x,'M4=',d14.4)
515 format(/' ',t10,'contraintes dans le dome superieur',/,t8,
1           38(''),/)
516 format(' ',2x,'FI',10x,'NZ',14x,'NT',15x,'MZ',15x,'QZ',14x,'DR',
1           14x,'WZ',/)
517 format(' ',f5.1,4(1x,d15.4),2(1x,d15.4))
518 format(/' ',t10,'contraintes dans l''anneau',/,t8,29(''),/)
519 format(' ',2x,'FP',10x,'NZ',14x,'NT',15x,'MZ',15x,'QZ',14x,'DR',
1           14x,'WZ',/)
521 format(/' ',t10,'contraintes dans le cylindre',/,t8,32(''),/)
522 format(' ',3x,'Z',10x,'NZ',14x,'NT',15x,'MZ',15x,'QZ',14x,'DR',
1           14x,'WZ',/)
523 format(/' ',t10,'contraintes dans la calotte sph.inf.',/,t8,
1           41(''),/)
524 format(' ',2x,'FS',10x,'NZ',14x,'NT',15x,'MZ',15x,'QZ',14x,'DR',
1           14x,'WZ',/)
525 format(/' ',t10,'contraintes dans le dome inferieur',/,38(''),/)
526 format(' ',2x,'FS',10x,'NZ',14x,'NT',15x,'MZ',15x,'QZ',14x,'DR',
1           14x,'WZ',/)

c
    end
```

```

c
subroutine vchaa(e,pois,t,te,rd,fi1,ra,ta,fpo,fpi,
1                               fpo2,wd,wa,fp,va)
implicit real*8(a-h,o-z)
dimension va(6)
a1=dcos(fp)
a2=dsin(fp)
a3=dsin(fpo)
a4=dsin(fpi)
a5=a1*a2**2
a6=dcos(fpo)
a7=dcos(fpi)
cfa=e*ta**3/(12.d0*(1.d0-pois**2))
ua=(3.d0*(1.d0-pois**2)/((a4**4)*(ra*ta)**3))**.25
azo=ra*(a6-a1)
az1=ra*(a7-a1)
te2=dexp(-ua*azo)*dcos(ua*azo)
cf2=dexp(-ua*azo)*dsin(ua*azo)
te3=dexp(ua*az1)*dcos(ua*az1)
cf3=dexp(ua*az1)*dsin(ua*az1)
b1=dcos(fi1)
b2=dsin(fi1)
b3=rd*wd/(1.+b1)
b4=dcos(fpo2)
b5=1./(b4*a3**2)
tx=1./(a4**2)
ab1=-a6*(ra*wa/(1.+a6)+b3)
ab2=-a7*(ra*wa/(1.+a7)+b3*(a3/a4)**2)
b6=1./e/ta
ro=t*te
b8=1.d0/(2.d0*cfa*ua**3)
b9=1.d0/(1.d0+a1)
ax1=-(a2*b9**2*ra*wa-2.*a3**2*b3*a1/a2**3)
ax=-ra*wa*b9+(a3/a2)**2*b3
bx=-(wa*ra*a1*a2+ax/a2)
dx=ra*a2*(b6*(wa*ra*a1+ax*(pois+1./a2**2))+ro)
fx=b6*(wa*ra*a1-(pois+1./a2)*ax1+2.*a1/a2**2*ax
1   a1/a2*(1.+pois)*(wa*ra*a1+ax*(1.+1./a2**2)))
va(1)=ax+a5*(ab1*(te2-cf2)*b5+ab2*(te3+cf3)*tx)
va(2)=bx+e*ta*b8/ra*(b5*ab1*te2+tx*ab2*te3)
va(3)=a2**2/ua*(b5*ab1*cf2-tx*ab2*cf3)
va(4)=-a2**3*(b5*ab1*(cf2-te2)+tx*ab2*(te3+cf3))
va(5)=dx-b8*a2*(b5*ab1*te2+tx*ab2*te3)
va(6)=fx+ua*b8*a2*(-ab1*b5*(te2+cf2)+ab2*(te3-cf3)*tx)
return
end

```

30 Mai 10:23 1985 mam f Page 11

```
c
subroutine vchac(e,pois,pl,t,te,rd,fi1,ra,fpo,rc,tc,wd,wa,wc,z,vc)
implicit real*8(a-h,o-z)
dimension vc(6)
c1=dsin(fpo)
c2=dcos(fi1)
c3=c1**2*rd*wd/(1.d0+c2)
c4=1./e/tc
c5=pois*wc
c6=pl*rc
c7=rc*t*te
vc(1)=-wc*z-c3-wa*ra
vc(2)=c6*z
vc(3)=0
vc(4)=0
vc(5)=-c4*rc*((c6+c5)*z+pois*(wa*ra+c3))-c7
vc(6)=c4*(c5+c6)*rc
return
end
```

30 Mai 10:23 1985 mam.f Page 12

```
c
subroutine vchad(e,pois,t,te,rd,td,fi1,wd,fi,vd)
implicit real*8(a-h,o-z)
dimension vd(6)
d1=dcos(fi)
d2=dsin(fi)
d3=dcos(fi1)
d4=dsin(fi1)
d5=1.d0/(1.d0+d1)
d6=1.d0/(1.d0+d3)
d7=1/e/td
d8=rd*wd
ro=t*te
dd=rd*d2*ro
dr=2.d0*d3*d6*d4**3
dz=rd*(d3-d1)
ud=(3.d0*(1.d0-pois**2)/(d4**4*(rd*td)**3))**.25
d9=ud*rd
te1=dexp(ud*dz)*dcos(ud*dz)
cf1=dexp(ud*dz)*dsin(ud*dz)
vd(1)=(-d5+d3**2*d6*(te1+cf1))*d8
vd(2)=(-d1+d5+2.d0*d9*d4**2*d3*d6*te1)*d8
vd(3)=-1.d0/ud*d3*d6*cf1*d8
vd(4)=-d4*d3*d6*(te1+cf1)*d8
vd(5)=d7*((d1-(1.d0+pois)*d5)*d2-d9*dr*te1)*rd*d8-dd
vd(6)=d7*((2.d0+pois)*d2+d9**2*dr*(te1-cf1))*d8
return
end
```

30 Mai 10:23 1985 mam.f Page 13

```
c
subroutine flex(dm,sc,cm,f1)
implicit real*8(a-h,o-z)
dimension f1(4,4),dm(6,2),sc(4,4),cm(6,4)
f1(1,1)=dm(5,1)-sc(1,1)
f1(1,2)=dm(5,2)-sc(1,2)
f1(1,3)=-sc(1,3)
f1(1,4)=-sc(1,4)
f1(2,1)=dm(6,1)-sc(2,1)
f1(2,2)=dm(6,2)-sc(2,2)
f1(2,3)=-sc(2,3)
f1(2,4)=-sc(2,4)
f1(3,1)=-sc(3,1)
f1(3,2)=-sc(3,2)
f1(3,3)=cm(5,1)-sc(3,3)
f1(3,4)=cm(5,2)-sc(3,4)
f1(4,1)=-sc(4,1)
f1(4,2)=-sc(4,2)
f1(4,3)=cm(6,1)-sc(4,3)
f1(4,4)=cm(6,2)-sc(4,4)
return
end

c
subroutine cfo(vd,ma,vc,fo)
implicit real*8(a-h,o-z)
dimension fo(4),vd(6),ma(4),vc(6)
fo(1)=ma(1)-vd(5)
fo(2)=ma(2)-vd(6)
fo(3)=ma(3)-vc(5)
fo(4)=ma(4)-vc(6)
return
end
```

```

c
subroutine matai(e,pois,rai,ta1,fso,fs1,fso2,fs,ami)
implicit real*8(a-h,o-z)
dimension ami(6,4)
f1=dcos(fs)
f2=dsin(fs)
f3=dcos(fs1)
f4=dsin(fs1)
f5=1.d0/(1.d0+f1)
f8=dcos(fso)
cfa1=e*ta1**3/(12*(1.-pois**2))
zo=rai*(f8-f1)
ua1=(3.d0*(1.d0-poис**2)/f4**4/(rai*ta1)**3)**.25
g6=1./ (2.*cfa1*ua1**3*f4**2)
z1=zo
te6=dexp(+ua1*zo)*dcos(-ua1*zo)
cf6=dexp(+ua1*zo)*dsin(-ua1*zo)
te7=dexp(ua1*z1)*dcos(-ua1*z1)
cf7=dexp(ua1*z1)*dsin(-ua1*z1)
g7=f1*f2**2
g8=e*ta1/rai
g9=1.d0/(2.d0*cfa1*ua1**3)
h1=1.d0/(ua1*f4**2)
h2=dcos(fso2)
ami(1,1)=g7*(te6-cf6)
ami(1,2)=-2.d0*g7*ua1*cf6
ami(1,3)=g7/f4**2*(te7+cf7)/h2
ami(1,4)=2.d0*g7*ua1*cf7/f4**2
ami(2,1)=g8*g9*te6
ami(2,2)=g8*g9*ua1*(te6-cf6)
ami(2,3)=g8*g6*te7/h2
ami(2,4)=g8*g6*ua1*(te7+cf7)
ami(3,1)=f2**2/ua1*cf6
ami(3,2)=f2**2*(te6+cf6)
ami(3,3)=-f2**2*h1*cf7/h2
ami(3,4)=f2**2*(te7-cf7)/f4**2
ami(4,1)=(te6-cf6)*f2**3
ami(4,2)=-2.d0*ua1*cf6*f2**3
ami(4,3)=-f2**3*(te7+cf7)/f4**2/h2
ami(4,4)=-2.d0*ua1*cf7*f2**3/f4**2
ami(5,1)=-f2*g9*te6
ami(5,2)=-f2*ua1*g9*(te6-cf6)
ami(5,3)=-f2*g6*te7/h2
ami(5,4)=-f2*g6*ua1*(te7+cf7)
ami(6,1)=-f2*g9*ua1*(te6+cf6)
ami(6,2)=-f2*te6/(cfa1*ua1)
ami(6,3)=f2*g6*ua1*(te7-cf7)/h2
ami(6,4)=2.d0*ua1**2*g6*te7
return
end

```

```

c
subroutine vchaai(e,pois,p1,t,te,rd,fi1,ra,fpo,fpl,rai,
1                               t1,fso,fs1,fs02,wd,wa,wc,fs,vai)
implicit real*8(a-h,o-z)
dimension vai(6)
a1=dcos(fso)
a2=dsin(fso)
a3=dcos(fs)
a4=dsin(fs)
a5=dcos(fs1)
a6=dsin(fs1)
a7=dcos(fi1)
a8=dsin(fi1)
a9=dcos(fpo)
ax1=dsin(fpo)
ax2=a8*rd*wd/(1.+a7)
ax3=dcos(fpl)
ax4=dsin(fpl)
ax5=(ax1/(1.+a9)-ax4/(1.+ax3))*wa*ra
ax6=1./rai/a4
b1=1./(1.+a3)
b2=1./e/ta1
cfa1=e*ta1**3/(12.*((1.-pois)**2))
ua1=(3.*((1.-pois)**2)/a6**4/(rai*ta1)**3)**.25
z=rai*(a1-a3)
az=ua1*rai*(a1-a3)
dz=az
ca1=a2*(ax2+ax5+wc*hc)
ca2=(a3+a4)*p1*rai*(hc+z)*ax6+p1*rai*(a4-a3)
ca3=(1.+pois)*(((a4-a3)*(hc+z)*p1*rai+2.*a3/a4**3*ca1)*ax6
1'                               -(a3+a4)*p1*rai)
a=-(a3+a4)*(hc+z)*p1*rai-ca1/a4**2
b=-a5*(-(a5+a6)*((a1-a5)*rai+hc)*p1*rai-ca1/a6**2)
c=rai*p1*(hc+z)*(a4-a3)-a
d=-rai*a4*(b1*((a4-a3)*(hc+z)*p1*rai-(1.+pois)*a)+t*te)
f=b1*(rai*a4*(ca2-ca3)+a3/a4*(1.+pois)*((a4-a3)*p1*rai*(hc+z)
1'                               -2.*a))
te6=dexp(-az)*dcos(-az)
cf6=dexp(-az)*dsin(-az)
te7=dexp(dz)*dcos(-dz)
cf7=dexp(dz)*dsin(-dz)
b3=1./(2.*cfa1*ua1**3*a6**2)
b4=dcos(fs02)
vai(1)=a-b*a3*a4**2/a6**2*(te7+cf7)/b4
vai(2)=c-e*ta1/rai*b*b3*te7/b4
vai(3)=b/ua1*(a4/a6)**2*cf7/b4
vai(4)=b*a4**3/a6**2*(te7+cf7)/b4
vai(5)=d+b*a4*b3*te7/b4
vai(6)=f-a4*b*b3*(te7-cf7)*ua1/b4
return
end

```

```
c
      subroutine resol(nsym,neq,vkg,vfg)
c-----
c      resolution d'un systeme d'equations non symetrique
c      par la methode de gauss.
c
c      entrees:- nsym   .eq.1 systeme non symetrique
c              - neq    nombre d'equations (.ge.2)
c              - vkg    matrice k stockee dans une
c                      table a deux dimensions
c              -vfg    second membre
c      sortie:- vfg    solution
c-----
      implicit real*8(a-h,o-z)
      dimension vkg(neq,neq),vfg(neq)
c-----triangulation-----
      data zero/0.d0/
      n1=neq-1
      do 50 is=1,n1
      piv=vkg(is,is)
      if (piv) 20,10,20
10   print 2000,is
      stop
20   is1=is+1
      do 50 ii=is1,neq
      cl=vkg(ii,is)/piv
      if (cl.eq.zero) go to 50
      vfg(ii)=vfg(ii)-cl*vfg(is)
      if (nsym.ne.1) go to 32
      do 30 ij=is1,neq
30   vkg(ii,ij)=vkg(ii,ij)-cl*vkg(is,ij)
      go to 50
32   do 40 ij=ii,neq
      vkg(ii,ij)=vkg(ii,ij)-cl*vkg(is,ij)
40   vkg(ij,ii)=vkg(ii,ij)
50   continue
c-----resolution du systeme triangulaire-----
      vfg(neq)=vfg(neq)/vkg(neq,neq)
      do 70 i1=1,n1
      is1=is1-1
      cl=zero
      ij1=is1+1
      do 60 ij=ij1,neq
60   cl=cl+vkg(is1,ij)*vfg(ij)
70   vfg(is1)=(vfg(is1)-cl)/vkg(is1,is1)
2000 format(' PIVOT NUL,EQUATION',i5)
      return
      end
```

```

c
subroutine matdi(e,pois,rd1,td1,f1o,f1o2,ft,dmi)
implicit real*8(a-h,o-z)
dimension dmi(6,2)
d1=dcos(f1o)
d2=dsin(f1o)
cf1=e*td1**3/(1.*(1.-pois**2))
ud1=(3.*(1.-pois**2)/d2**4/(rd1*td1)**3)** 25
d3=e*td1/(2.*cf1*ud1**3*d2**2)
d4=dcos(ft)
d5=dcos(f1o2)
ad=ud1*rd1*(d4-d1)
te8=dexp(ad)*dcos(ad)
cf8=dexp(ad)*dsin(ad)
dmi(1,1)=d1*(te8+cf8)/d5
dmi(1,2)=2.*d1*ud1*cf8
dmi(2,1)=d3/rd1*te8/d5
dmi(2,2)=d3/rd1*ud1*(te8+cf8)
dmi(3,1)=-cf8/ud1/d5
dmi(3,2)=te8-cf8
dmi(4,1)=-d2*(te8+cf8)/d5
dmi(4,2)=-2.*ud1*d2*cf8
dmi(5,1)=-d3*d2*te8/d5
dmi(5,2)=-d3*d2*ud1*(te8+cf8)
dmi(6,1)=d3*ud1*d2*(te8-cf8)/d5
dmi(6,2)=2.*ud1**2*d2*d3*te8
return
end

```

```

c
subroutine vchadi(e,pois,t,te,rd,fil,ra,fpo,hc,ra1,fso,fs1,rd1,
1                           tdi,f1o,f1o2,wd,wa,wc,wa1,wd1,ft,vdi)
implicit real*8(a-h,o-z)
dimension vdi(6)
f1=dcos(f1o)
f2=dsin(f1o)
f3=dcos(ft)
f4=dsin(ft)
f5=dcos(fs1)
f6=dsin(fs1)
f7=dcos(fil)
f8=dsin(fpo)
f9=1./e/td1
q1=dsin(fso)
cf1=e*td1**3/(1.*(1.-pois**2))
ud1=(3.*(1.-pois**2)/(f2**4*(rd1*td1)**3))**.25
ad=-ud1*rd1*(f1-f3)
ca1=q1**2*(wc*hc+wa*ra+f8**2*rd*wd/(1.+f7))
a=-rd1*wd1/(1.+f3)-(f2/f4)**2*(ra1*wa1/(1.+f5)+ca1/f6**2)
da1=f2**2*(ra1*wa1/(1.+f5)+ca1/f6**2)
da2=-f4*rd1*wd1/(1.+f3)**2+2.*f3*da1/f4**3
da4=-wd1*rd1*f4-(pois+1./f4**2)*da2+2*f3*a
b=wd1*rd1*f3-a/f4**2
d=-rd1*f4*(f9*(wd1*rd1*f3-(pois+1./f4**2)*a)+t*te)
f=f9*(da4+f3/f4*(1.+pois)*(wd1*rd1*f3-(1.+1./f4**2)*a))
te8=dexp(ad)*dcos(ad)
cf8=dexp(ad)*dsin(ad)
g1=e*td1/(2.*cf1*ud1**3*f2**2)
g2=dcos(f1o2)
vdi(1)=a*(1.-f1**2/g2*(te8+cf8))
vdi(2)=b-g1/rd1*a*f1*te8/g2
vdi(3)=a*f1*cf8/ud1/g2
vdi(4)=a*f1*f2*(te8+cf8)/g2
vdi(5)=d+g1*f2*a*f1*te8/g2
vdi(6)=f-g1*ud1*f2*a*f1*(te8-cf8)/g2
return
end

```

```
c
subroutine bac(cm,cs,amr)
implicit real*8(a-h,o-z)
dimension amr(4,4),cm(6,4),cs(4,4)
amr(1,1)=cs(1,1)-cm(5,3)
amr(1,2)=cs(1,2)-cm(5,4)
amr(1,3)=cs(1,3)
amr(1,4)=cs(1,4)
amr(2,1)=cs(2,1)-cm(6,3)
amr(2,2)=cs(2,2)-cm(6,4)
amr(2,3)=cs(2,3)
amr(2,4)=cs(2,4)
do 10 i=3,4
do 10 j=1,4
10 amr(i,j)=cs(i,j)
return
end

c
subroutine cro(vc,sa,ro)
implicit real*8(a-h,o-z)
dimension ro(4),vc(6),sa(4)
ro(1)=vc(5)-sa(1)
ro(2)=vc(6)-sa(2)
ro(3)=-sa(3)
ro(4)=-sa(4)
return
end
```

```

c
subroutine mata(e,pois,ra,ta,fpo,fp1,fpo2,fp,am)
implicit real*8(a-h,o-z)
dimension am(6,4)
a1=dcos(fp)
a2=dsin(fp)
a3=dsin(fpo)
a4=dsin(fp1)
a5=a1*a2**2
a6=dcos(fpo)
a7=dcos(fp1)
a8=dcos(fpo2)
cfa=e*ta**3/(12.d0*(1.d0-pois**2))
ua=(3.d0*(1.d0-pois**2)/((a4**4)*(ra*ta)**3))** 25
az0=ra*(a6-a1)
az1=-ra*(a1-a7)
te2=dexp(-ua*az0)*dcos(ua*az0)
cf2=dexp(-ua*az0)*dsin(ua*az0)
te3=dexp(ua*az1)*dcos(ua*az1)
cf3=dexp(ua*az1)*dsin(ua*az1)
am(1,1)=-a5*(te2-cf2)/(a3**2*a8)
am(1,2)=-2.d0*a5*ua*cf2/a3**2
am(1,3)=-a5*(te3+cf3)/a4**2
am(1,4)=2.d0*a5*ua*cf3/a4**2
am(2,1)=-e*ta*te2/(2.d0*cfa*ra*ua**3*a3**2*a8)
am(2,2)=e*ta*(te2-cf2)/(2.d0*cfa*ra*(ua*a3)**2)
am(2,3)=-e*ta*te3/(2.d0*cfa*ra*ua**3*a4**2)
am(2,4)=e*ta*(te3+cf3)/(2.d0*cfa*ra*(ua*a4)**2)
am(3,1)=-a2**2*cf2/(ua*a3**2*a8)
am(3,2)=a2**2*(te2+cf2)/a3**2
am(3,3)=a2**2*cf3/(ua*a4**2)
am(3,4)=(a2/a4)**2*(te3-cf3)
am(4,1)=a2**3*(cf2-te2)/(a8*a3**2)
am(4,2)=-2.d0*a2**3*ua*cf2/a3**2
am(4,3)=a2**3*(te3+cf3)/a4**2
am(4,4)=-2.d0*a2**3*ua*cf3/a4**2
am(5,1)=a2*te2/(2.d0*cfa*ua**3*a3**2*a8)
am(5,2)=-a2*(te2-cf2)/(2.d0*cfa*(ua*a3)**2)
am(5,3)=a2*te3/(2.d0*cfa*ua**3*a4**2)
am(5,4)=-a2*(te3+cf3)/(2.d0*cfa*(ua*a4)**2)
am(6,1)=a2*(te2+cf2)/(2.d0*cfa*(ua*a3)**2*a8)
am(6,2)=-a2*te2/(cfa*ua*a3**2)
am(6,3)=-a2*(te3-cf3)/(2.d0*cfa*(ua*a4)**2)
am(6,4)=a2*te3/(cfa*ua*a4**2)
return
end

```

```
c
subroutine matc(e,pois,rc,tc,hc,z,cm)
implicit real*8(a-h,o-z)
dimension cm(6,4)
cfc=e*tc**3/(12.d0*(1.d0-pois**2))
uc=(3.d0*(1.d0-pois**2)/(rc*tc)**3)**.25
te4=dexp(-uc*z)*dcos(uc*z)
cf4=dexp(-uc*z)*dsin(uc*z)
te5=dexp(uc*(z-hc))*dcos(uc*(z-hc))
cf5=dexp(uc*(z-hc))*dsin(uc*(z-hc))
c1=uc*rc
c2=2.d0/e/tc
do 10 i=1
do 10 j=1,4
10 cm(i,j)=0.d0
cm(2,1)=2.d0*c1*te4
cm(2,2)=2.d0*uc*c1*(te4-cf4)
cm(2,3)=-2.d0*c1*te5
cm(2,4)=2.d0*uc*c1*(te5+cf5)
cm(3,1)=cf4/uc
cm(3,2)=te4+cf4
cm(3,3)=cf5/uc
cm(3,4)=te5-cf5
cm(4,1)=te4-cf4
cm(4,2)=-2.d0*uc*cf4
cm(4,3)=te5+cf5
cm(4,4)=-2.d0*uc*cf5
cm(5,1)=-c1*rc*c2*te4
cm(5,2)=-c1**2*c2*(te4-cf4)
cm(5,3)=c1*rc*c2*te5
cm(5,4)=-c1**2*c2*(te5+cf5)
cm(6,1)=-c1**2*c2*(te4+cf4)
cm(6,2)=-2.d0*uc*c1**2*c2*te4
cm(6,3)=-c1**2*c2*(te5-cf5)
cm(6,4)=2.d0*uc*c1**2*c2*te5
return
end
```

```
c
subroutine matd(e,pois,rd,td,fi1,fi,dm)
implicit real*8(a-h,o-z)
dimension dm(6,2)
d1=dcos(fi)
d2=dcos(fi1)
d3=dsin(fi1)
dz=-rd*(d1-d2)
ud=(3.d0*(1.d0-pois**2)/(d3**4*(rd*td)**3))**0.25
te1=dexp(ud*dz)*dcos(ud*dz)
cf1=dexp(ud*dz)*dsin(ud*dz)
dm(1,1)=-d2*(te1+cf1)
dm(1,2)=2.d0*ud*d2*cf1
dm(2,1)=-2.d0*ud*rd*d3**2*te1
dm(2,2)=2.d0*((ud**2)*rd*d3**2)*(te1+cf1)
dm(3,1)=cf1/ud
dm(3,2)=te1-cf1
dm(4,1)=d3*(te1+cf1)
dm(4,2)=-2.d0*ud*d3*cf1
dm(5,1)=(2.d0*ud*rd**2*d3**3*te1)/(e*td)
dm(5,2)=(-2.d0*(ud*rd)**2*d3**3/(e*td))*(te1+cf1)
dm(6,1)=(-2.d0*(ud*rd)**2*d3**3/(e*td))*(te1-cf1)
dm(6,2)=(4.d0*(ud*d3)**3*rd**2/(e*td))*te1
return
end
```

30 Mai 10:31 1985 résultats Page 1

module d'elasticite-----=20000000.000
coefficient de poisson-----=.150
poids spécifique du mortier-----= 24.000
poids spécifique de l'eau-----= 10.000
variation de la température-----= 20.000
coefficient de dilation thermique= 0.120d-04
nombre de cas de chargement-----= 3

valeurs retenues pour le dome superieur

rayon----- 7.738
epaisseur----- .010
angle d'inclinaison maximal--- 30.00

valeurs retenues pour l'anneau

rayon----- 4.005
epaisseur----- .015
angle d'inclinaison minimal----- 1.31
angle d'inclinaison maximal----- 1.57

valeurs retenues pour le cylindre

rayon----- 4.000
epaisseur----- .025
hauteur----- 4.000

valeurs retenues pour la calotte sph. inf.

rayon----- 4.005
epaisseur----- .030
angle d'inclinaison minimal----- 1.57
angle d'inclinaison maximal----- 1.83

30 Mai 10:31 1985 résultats Page 2

valeurs retenues pour le dome inferieur

rayon-----	7.738
epaisseur-----	.040
angle d'inclinaison minimal-----	2.62

30 Mai 10:31 1985 resultats Page 3

cas de chargement no. 1 pi= 10.000 wl= 1.000

efforts exteriorises

H1=	0.4956d+01	H2=	-0.2291d+01	H3=	0.8049d+01	H4=	0.2057d+02
M1=	0.8662d-02	M2=	0.9756d-01	M3=	0.5779d+00	M4=	0.3197d+01

contraintes dans le dome superieur

FI	NZ	NT	MZ	OZ	DR	WZ
0	0.1285d-01	0.1285d-01	0.9501d-09	0.2920d-07	0.5534d-10	-0.5835d-09
3.0	0.1286d-01	0.1281d-01	0.1655d-08	0.3743d-07	-0.9722d-04	-0.1484d-07
6.0	0.1289d-01	0.1268d-01	0.4868d-08	0.6315d-07	-0.1942d-03	-0.2776d-07
9.0	0.1293d-01	0.1247d-01	0.1194d-07	0.4597d-07	-0.2906d-03	-0.3528d-07
12.0	0.1300d-01	0.1221d-01	-0.1333d-07	-0.5603d-06	-0.3862d-03	-0.4210d-07
15.0	0.1308d-01	0.1163d-01	-0.2573d-06	-0.1380d-05	-0.4808d-03	-0.1244d-06
18.0	0.1313d-01	0.9543d-02	0.1636d-05	0.2713d-04	-0.5740d-03	0.1248d-07
21.0	0.1371d-01	0.4008d-01	-0.3162d-05	-0.2410d-03	-0.6662d-03	0.8696d-05
24.0	0.9132d-02	-0.4468d+00	-0.9249d-04	0.2485d-02	-0.7466d-03	-0.1971d-03
27.0	0.1053d+00	0.1018d+02	0.2328d-02	-0.5294d-01	-0.1040d-02	0.4500d-02
30.0	-0.4289d+01	-0.3322d+03	0.8662d-02	0.2484d+01	0.5498d-02	-0.1110d+00

contraintes dans l'anneau

FP	NZ	NT	MZ	OZ	DR	WZ
75.0	0.1463d+01	0.3232d+02	0.8658d-02	0.5522d+01	0.5117d-03	-0.4565d-02
76.7	-0.2598d+00	0.3191d+01	0.1528d+00	-0.1039d+01	0.8939d-03	-0.1711d-02
78.4	-0.1616d+00	-0.2168d+01	0.3050d-01	-0.7158d+00	0.9697d-03	0.5637d-04
80.0	-0.2276d-01	-0.6861d+00	-0.7229d-02	-0.4853d-01	0.9556d-03	0.1614d-03
81.7	-0.5089d-02	0.9820d-01	-0.3899d-02	0.4830d-01	0.9498d-03	0.3203d-04
83.3	-0.7995d-02	0.1502d+00	-0.1907d-02	-0.1764d-01	0.9527d-03	-0.1320d-04
85.0	-0.1213d-01	-0.2346d+00	-0.5675d-02	-0.1737d-01	0.9606d-03	-0.8894d-04
86.7	-0.3434d-01	-0.1393d+01	0.8598d-02	0.3591d+00	0.9781d-03	-0.1326d-03
88.3	-0.4193d-01	0.7202d-01	0.9261d-01	0.9867d+00	0.9598d-03	0.7555d-03
90.0	-0.1327d-01	0.1736d+02	0.9755d-01	-0.2291d+01	0.7294d-03	0.3283d-02

contraintes dans le cylindre

Z	NZ	NT	MZ	OZ	DR	WZ
0	0.1246d-01	-0.9259d+02	0.9756d-01	-0.2291d+01	-0.2193d-03	-0.4609d-02
.4	0.2631d+04	0.2034d+02	-0.7254d-02	0.1272d+00	0.2034d-02	-0.7642d-02
.8	0.5261d+04	0.3181d+02	0.4786d-03	-0.6780d-02	0.5099d-02	-0.7573d-02
1.2	0.7892d+04	0.4801d+02	-0.2931d-04	0.3474d-03	0.8126d-02	-0.7571d-02
1.6	0.1052d+05	0.6400d+02	0.1714d-05	-0.1702d-04	0.1115d-01	-0.7572d-02
2.0	0.1315d+05	0.8000d+02	-0.3978d-06	-0.8365d-06	0.1418d-01	-0.7572d-02
2.4	0.1578d+05	0.9600d+02	0.5959d-05	0.4100d-04	0.1721d-01	-0.7572d-02
2.8	0.1841d+05	0.1120d+03	-0.1122d-03	-0.9377d-03	0.2024d-01	-0.7574d-02

30 Mai 10:31 1985 résultats Page 4

3.2	0.2104d+05	0.1277d+03	0.2032d-02	0.2012d-01	0.2327d-01	-0.7538d-02
3.6	0.2368d+05	0.1529d+03	-0.3520d-01	-0.4110d+00	0.2623d-01	-0.7943d-02
4.0	0.2631d+05	-0.6350d+02	0.5779d+00	0.8049d+01	0.3112d-01	-0.5991d-02

contraintes dans la calotte sph.inf.

FS	NZ	NT	MZ	OZ	DR	WZ
90.0	0.1812d-08	-0.1048d-07	-0.4321d-09	-0.3487d-08	0.4074d-13	-0.1906d-11
91.7	0.2318d-10	-0.1304d-07	-0.9301d-10	0.2194d-09	0.4370d-13	-0.5141d-12
93.3	0.9876d+11	-0.1243d+14	0.4498d+10	-0.6325d+11	-0.1474d+08	0.1647d+10
95.0	-0.4490d-04	-0.1723d-02	-0.2233d-04	-0.4937d-03	-0.1047d-07	0.5653d-07
96.7	0.9746d+11	-0.1270d+14	0.4242d+10	-0.6209d+11	-0.1494d+08	0.1639d+10
98.3	0.3935d+07	-0.2833d+08	0.5995d+06	0.2249d+08	0.1630d+03	-0.2730d+03
100.0	0.2003d+11	-0.2894d+14	-0.1675d+10	0.6677d+10	0.1496d+08	0.5872d+09
101.6	0.5894d-10	-0.1416d-07	-0.1090d-09	0.1884d-09	0.4795d-13	-0.5986d-12
103.3	0.1786d+01	-0.2264d+03	-0.2565d-01	0.1540d+03	0.1509d-02	-0.7897d-02
105.0	-0.1428d-10	0.8776d-09	0.4657d-11	0.9616d-11	-0.1857d-14	0.9341d-13

30 Mai 10:31 1985 resultats Page 5

cas de chargement no. 2 pl= 10.000 wi= .000

efforts exteriorises

H1=	0.1886d+01	H2=	-0.2269d+01	H3=	0.8015d+01	H4=	0.2049d+02
M1=	0.2619d-01	M2=	0.9667d-01	M3=	0.5754d+00	M4=	0.3184d+01

contraintes dans le dome superieur

EI	NZ	NT	MZ	OZ	DR	WZ
.0	0.3763d-02	0.3762d-02	0.4866d-09	0.9780d-08	0.1452d-10	-0.5234d-10
3.0	0.3765d-02	0.3749d-02	0.7160d-09	0.1185d-07	-0.9720d-04	-0.4190d-08
6.0	0.3773d-02	0.3711d-02	0.1645d-08	0.1676d-07	-0.1941d-03	-0.7856d-08
9.0	0.3786d-02	0.3650d-02	0.2967d-08	-0.9041d-09	-0.2905d-03	-0.1009d-07
12.0	0.3805d-02	0.3573d-02	-0.8304d-08	-0.1953d-06	-0.3861d-03	-0.1457d-07
15.0	0.3828d-02	0.3376d-02	-0.6776d-07	-0.1308d-06	-0.4807d-03	-0.7228d-07
18.0	0.3843d-02	0.2960d-02	0.6109d-06	0.7911d-05	-0.5739d-03	0.1173d-06
21.0	0.4044d-02	0.1155d-01	-0.3031d-05	-0.8804d-04	-0.6657d-03	0.1589d-05
24.0	0.2022d-02	-0.1433d+00	0.4883d-05	0.1103d-02	-0.7526d-03	-0.4842d-04
27.0	0.4564d-01	0.3288d+01	-0.2859d-04	-0.2405d-01	-0.9067d-03	0.1121d-01
30.0	-0.1632d+01	-0.9815d+02	0.2619d-01	0.9446d+00	0.9701d-03	-0.2274d-01

contraintes dans l'anneau

EP	NZ	NT	MZ	OZ	DR	WZ
75.0	0.5581d+00	0.1367d+02	0.2619d-01	0.2101d+01	0.7522d-03	-0.2119d-02
76.7	-0.1297d+00	0.9725d+00	0.6699d-01	-0.5311d+00	0.9227d-03	-0.6906d-03
78.4	-0.6609d-01	-0.9965d+00	0.1137d-01	-0.2999d+00	0.9544d-03	0.4709d-04
80.0	-0.6465d-02	-0.2743d+00	-0.3471d-01	-0.1089d-01	0.9502d-03	0.7089d-04
81.7	0.2413d-03	0.6867d-01	-0.1521d-02	0.1930d-01	0.9502d-03	0.1537d-04
83.3	0.4722d-03	0.1011d+00	-0.1762d-02	-0.2606d-01	0.9534d-03	-0.8630d-05
85.0	-0.2591d-02	-0.2472d+00	-0.5795d-02	-0.1639d-01	0.9608d-03	-0.8593d-04
86.7	-0.2465d-01	-0.1387d+01	0.8473d-02	0.3566d+00	0.9781d-03	-0.1314d-03
88.3	-0.3223d-01	0.6239d-01	0.9174d-01	0.9776d+00	0.9600d-03	0.7482d-03
90.0	-0.3836d-02	0.1719d+02	0.9666d-01	-0.2269d+01	0.7317d-03	0.3253d-02

contraintes dans le cylindre

Z	NZ	NT	MZ	OZ	DR	WZ
.0	0.3699d-02	-0.9168d+02	0.9667d-01	-0.2269d+01	-0.2265d-03	-0.5727d-02
.4	0.2993d+04	0.2030d+02	-0.7186d-02	0.1259d+00	0.2469d-02	-0.8728d-02
.8	0.5986d+04	0.3181d+02	0.4741d-03	-0.6714d-02	0.5968d-02	-0.8659d-02
1.2	0.8978d+04	0.4801d+02	-0.2903d-04	0.3440d-03	0.9430d-02	-0.8658d-02
1.6	0.1197d+05	0.6400d+02	0.1698d-05	-0.1685d-04	0.1289d-01	-0.8659d-02
2.0	0.1496d+05	0.8000d+02	-0.3956d-06	-0.8377d-06	0.1636d-01	-0.8658d-02
2.4	0.1796d+05	0.9600d+02	0.5934d-05	0.4082d-04	0.1982d-01	-0.8658d-02
2.8	0.2095d+05	0.1120d+03	-0.1117d-03	-0.9338d-03	0.2328d-01	-0.8661d-02

30 Mai 10:31 1985 résultats Page 6

3.2	0.2394d+05	0.1277d+03	0.2023d-02	0.2003d-01	0.2675d-01	-0.8625d-02
3.6	0.2694d+05	0.1529d+03	-0.3505d-01	-0.4093d+00	0.3014d-01	-0.9028d-02
4.0	0.2993d+05	-0.6257d+02	0.5754d+00	0.8015d+01	0.3545d-01	-0.7086d-02

contraintes dans la calotte sph.inf.

FS	NZ	NT	MZ	QZ	DR	WZ
90.0	0.8653d+03	0.3840d+05	0.1570d+04	-0.5482d+04	0.2498d+00	0.6881d+01
91.7	0.5822d+09	0.1119d+11	0.2780d+09	-0.1097d+10	0.5311d+05	0.2240d+07
93.3	0.5699d-13	0.5051d-09	0.3496d-12	-0.3637d-12	-0.5457d-15	0.1968d-13
95.0	0.2705d-08	0.1400d-07	-0.3730d-09	-0.6472d-08	-0.5629d-13	-0.1557d-11
96.7	-0.3738d-10	0.3772d-09	0.7451d-11	-0.4060d-10	0.9293d-15	0.2570d-12
98.3	-0.1017d+06	0.9270d+07	0.1698d+06	0.1720d+07	0.5605d+02	0.1646d+03
100.0	0.1807d+03	0.2927d+05	0.8917d+03	0.1782d+04	0.1912d+00	0.2677d+01
101.6	-0.9805d-01	0.6791d+02	0.2642d+01	-0.5000d+01	0.4532d-03	0.1008d-01
103.3	-0.1155d+03	0.1503d+04	-0.7704d+02	-0.2479d+04	-0.9921d-02	0.5821d-01
105.0	0.1510d-12	0.4349d-09	0.1749d-12	0.2066d-12	0.3763d-15	0.1333d-13

30 Mai 10:31 1985 resultats Page 7

cas de chargement no. 3 pl= .000 wl= 1.000

efforts exteriorises

H1=	0.4956d+01	H2=	-0.2261d+01	H3=	0.3513d+01	H4=	0.9027d+01
M1=	0.8662d-02	M2=	0.9157d-01	M3=	0.2551d+00	M4=	0.1404d+01

contraintes dans le dome superieur

FI	NZ	NT	MZ	QZ	DR	WZ
0	0.5314d-05	0.2511d-05	0.9479d-09	0.2913d-07	0.5520d-10	-0.5820d-09
3.0	0.5303d-05	0.2225d-05	0.1651d-08	0.3734d-07	-0.9719d-04	-0.3814d-09
6.0	0.5170d-05	0.2575d-05	0.4856d-08	0.6299d-07	-0.1941d-03	0.1114d-08
9.0	0.5318d-05	0.1353d-04	0.1191d-07	0.4584d-07	-0.2905d-03	0.7919d-08
12.0	0.6391d-05	0.6585d-04	-0.1330d-07	-0.5589d-06	-0.3861d-03	0.1530d-07
15.0	0.7841d-05	-0.1211d-03	-0.2566d-06	-0.1376d-05	-0.4807d-03	-0.1525d-06
18.0	-0.4137d-04	-0.1721d-02	0.1632d-05	0.2706d-04	-0.5738d-03	0.9771d-07
21.0	0.4220d-03	0.2931d-01	-0.3156d-05	-0.2405d-03	-0.6661d-03	0.8772d-05
24.0	-0.4288d-02	-0.4557d+00	-0.9223d-04	0.2479d-02	-0.7465d-03	-0.1965d-03
27.0	0.9148d-01	0.1015d+02	0.2322d-02	-0.5281d-01	-0.1039d-02	0.4489d-02
30.0	-0.4292d+01	-0.3314d+03	0.8662d-02	0.2478d+01	0.5482d-02	-0.1107d+00

contraintes dans l'anneau

FP	NZ	NT	MZ	QZ	DR	WZ
75.0	0.1478d+01	0.3233d+02	0.8658d-02	0.5526d+01	0.5116d-03	-0.4568d-02
76.7	-0.2461d+00	0.3179d+01	0.1529d+00	-0.1040d+01	0.8941d-03	-0.1712d-02
78.4	-0.1480d+00	-0.2184d+01	0.3052d-01	-0.7163d+00	0.9700d-03	0.5639d-04
80.0	-0.9158d-02	-0.7002d+00	-0.7240d-02	-0.4864d-01	0.9558d-03	0.1615d-03
81.7	0.8388d-02	0.8370d-01	-0.3913d-02	0.4841d-01	0.9500d-03	0.3180d-04
83.3	0.5273d-02	0.1337d+00	-0.1863d-02	-0.1657d-01	0.9529d-03	-0.1330d-04
85.0	0.1060d-02	-0.2431d+00	-0.5444d-02	-0.1582d-01	0.9608d-03	-0.8640d-04
86.7	-0.2050d-01	-0.1358d+01	0.8567d-02	0.3495d+00	0.9777d-03	-0.1259d-03
88.3	-0.2750d-01	0.1060d+00	0.8970d-01	0.9462d+00	0.9594d-03	0.7389d-03
90.0	-0.1059d-04	0.1686d+02	0.9156d-01	-0.2260d+01	0.7362d-03	0.3164d-02

contraintes dans le cylindre

Z	NZ	NT	MZ	QZ	DR	WZ
0	0.8442d-05	-0.9341d+02	0.9157d-01	-0.2261d+01	-0.2127d-03	0.3165d-02
.4	-0.3119d+00	0.4413d+01	-0.6964d-02	0.1262d+00	-0.9957d-03	-0.8126d-04
.8	-0.6239d+00	-0.1967d+00	0.4653d-03	-0.6765d-02	-0.9592d-03	0.6471d-06
1.2	-0.9358d+00	-0.8069d-02	-0.2874d-04	0.3485d-03	-0.9612d-03	0.1194d-05
1.6	-0.1248d+01	-0.2863d-03	0.1684d-05	-0.1721d-04	-0.9615d-03	0.9102d-06
2.0	-0.1560d+01	-0.8733d-05	-0.2257d-06	0.1130d-06	-0.9619d-03	0.9335d-06
2.4	-0.1872d+01	0.8511d-04	0.2603d-05	0.1764d-04	-0.9622d-03	0.1007d-05
2.8	-0.2184d+01	0.2621d-02	-0.4909d-04	-0.4057d-03	-0.9626d-03	-0.1618d-06

30 Mai 10:31 1985 résultats Page 8

3.2	-0.2496d+01	-0.1282d+00	0.8910d-03	0.8734d-02	-0.9620d-03	0.1611d-04
3.6	-0.2807d+01	0.3828d+01	-0.1548d-01	-0.1789d+00	-0.9940d-03	-0.1685d-03
4.0	-0.3119d+01	-0.9629d+02	0.2551d+00	0.3513d+01	-0.1934d-03	0.8375d-03

contraintes dans la calotte sph.inf.

FS	NZ	NT	MZ	OZ	DR	WZ
90.0	-0.2116d-10	-0.1178d-10	0.3407d-11	-0.2592d-10	-0.3027d-16	0.1259d-12
91.7	-0.2955d-10	-0.4831d-09	0.2681d-11	-0.4412d-10	-0.1323d-14	0.1373d-12
93.3	-0.2527d-10	-0.2139d-09	0.3233d-11	-0.3414d-10	-0.5676d-15	0.1336d-12
95.0	-0.2739d-10	-0.3382d-09	0.3017d-11	-0.3886d-10	-0.9117d-15	0.1360d-12
96.7	-0.2633d-10	-0.2741d-09	0.3138d-11	-0.3645d-10	-0.7331d-15	0.1349d-12
98.3	-0.2686d-10	-0.3055d-09	0.3081d-11	-0.3764d-10	-0.8201d-15	0.1355d-12
100.0	-0.2659d-10	-0.2897d-09	0.3110d-11	-0.3704d-10	-0.7764d-15	0.1352d-12
101.6	-0.2672d-10	-0.2975d-09	0.3096d-11	-0.3734d-10	-0.7980d-15	0.1354d-12
103.3	-0.2666d-10	-0.2936d-09	0.3103d-11	-0.3719d-10	-0.7872d-15	0.1353d-12
105.0	-0.2669d-10	-0.2956d-09	0.3099d-11	-0.3727d-10	-0.7926d-15	0.1354d-12

BIBLIOGRAPHIE

1. Moment Capacity and Cracking Behavior of Ferrocement in Flexure, D. LOGAN & P. SHAH , ACI Journal n° 70-73 , Dec. 1973
2. State - Of - the Art Report , on Ferrocement , ACI Committee 549 , CONCRETE International N° ACI 549R - 82 , Avril 1982
3. New Reinforcing Materials in Concrete , P. SHAH , ACI Journal , Mai 1974 , p.257 à 262
4. M. MOUSTAPHA NDIAYE , Etude de tôle en Ferrociment , Notes E.P.M , Dec. 1982
5. EMMANUEL GHARGHOURY , Analyse des Coques Élastiques , Notes de Cours de L'E.P.M , Mai 1978
6. ANTOINE E. NAAMAN , Reinforcing Mechanisms in Ferrociment , Notes M.I.T , Sept. 1970
7. Calcul , Propriétés et utilisation du Ferrociment , L. LACHANCE - A. PICARD , Revue de L'Ingénieur , Nov - Dec . 1978
8. Ferrocement - Applications in Developing countries , AD HOC PANEL , Panel report PN-AAA-575 , Fer . 1973 .

9. A. PADUARD, Les Voiles Mince en béton armé,
Ed. Eyrolles, Eyrolles Editeur, 1969.